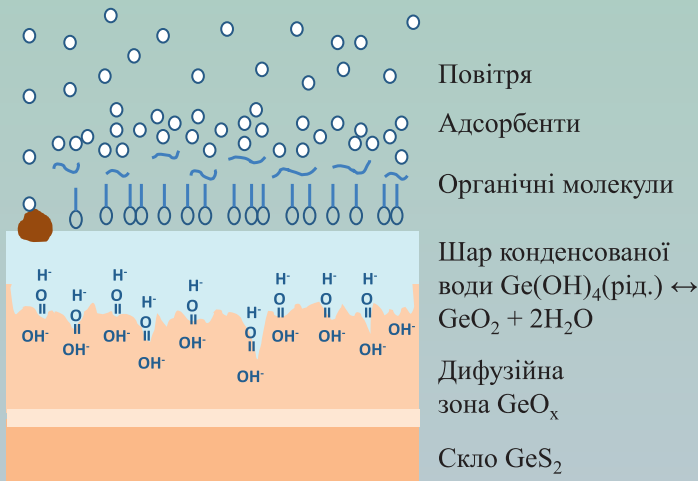


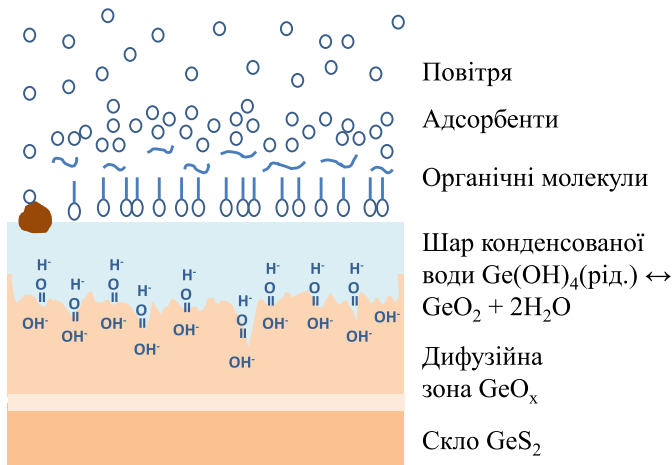
Міца В., Голомб Р., Ловас Г., Кондрат О.,  
Вереш М., Цитровський А., Химіч Л., Чік А.

## АТМОСФЕРНА КОРОЗІЯ ТЕЛЕКОМУНІКАЦІЙНИХ ОПТИЧНИХ СЕРЕДОВИЩ ДЛЯ ХАЛЬКОГЕНІДНОЇ ФОТОНІКИ



Міца В., Голомб Р., Ловас Г., Кондрат О.,  
Вереш М., Цитровський А., Химіч Л., Чік А.

## АТМОСФЕРНА КОРОЗІЯ ТЕЛЕКОМУНІКАЦІЙНИХ ОПТИЧНИХ СЕРЕДОВИЩ ДЛЯ ХАЛЬКОГЕНІДНОЇ ФОТОНІКИ



**Присвячується світлій памяті дружини Наталії.**

B.M. Міца

621.38:681.7.031]:620.193

A 92

Атмосферна корозія телекомуникаційних оптичних середовищ для  
A 92 халькогенідної фотоніки / Міца В., Голомб Р., Ловас Г., Кондрат О.,  
Вереш М., Цитровський А., Химіч Л., Чік А. — Ужгород:  
ФОП Сабов А.М., 2024 — 127 с.

**Автори:** Міца В., Голомб Р., Ловас Г., Кондрат О., Вереш М., Цитровський А.,  
Химіч Л., Чік А.

**Структура і обсяг монографії.** Оновлена і доповнена перевидана монографія складається зі вступу, 4-х розділів, загальних висновків, містить 73 рисунків, 10 таблиць та перелік цитованої літератури з 125 найменувань. Загальний обсяг монографії становить 126 сторінок.

**Власний внесок авторів** (друкованих аркушів): Міца В. (1,75), Голомб Р. (1,15), Ловас Г. (1,75), Кондрат О. (0,61), Вереш М. (0,5), Цитровський А. (0,5), Химіч Л. (0,5), Чік А. (0,5)

**Рецензенти:** доктор фізико-математичних наук, професор,

**Рубіш Василь Михайлович,**

Ужгородський науково-технologічний центр матеріалів оптичних носіїв інформації Інституту проблем реєстрації інформації НАН України,  
директор;

доктор фізико-математичних наук, професор

**Маслюк Володимир Трохимович,**

Інститут електронної фізики НАН України,  
завідуючий відділом.

**ISBN 978-617-8127-40-4**

© Міца В., Голомб Р., Ловас Г.,  
Кондрат О., Вереш М., Цитровський А.,  
Химіч Л., Чік А., 2024

## АНОТАЦІЯ

Монографія авторів Міца В., Голомб Р., Ловас Г., Кондрат О., Вереш М., Цитровський А., Химіч Л., Чік А. «Атмосферна корозія телекомуникаційних оптических середовищ для халькогенідної фотоніки»

Монографія присвячена дослідженню взаємозв'язку структури і емісійних властивостей об'ємних стекол GeS<sub>2</sub>, одержаних з різних технологічних умов. У рамках теорії наногетероморфного склоутворення теоретичними і експериментальними спектроскопічними методами в монографії приводяться дані, що підтверджують гіпотезу про формування змішаного середнього порядку в *c*-GeS<sub>2</sub> кільцевими фрагментами двовимірної шаруватої високотемпературної  $\beta$ -GeS<sub>2</sub> та тривимірної низькотемпературної  $\alpha$ -GeS<sub>2</sub> кристалічних фаз. На основі поєднання теоретичних розрахунків коливного спектра кільцевих кластерів та спектроскопічних досліджень виявлено, що загартування розплаву дисульфіду германію від  $T_2=1273$  К з  $V_2=1.5 \cdot 10^2$  К/с в порівнянні з  $T_1V_1$  ( $T_1=1193$  К,  $V_1=10^2$  К/с) та  $T_3V_2$  ( $T_3=1373$  К), призводить до зростання в структурній матриці структури *c*-GeS<sub>2</sub> ( $T_2V_2$ ) частки кластерів низькотемпературної  $\alpha$ -GeS<sub>2</sub> фази порівняно з їх вмістом в *c*-GeS<sub>2</sub> ( $T_1V_1$ ) та *c*-GeS<sub>2</sub> ( $T_3V_2$ ). При природному старінні *c*-GeS<sub>2</sub> ( $T_2V_2$ ) у спектрі фотолюмінесценції зі сколу домінує «фіолетова» емісія при 2.82 та 3.0 еВ, характерна для ФЛ розчину кварцеподібного GeO<sub>2</sub> у воді і емісії модельного гідратованого кластера. У спектрах ФЛ дисульфіду германію, одержаного при  $T_1V_1$  та  $T_3V_2$ , домінує емісія в зеленій області спектра, характерна для нанодротів GeO<sub>x</sub>. Виявлено кореляцію між умовами загартування розплаву дисульфіду германію від  $T_3V_2$ , збільшенням в структурній матриці *c*-GeS<sub>2</sub> ( $T_3V_2$ ) «дефектних» 5-членних кілець зі слабкими Ge-Ge зв'язками та зростанням інтенсивності «червоної» емісії зі сколу при старінні окисненої поверхні *c*-GeS<sub>2</sub> ( $T_3V_2$ ) при 1.60, 1.89, та 1.98 еВ характерної для емісії модельного дефекту типу -OGeX<sub>3</sub> (X=OGeH<sub>3</sub>) в субстехіометричному окису GeO<sub>x</sub>. Запропоновано модель деградації поверхні при старінні в природних умовах.

**Ключові слова:** халькогенідні стекла, модифікування, люмінесценція, рентгено-фотоелектронні спектри, деградація поверхні, Раман спектри.

## **ПЕРЕЛІК УМОВНИХ СКОРОЧЕНЬ**

НТТ — некристалічні тверді тіла;

ХСН — халькогенідні склоподібні напівпровідники;

РФС — високороздільна рентгенівська фотоелектронна спектроскопія;

ЯМР — ядерний магнітний резонанс;

КР — спектроскопія комбінаційного розсіювання світла;

XAFS — (X-Ray Absorption Fine Structure) — спектроскопія тонкої структури рентгенівського поглинання;

XANES — (X-ray Absorption Near Edge Structure) - біляпорогова тонка структура рентгенівських спектрів поглинання ;

РДФ — рентгенівська дифрактометрія;

ІЧ — інфрачервона;

ЕПР — електронний парамагнітний резонанс

## **ЗМІСТ**

ПЕРЕЛІК УМОВНИХ СКОРОЧЕНЬ.....	2
ВСТУП.....	8
<b>РОЗДІЛ 1. ОГЛЯД ЛІТЕРАТУРИ</b>	
1.1. Оксидні домішки в матриці структури халькогенідних стекол .....	<b>13</b>
1.2. Рентгенофотоелектронні та люмінесцентні спектри окиснених поверхонь об'ємного, наноструктурованого та пористого германію.....	<b>21</b>
1.2.1. Ренгено-фотоелектронні спектри та окиснення поверхні кристалічного германію та нанодротів на його основі .....	21
1.2.2. Фотолюмінесцентні спектри з поверхні наноструктурованого і пористого германію .....	25
1.3. Спектри люмінесценції нановолокон кварцеводібного q-GeO <sub>2</sub> при збудженні рентгенівським випромінюванням (XEOL) та біляпорогова тонка структура рентгенівських спектрів поглинання (XANES) .....	<b>30</b>
<b>РОЗДІЛ 2. МЕТОДИКА ЕКСПЕРИМЕНТАЛЬНИХ І ТЕОРЕТИЧНИХ ДОСЛІДЖЕНЬ</b>	
2.1. Синтез стекол та підготовка зразків для спектральних досліджень.....	<b>36</b>
2.2. Дослідження краю власного поглинання .....	<b>37</b>
2.3. Методика вимірювання мікро-Раман спектрів .....	<b>39</b>
2.4. Методика досліджень спектрів фотолюмінесценції.....	<b>40</b>
2.5. Базиси для теоретичних розрахунків коливних спектрів .....	<b>42</b>
2.6. Методика досліджень рентгенофотоелектронних спектрів .....	<b>44</b>
<b>РОЗДІЛ 3. ВЗАЄМОЗВ'ЯЗОК ОСОБЛИВОСТЕЙ РАМАН СПЕКТРІВ ТЕХНОЛОГІЧНО МОДИФІКОВАНОГО GeS<sub>2</sub> (T<sub>i</sub>V<sub>j</sub>) ПРИ ПРИРОДНОМУ</b>	

## СТАРІННІ ТА РЕЗУЛЬТАТИВ ТЕОРЕТИЧНИХ РОЗРАХУНКІВ КОЛІВНОГО СПЕКТРУ КІЛЬЦЕВИХ КЛАСТЕРІВ $Ge_nS_m$

3.1. Моделювання коливних спектрів кластерів $Ge_nS_m$ в програмі Gaussian 09.....	48
3.2. Взаємозв'язок Раман спектрів $c\text{-}GeS_2(T_iV_j)$ та результатів теоретичного розрахунку коливних спектрів кільцевих кластерів $Ge_nS_m$ .....	54

## РОЗДІЛ 4. РЕНТГЕНОФОТОЕЛЕКТРОННІ СПЕКТРИ ТА СПЕКТРИ ФОТОЛЮМІНЕСЦЕНЦІЇ ПРИ ЗМІНІ ЕНЕРГІЇ ЗБУДЖЕННЯ ПРОМИСЛОВИХ ПОРОШКІВ пп- $GeO_2$ , КРИСТАЛІВ $\beta\text{-}GeS_2$ , GeS ТА ТЕХНОЛОГІЧНО МОДИФІКОВАНОГО СКЛА $GeS_2$

4.1. Рентгенофотоелектронні спектри та спектри фотолюмінесценції в інфрачервоній, видимій та ультрафіолетовій частинах спектру промислових порошків пп- $GeO_2$ , кристалів $\beta\text{-}GeS_2$ та GeS при зміні енергії збудження....	69
4.1.1 Рентгенофотоелектронні спектри промислових порошків пп- $GeO_2$ .....	69
4.1.2 Спектри фотолюмінесценції промислових порошків пп- $GeO_2$ при різних енергіях збудження .....	71
4.2. Раман, рентгенофотоелектронні спектри та фотолюмінесценція при різних енергія збудження полікристалічного $\beta\text{-}GeS_2$ при природному старінні .....	77
4.2.1. Раман та рентгенофотоелектронні спектри полікристалічного $\beta\text{-}GeS_2$ при природному старінні .....	77
4.2.2. Спектри фотолюмінесценції при зміні енергії збудження полікристалічного $\beta\text{-}GeS_2$ при природному старінні .....	81
4.3. Раман спектри та фотолюмінесценція при різних енергія збудження монокристалічного GeS при природному старінні.....	84
4.3.1. Раман спектри монокристалічного к-GeS при природному старінні ..	84

4.3.2. Фотолюмінесценція при різних енергія збудження моно- кристалічного GeS при природному старінні .....	88
4.4. Рентгенофотоелектронні спектри та спектри фотолюмінесценції <i>c</i> -GeS <sub>2</sub> (T <sub>i</sub> V <sub>j</sub> ) при природному старінні .....	91
4.4.1. Рентгенофотоелектронні спектри полірованої поверхні GeS <sub>2</sub> (T <sub>2</sub> V <sub>2</sub> ) при природному старінні .....	91
4.4.2. Спектри фотолюмінесценції сколу <i>c</i> -GeS <sub>2</sub> (T <sub>i</sub> V <sub>j</sub> ) при старінні в природних умовах , зняті при енергії збудження 2.48 eВ .....	97
4.4.3. Спектри фотолюмінесценції сколу <i>c</i> -GeS <sub>2</sub> (T <sub>i</sub> V <sub>j</sub> ) при старінні в природних умовах, зняті при енергії збудження 3.1 eВ .....	98
4.4.4. Спектри фотолюмінесценції сколу <i>c</i> -GeS <sub>2</sub> (T <sub>i</sub> V <sub>j</sub> ) при старінні.....	102
в природних умовах , зняті при енергії збудження 4.6 eВ.....	102
4.4.6. Край власного поглинання і фотолюмінесценція сколів стекол розрізу GeS <sub>2</sub> -As <sub>2</sub> S <sub>3</sub> .....	106
 ВИСНОВКИ.....	109
ЛІТЕРАТУРА.....	111

## ВСТУП

**Актуальність теми досліджень.** Пройшло більш як 70 років з дня відкриття напівпровідникових властивостей некристалічних твердих тіл (НТТ), відомих як халькогенідні склоподібні напівпровідники (ХСН) [1]. З того часу почалися їх інтенсивні дослідження як в фундаментальній, так і в практичній площинах [2-10]. Висока прозорість в ІЧ області спектру, ефекти перемикання та індукованих змін стали основою застосування ХСН в голограмії, оптоелектроніці, оптичному записі інформації [5-10]. В даний час неабиякий інтерес представляє використання стекол на основі  $\text{GeS}_2$  для надшвидкісної передачі інформації оптичними хвилеводами і оптичними інтегральними схемами, створення кераміки для термічного відображення інформації, формування компонент літієвих енергетично ємних батарей [9-11]. Серед ХСН склоподібний  $\text{GeS}_2$  є також одним із канонічних модельних об'єктів при вивчені процесів та явищ в об'ємі та на поверхні некристалічних речовин. Стримуючим фактором для практичного використання ХСН в якості оптичних медіа-середовищ в халькогенідній фотоніці є деградація поверхні волокон під дією оточуючого середовища, що погіршує з часом хвилевідні властивості волокон [11]. Недавно зявилися перші публікації де показано, що і в об'ємному склоподібному  $\text{GeSe}_4$  вплив вологи і температури суттєво впливає на зміну рівня пропускання в області краю власного поглинання [12]. Однією із ключових характеристик необхідних для розуміння процесів деградації поверхні стекол і їх запобіганню при дії оточуючого середовища є відомості про їх структуру [10-18]. Згідно дифракційних даних, локальне оточення атомів Ge в склоподібному (c)  $c\text{-GeS}_2$ , топологічно подібне до оточення атомів Ge в двовимірній (2-D) кристалічній високотемпературній фазі  $\beta\text{-GeS}_2$  [5-7]. На основі аналізу 2-D структури  $\beta\text{-GeS}_2$ , було запропоновано шарувато-ланцюгову структурну модель стехіометричного бінарного скла  $c\text{-GeS}_2$ , відому як «модель хімічно-упорядкованої фази» [13-17]. Однак, поряд зі

стабільною 2-D кристалічною фазою, в системі Ge-S існує тривимірна, 3-D низькотемпературна фаза  $\alpha$ -GeS<sub>2</sub>, структура якої побудована виключно із тетраедрів GeS<sub>4</sub>, зв'язаних кутами [7,18]. В рамках теорії наногетероморфного склоутворення в [19] вважають, що при формуванні склоподібного стану із розплаву, в структурі  $c$ -GeS<sub>2</sub> повинні утворюватися фрагменти структури характерні як для  $\alpha$ -GeS<sub>2</sub>, так і для  $\beta$ -GeS<sub>2</sub>. Існування коливних смуг в  $c$ -GeS<sub>2</sub>, характерних для  $\alpha$ -GeS<sub>2</sub> виявлено в цілій низці робіт [20-25]. Методом Раман спектроскопії в структурі  $c$ -GeS<sub>2</sub> також було виявлено наявність «дефектних», гомополярних Ge-Ge та S-S зв'язків [16,17]. В той же час, при використанні методу нейтронної спектроскопії в [26] доказів існування таких зв'язків в  $c$ -GeS<sub>2</sub> не знайдено, а в [27] ставиться під сумнів наявність дефектних зв'язків в структурі  $c$ -GeS<sub>2</sub>. Щоб зняти це протиріччя в [28] проведено комп'ютерне моделювання впливу умов одержання на структуру і температуру розм'якшення  $c$ -GeS<sub>2</sub> при загартуванні розплаву з різною швидкістю охолодження. Шляхом моделювання виявлено, що із зменшенням швидкості охолодження розплаву, число гомополярних зв'язків S-S та Ge-Ge в склі зменшується. Поряд з Раман спектроскопією для вивчення дефектів в об'ємі і на поверхні стекол ефективними методами є люмінесценція і рентгенофотоелектронна спектроскопія [29].

Форми і енергетичне положення максимумів у спектрах фотолюмінесценції стекол в залежності від енергії збуджуючих фотонів в поєднанні з теоретичними розрахунками, могла б дати можливість отримати інформацію про природу люмінесцентних центрів. Наявність ковалентних зв'язків в XCH дозволяє використати першопринципні методи для проведення розрахунків частотного спектру і енергетичних станів фрагментів структури стекол в кластерному наближенні [17]. Відомо, що кристалічний і аморфні германій (a-Ge) і кремній (a-Si) проявляють фотолюмінесценцію як з об'єму так і з їх поверхні [39]. Причому з поверхні a-Si спостерігається люмінесценція у видимій області спектру, тоді як ФЛ з об'єму по положенню максимуму корелює з значенням ширини забороненою

зони [39]. Недавно в стеклах Ge-S при кімнатній температурі була виявлена фотолюмінесценція у видимій області  $\sim 2.2$  еВ [40], однак типовою для XCH є ФЛ, максимум якої спостерігається при енергії, рівній половині ширини забороненої зони ( $E_g/2$ ) [29]. Видима ФЛ в області 2.2 - 2.3 еВ спостерігається в кварцеводібному кристалічному і некристалічному  $\text{GeO}_2$ , порошкоподібному  $\text{GeO}_2$ , нанодротах  $\text{GeO}_2$ , наноструктурованому і пористому Ge [41-48]. Тому на даний час невідомо, чи зв'язана видима ФЛ в стеклах Ge-S з об'ємними властивостями стекол, чи подібно до окиснення кристалічного германію, відображає наявність природного окису на поверхні. Видimu фотолюмінесценцію в  $\text{GeO}_2$  зв'язують з дефектами в субстехіометричному  $\text{GeO}_x$  [49]. Локальні дефекти в оксідах германію детально вивчаються протягом кількох останніх десятиліть [41-49]. Однак люмінесцентні властивості XCH та оксидів германію при зміні енергії збудження поки що вивчені недостатньо, що ускладнює порівняння результатів приведених в літературі і одержаних при різних енергіях збудження і співставлення з даним по моделюванню люмінесцентних властивостей дефектів [49]. Порівняння експериментальних досліджень люмінесценції з результатами моделювання і дослідженнями рентгенофотоелектронних (РФ) та Раман спектрів могло б зіграти тут істотну роль в структурній інтерпретації спектрів фотолюмінесценції. Таким чином фундаментально-науковий інтерес таких досліджень обумовлений відсутністю надійних і однозначних експериментальних та теоретичних даних про структуру близького і середнього порядку дисульфіду германію та природу нанофазних включень при різній термічній передісторії одержання стекол, що надало б інтерпретувати процеси деградації їх поверхні при природному старінні. Тому дослідження взаємозв'язку умов одержання і емісійних властивостей стекол дисульфіду германію при створенні твердотільних матеріалів (в т.ч. наноструктурованих) із наперед заданими властивостями і їх довготермінова експлуатація є вкрай важливими, а проблема визначення структури близького та середнього

порядку і природи нанофазних включень в халькогенідних медіа-середовищах, особливостей процесів деградації поверхні при природному старінні залишаються актуальними й сьогодні. Дослідження емісійних властивостей стекол на основі дисульфіду германію, а також закономірностей їх зміни при варіюванні методу одержання стекол або введення в розплав третього елементу, з одного боку розширяють уявлення про емісійні властивості стекол, а з іншого - дозволяють оптимізувати умови одержання стабільних стекол для халькогенідної фотоніки, що і зумовлює актуальність роботи.

**Мета і задачі досліджень.** Метою роботи є вивчення впливу перебудови структури близьнього та середнього порядку в некристалічному дисульфіді германію при технологічній модифікації на деградацію поверхні при природному старінні.

**Предметом досліджень** є некристалічний дисульфід германію одержаний в різних технологічних умовах та потрійні стекла на його основі.

**Методи дослідження.** Достовірність та обґрунтованість отриманих наукових результатів базується на використанні загальновизнаних експериментальних і теоретичних методик досліджень на Україні і в Угорщині. Зокрема:

–першопринципні (*ab initio*) розрахунки виконані на кафедрі твердотільної електроніки УжНУ за допомогою програмного пакету **Gaussian 09**, **HyperChem** та із використанням ресурсів обчислювального кластеру Інституту електронної фізики НАНУ України (м. Ужгород);

– вимірювання Раман спектрів стекол, порошків, полі- і монокристалів проводилося на мікро-раманівському спектрометрі Renishaw 1000;

– спектри фотолюмінесценції при зміні енергії збудження знімались на спектрофлуориметрі "Fluorolog FL 3-22" виробництва фірми "HORIBA Jobin-Yvon Inc.", Франція;

- край власного поглинання стекол при зміні складу і умов одержання досліджувався на спектрофотометрі СФ-46 методом двох товщин з точністю 10 %;

– ренгено-фотоелектронні спектри порошків, полі- і монокристалів, знімались на установці Specs GmbH, виробництва Берлін, Німеччина;

– інтерпретація експериментальних результатів проведена з урахуванням сучасних досягнень теоретичних та експериментальних робіт в галузі фізики некристалічних твердих тіл.

**Обґрунтованість і достовірність результатів**, викладених у роботі, забезпечена використанням комплексу сучасної апробованої експериментальної техніки, взаємодоповнюючих методик та методів вимірювання, підтверджується багаторазовим повторенням експериментів і відтворюваністю результатів на багатьох зразках, а також узгодженням експериментальних результатів з теоретичними, порівнянням з даними інших авторів, де це було можливо.

## РОЗДІЛ 1

### СТАН ПРОБЛЕМИ.

#### 1.1. Оксидні домішки в матриці структури халькогенідних стекол

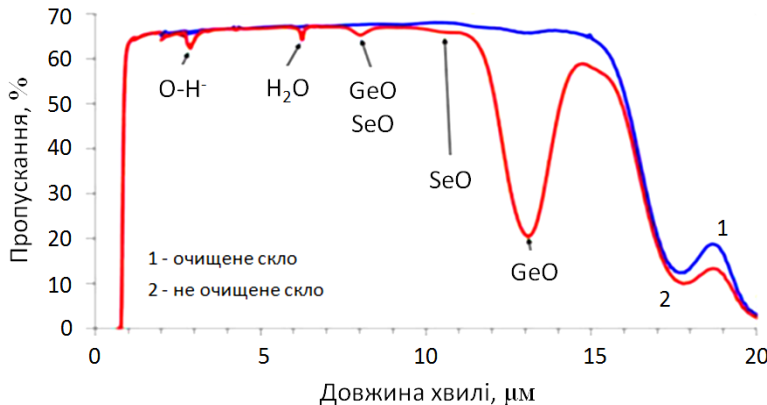


Рис. 1.1. Спектр пропускання скла GeSe<sub>2</sub> [55].

В 1953 році було заявлено про високе пропускання халькогенідного скла - трисульфіду мишаку (*c*-As<sub>2</sub>S<sub>3</sub>), в інфрачервоній області спектру [50,51]. Дослідження розчинності *c*-As<sub>2</sub>S<sub>3</sub>, що були проведені через декілька років, показали [52], що рівень розчинності у воді, *c*-As<sub>2</sub>S<sub>3</sub> такий же, як у відомого на той час оптичного матеріалу - склоподібного SiO<sub>2</sub>, що послужило підставою про віднесення *c*-As<sub>2</sub>S<sub>3</sub> до слаборозчинних оптических середовищ, придатних для практичного застосування в ІЧ оптиці. Однак вже в 60-70 роки минулого століття було виявлено, що рівень пропускання халькогенідних напівпровідниківих стекол (XCH) в ІЧ області спектру є домішково-чутливим [53-55]. В інтервалі від 2 до 14 мкм на рівень пропускання XCH впливають, в першу чергу, домішки кисню, вуглецю й сірки [53-57]. Частоти коливань валентних зв'язків атомів цих елементів

локалізовані саме в ближній і середній ІЧ області спектру (рис. 1.1) [55]. Домішковий кисень, хімічно пов'язаний переважно з миш'яком і германієм, є відповідальними за смуги поглинання в області 450 - 1350 см<sup>-1</sup> (Табл.1.1) [56].

Таблиця 1.1

Положення максимумів у спектрах ІЧ поглинання основних домішок в стеклах систем Ge(As)-S(Se) [56].

Склад функціональних груп, що приводять до поглинання	Положення максимумів у спектрах поглинання, мкм
OH <sup>-</sup>	2,92
S-H	4,01; 3,65; 3,11; 2,05
Se-H	7,8; 4,57; 4,12; 3,53; 2,32
Ge-H	4,95
As-H	5,02
P-H	4,35
H <sub>2</sub> O	6,31; 2,86; 2,79
Ge-O	12,8; 7,9
P-O	8,3
CO <sub>2</sub>	4,33; 4,31; 15,0
C-O-S	4,95
CS <sub>2</sub>	7,8
CS <sub>2</sub>	6,68; 4,65
As-O	15,4; 12,7; 9,5; 8,9; 7,9; 6,0
Se-O	10,67; 11,06
Si-O	9,1-9,6
Не ідентифіковані	4,65; 5,17; 5,56; 6,0

У середині минулого століття при одержанні особливо чистих халькогенів (S, Se, Te) керувалися стандартами, що відображали потреби напівпровідникової техніки і на промисловому рівні контролювався вміст

домішок металів на рівні  $10^{-4}$ - $10^{-5}$  мас.%, а концентрація ряду домішок, таких як вуглець, кисень, водень в халькогенах залишалась високою ( $10^{-2}$ - $10^{-3}$  мас.%) [56]. В той же час в стеклах вуглець викликав надмірне поглинання в короткохвильовому діапазоні і був присутнім в склі у вигляді гомоланцюгів, сполучок з іншими домішковими елементами або халькогенами [53-57]. Вуглець також утворює гетерофазні включення, що призводить до додаткових оптичних втрат за рахунок поглинання та розсіяння [14,56]. Промислова ступінь очистки мишаку і халькогенів на початку 70-х років минулого століття виявилась достатньою для встановлення надійних значень ряду фізико-хімічних характеристик, однак виявилася абсолютно неприйнятною при вивченні оптичних акусто-оптичних і нелінійно-оптичних властивості, порогів лазерного пробою XCH [15,54,55-57]. Тому в Ужгородському університеті на Україні [54] і в лабораторіях інших країн світу вихідні для синтезу стекол елементарні матеріали стали піддавати додаткові очистці [56-59].

Таблиця 1.2

Вміст домішок у вихідній і очищений сірці (ppm wt) [56].

Домішка	Вихідна сірка ОСЧ 15-3, ppm wt	Високочиста сірка, ppm wt
Bi, Cd, Co, Cr, Mn, Mo, Ni, Pb, Sb, Sn, Ti, V, Zn, Ag, Ca,	<(0.03÷1)	<(0.03÷1)
Al	0.2	$\leq$ 0.1
Cu	0.02	<0.01
Fe	0.2	<0.1
Mg	0.1	0.04
Si	200-30	0.1
Вміст частинок роздмірами 50-100 нм.	$>10^9$	$<10^4 \text{ см}^{-3}$

Так для отримання високочистої сірки були використані хіміко-термічний метод в комбінації з вакуумною дистиляцією [54,56,58,59] що в комплексі дозволяло знизити вміст гетерофазних мікровключень і газоподібних домішок. В результаті дії високої температури відбувалася термодеструкція важких вуглеводнів з утворенням вуглецю, більш легких вуглевододів і продуктів взаємодії цих речовин з сіркою [56]. Кінцева стадія очистки включала вакуумну дистиляцію [54-56]. Результати очистки сірки вище описаним методом представлені в табл.1.1.

Для очистки миш'яку від домішок кисню, сірки і селену використовують сублімацію в потоці водню [56,59]. На початковій стадії очистки миш'яку домішки металів та гетерофазних домішкових включень видаляються шляхом сублімації у відкритій, а потій закритій системі [56].

В таблиці 1.2 представлені результати атомно-емісійного аналізу миш'яку, проведеного в [56], що пройшов дві стадії очистки сублімацією у вакуумі.

Таблиця 1.3

Вміст домішок в миш'яку, очищенному вакуумною сублімацією (хіміко-атомно-емісійний метод аналізу, ppm wt) [56].

Домішка	Концентрація після першої сублімації	Концентрація після другої сублімації
Mn, Bi, V, Mg, Sn, Ni, Pb, Ti, Ca, Co, Sb	<(0.02÷2)	<(0.02÷2)
Cu	0.1	≤0.02
Al	0.1	≤0.1
Ca	<1	<1
Fe	0.2	0.03
Ag	0.03	<0.007
Si	≤0.5	<0.5

Наявність діоксиду сірки в розплаві стекол призводить до взаємодії з основними компонентами скла і супроводжується збільшенням інтенсивності смуг поглинання, що відносять до зв'язків As-O і S-S. Найбільший вплив на ІЧ пропускання стекол системи As-S має домішковий кисень через поглинання гідроксильною групою (Табл.1.1) [55]. В складних стеклах систем Ge-As-(Sb)S [57] було виявлено, що домішки в As (Sb) у шихті потрійних стекол є відповідальними за поглинання молекулярною водою, а домішки в сірці сприяють утворенню водневих OH груп (рис.1.2). Положення смуг і їх віднесення в стеклах систем Ge-As(Sb)-S представлено в табл.1.3.

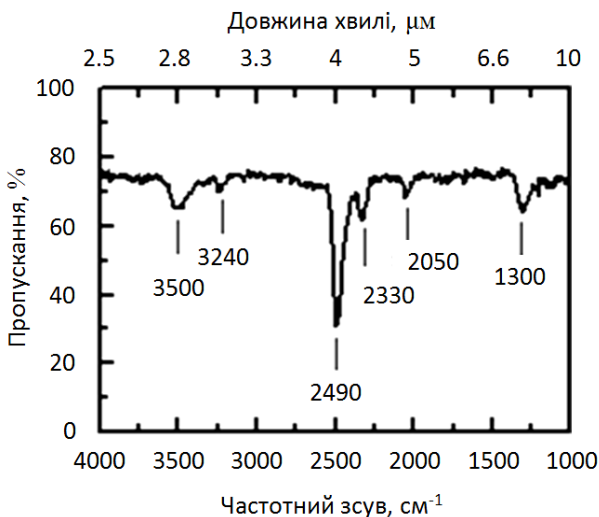


Рис. 1.2. Інфрачервоний спектр пропускання скла Ge-Sb-S с середньою координацією  $z=2,75$  [57].

Важливо підкреслити, що домішки, які вносить не очищений германій в стеклах, приводять до появи смуги  $\sim 2050\text{ cm}^{-1}$  і віднесеного до C-O-S коливань [57]. Очистка германію виявилася найбільш трудомісткою від вмісту домішок і не завжди давала бажаних результатів [57].

Таблиця 1.4

Частотне положення смуг поглинання і значення коефіцієнта поглинання ( $\text{см}^{-1}$ ) основних збруднюючих домішок в стеклах Ge–As(Sb)–S при зміні середнього координаційного числа (z) [57].

$Z$	3500 $\text{см}^{-1}$ ( $\text{H}_2\text{O}$ )	3240 $\text{см}^{-1}$ (–S–OH)	2490 $\text{см}^{-1}$ (–S–H)	2330 $\text{см}^{-1}$ ( $\text{H}_2\text{S}$ )	2050 $\text{см}^{-1}$ (≡C–O–S–)	1580 $\text{см}^{-1}$ ( $\text{H}_2\text{O}$ )	1300 $\text{см}^{-1}$ (–S–O– або $\text{As}_4\text{O}_6$ )
Розріз $\text{As}_2\text{S}_3$ – $\text{GeS}_2$							
2.43	0.28	0	0.28	0	0	0.20	0.05
2.48	0.29	0.01	0.37	0	0	0.10	0.12
2.53	0.16	0.03	0.50	0	0	0.02	0.11
2.63	0.04	0.03	0.56	0	0	0	0.09
Розріз $\text{Sb}_2\text{S}_3$ – $\text{GeS}_2$							
2.50	0.22	0	0.30	0.10	0	0.10	0.05
2.53	0.15	0	0.39	0.12	0	0.05	0.05
2.55	0.09	0.03	0.45	0.10	0	0.02	0.06
2.59	0.06	0.04	0.60	0.11	0	0	0.06
2.63	0.04	0.05	0.67	0.12	0	0	0.06
Розріз $\text{As}_2\text{S}_3$ – $\text{Ge}_2\text{S}_3$							
2.56	0.15	0.04	0.90	0	0	0.04	0.08
2.64	0.12	0.06	1.10	0	0.01	0.02	0.11
2.72	0.07	0.04	0.86	0	0.01	0.01	0.16
2.76	0.05	0.04	0.80	0	0.03	0	0.10

Практично до кінця минулого століття відомості про вплив на прозорість халькогенідних стекол домішок інших елементів носили головним чином якісний характер. Був відсутній зв'язок між рівнем поглинання і концентрацією домішок, що ускладнювало формулювання вимог до чистоти вихідних компонент для синтезу стекол для оптичних застосувань. Практика

використання халькогенідних стекол в силовій, волоконній, інтегральній, нелінійній оптиці та халькогенідній фотоніці [55,59-61] висунули вимогу до чистоти і стабільності властивостей як в об'ємі так і на поверхні стекол, щоб зробити більш ефективним цільове використання цих матеріалів.

Одним з найважливіших напрямків в кінці 20 століття стала волоконна оптика середнього ІЧ спектру [56]. В [55] були визначені коефіцієнти поглинання волокон в максимумах смуг, зв'язаних з основними домішками, що забруднюють XCH (рис.1.3.). Як видно з рис.1.3., рівень поглинання домішкових функціональних груп S-H та H<sub>2</sub>O складає вище 10<sup>4</sup> дБ/км. Найбільш низькі втрати на рівні 12 дБ/км при 2.2 мкм були одержані у волокнах As<sub>2</sub>S<sub>3</sub> з вмістом кисню 10<sup>-7</sup>, водню, вуглецю - 10<sup>-6</sup> мас.%, субмікронних включені - <10<sup>4</sup> см<sup>-3</sup> [61].

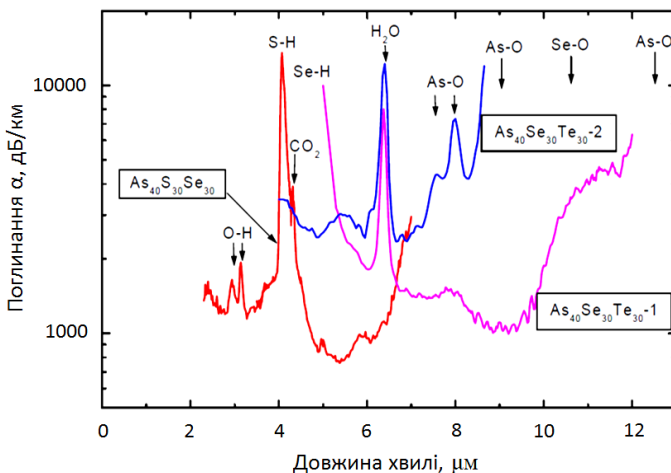


Рис.1.3. Спектри поглинання волокон на основі потрійних стекол систем As-S(Se)-Te (конкретні склади і функціональні групи домішок вказані на рис.) [55].

Однією з важливих проблем при хвилевідному поширенні світла у хвилеводах є вплив поверхні волокна [60-62] на процес проходження світла. Роль води на процес деградації поверхні і вплив на пропускання скла GeSe<sub>4</sub> в залежності від часу витримки і температури деіонізованої води досліджувалося в [12]. Як видно з рис. 1.4., вже при температурі 40 °C із зростанням часу витримки у воді ІЧ пропускання в близькій ІЧ області спектру суттєво зменшується. Можливі продукти корозії скла GeSe<sub>4</sub> ілюструють формули (1) та (2) [62].

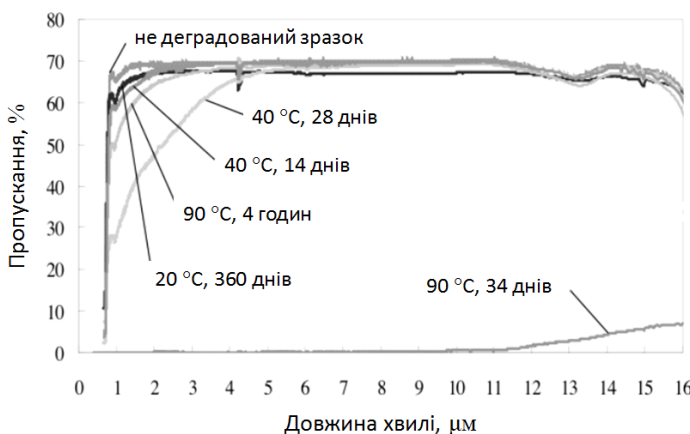
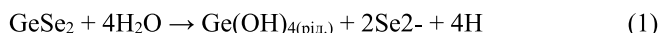


Рис. 1.4. Інфрачервоний спектр пропускання скла GeSe<sub>4</sub> в залежності від часу витримки і температури деіонізованої води [12].

Однак експериментальними методами їх наявність на поверхні халькогенідних стекол не досліджувалася. Халькогеніди мішяку і германію являються одними із самих перспективних матеріалів для ІЧ оптики і

дослідження процесів деградації їх поверхні є важливив для вибору умов їх тривалої експлуатації. Одними з ефектіх і чутливих методів дослідження поверхневих і об'ємних властивостей напівпровідниківих матеріалів є емісійні методи [41-49].

## 1.2. Рентгенофотоелектронні та люмінесцентні спектри окиснених поверхонь об'ємного, наноструктурованого та пористого германію

### 1.2.1. Ренгено-фотоелектронні спектри та окиснення поверхні кристалічного германію та нанодротів на його основі

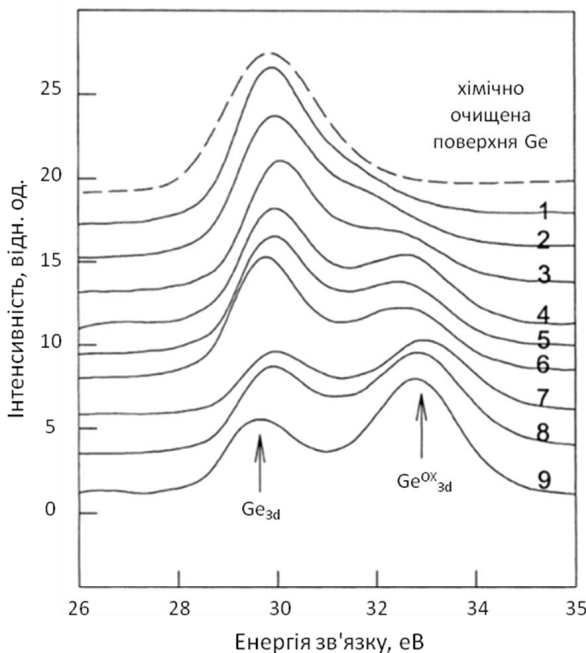


Рис. 1.5. Еволюція Ge3d спектрів знятих протягом 15 хвилин з поверхні монокристалічного Ge вздовж напрямку [011] при різних тисках повітря у робочій камері (Topp): 1 - 0.05; 2 - 0.5; 3 - 5; 4 - 50; 5 - 150; 6 - 300; 7 - 450; 8 - 600; 9 - 760. Для порівняння пунктирною лінією показано Ge3d спектр хімічно очищеної поверхні Ge [71].

Окиснення поверхні кремнію вздовж різних кристалографічних напрямків при сухому і вологому окисненнях добре вивчене і закономірності росту  $\text{SiO}_2$  наведені в посібниках по технології виготовлення напівпровідникових приладів та інтегральних мікросхем [67]. В цих пристроях оксид кремнію, як діелектрик, відіграє важливу роль і його функція добре описана як в дифузійних так і в польових транзисторах [68].

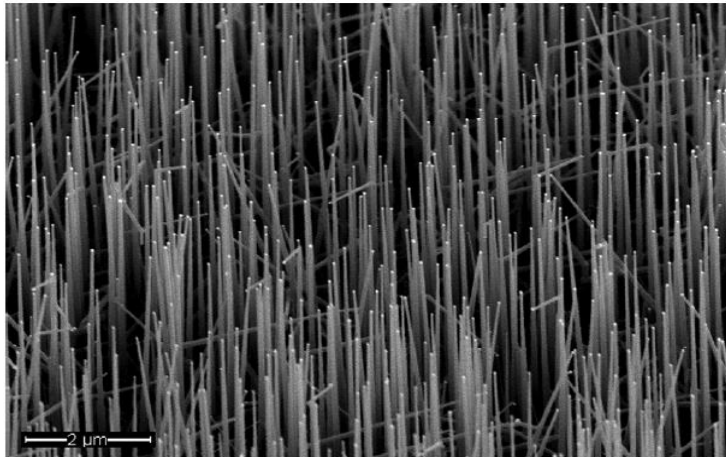


Рис. 1.6. Монокристалічні нанодроти германію на кремнієвій підкладинці, вирощені методом пара-рідина-тверда фази в присутності в якості катализатора частинок золота [69].

Менш вивчені закономірності росту оксиду германію на поверхні германію. Опір кристалічного германію є нижчим, а рухливість носіїв заряду є вищою в порівнянні з кристалічним кремнієм [68]. Все ще вважають, що на основі германію можна створити швидкодійні польові транзистори [69]. Однак проблема вирастає на розробці процесу виготовлення стабільного окису на поверхні кристалічного германію [70]. Одним із методів, що

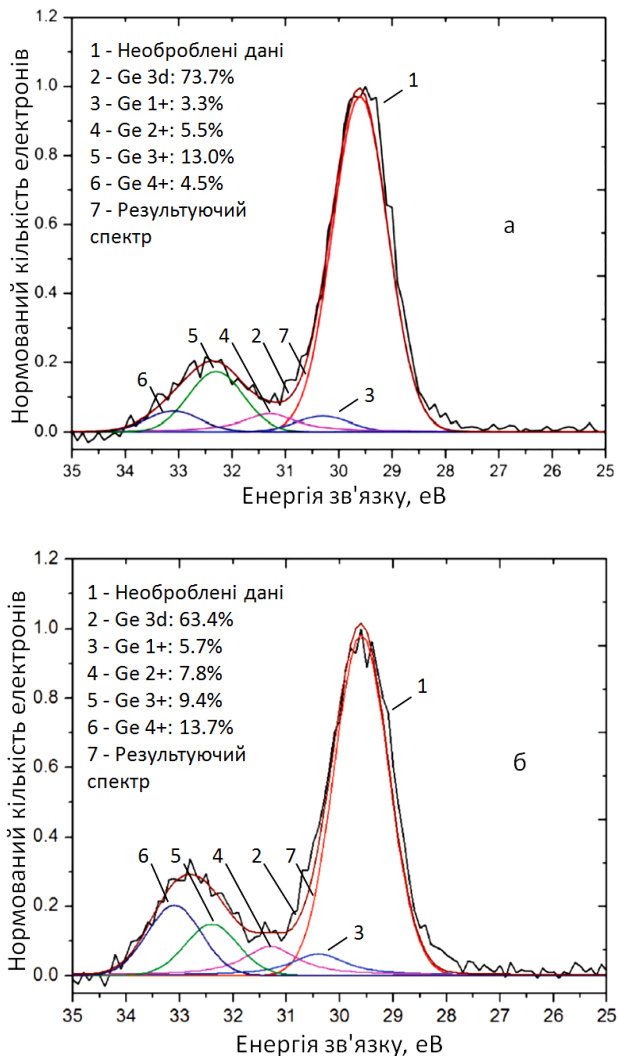


Рис. 1.7. Хімічний стан оксидів германію в Ge3d рентгено-фотоелектронному спектрі одержаний шляхом розбиття на складові (фіттінгу) зразка одержаного при проведенні окиснення шляхом нагріву в печі в атмосфері кисню при  $220^{\circ}\text{C}$  протягом (а) однієї години та (б) протягом 3 годин [74].

дозволяє вичити формування окисної фази на поверхні германію є рентгенівська фотоелектронна спектроскопія [71]. Відомо, що на повітрі природній окисел завжди формується на свіжеочищений поверхні германію і кремнію [69].

З рис. 1.5. легко бачити, що для очищеного германію максимум Ge3d спектру знаходиться при 29.6 eВ і положення цього максимуму часто використовується як калібровочне [74]. Зростом тиску в камері до 0,5 Торр зростає інтенсивність максимуму, що спостерігається  $\sim 32$  eВ, а з подальшим зростом тиску кисню в камері, максимум зсувається до 33 eВ [74]. В перших роботах по вивчення процесу окиснення германію методом рентгенофотоелектронної спектроскопії було встановлено, що на один зв'язок Ge-O приходиться приблизно 0.85 eВ і з зростом часу окиснення положення максимуму в Ge3d спектрі зсувається в область вищих енергій і енергетичний зсув для GeO<sub>2</sub> складає 3.4 eВ по відношенню до положення максимуму в чистому Ge [73]. Тому весь Ge3d спектр з окисненої поверхні германію стали розбивати на складові (рис.1. 7). Як видно з рис. 1.7, Ge3d спектр розбивається на складову яка відповідає максимуму чистого Ge, а також складові Ge1+, Ge2+, Ge3+, Ge4+ із зсувом на 0.85 eВ у високоенергетичну область. Числа 1-4 біля Ge вказують на число зв'язків Ge-O. З рис. 1.7. (б) видно, що із зростом часу відпалу в атмосфері кисню окисненого на повітрі монокристалічних нанодротів германію, зростає доля атомів германію з координацією 4, що відповідає GeO<sub>2</sub>. Наявність в структурі оксиду германію з меншою координацією по кисню, вказує на присутність субстехіометричного оксиду [73]. При розбитті на складові (рис.1.10, (а)) було виявлено, що при відпалі германієвої підкладинки на повітрі протягом однієї години доля оксиду германію з потрійною координацією максимальна і складає 13%. З зростом часу відпалу максимум Ge3d спектру зсувається до 33 eВ і в ньому переважає доля оксиду, характерна для четверної координації германію по кисню в тетредрах GeO<sub>4</sub> (рис.1.7, (б)). Швидкі стани пасток, пов'язані з дефектами в нестехіометричному оксиді германію на межі розділу

оксид-германій приводять до нерадіаційної рекомбінації фотозбуджених носіїв заряду [75]. При зростанні часу відпалу окиснених нанодротів германію і зростанні частки атомів германію з четверною координацією по кисню, прикрайова люмінесценція, пов'язана з непрямими переходами в германії, стає більш інтенсивною. Зростання інтенсивності ФЛ пов'язують з пасивуючою роллю окису у формі  $\text{GeO}_2$  [75]. Роль конфайнмент ефекту тут вважається малою нехтовно малим, оскільки діаметр нановолокон Ge складає 40 нм, а радіус Бора – 24 нм [75]. Із зростанням часу відпалу у атмосфері кисню зростає інтенсивність міжзонної люмінесценції. Причому спостерігається перерозподіл інтенсивності за рахунок збільшення довгохвильової складової при 1750 нм, яку зв'язують з непрямими переходами в порівнянні з короткохвильовою при 1600 нм, яку зв'язують з прямыми переходами в германії [75]. Однак для характеризації поверхні германію важливо з'ясувати природу фотолюмінесценції центрів з поверхні наноструктурованого і окисненого германію, які відповідно пов'язують із конфайнмент-ефектом або субстехіометричним оксидом. Максимуми цих смуги ФЛ лежать у ІЧ, видимій і ультрафіолетовій областях спектру [76-81].

### **1.2.2. Фотолюмінесцентні спектри з поверхні наноструктурованого і пористого германію**

Прикладом для проведення досліджень наноструктурованого германію послужили роботи по одержанню і дослідженю наструктуркованого кремнію [81]. Непрямі оптичні переходи в кремнії впливають на випромінювальну рекомбінацію, що обмежує використання кристалічного кремнію в якості випромінювача світла. Проте, модифікація кристалічного кремнію шляхом формування кремнієвих нанокристалів, квантових точок або пористого кремнію призводить до емісії світла, що створює потенційні можливості виготовлення випромінюючих структур [82]. Емісія світла з наноструктури, в силу величезного потенціалу для використання в оптико-електронних

приладах і інтегральних схемах, стала предметом широких досліджень [84-90]. Шляхом ретельної характеризації та порівняння серій зразків свіжоприготованого і окисненого нанокристалічного кремнію було висловлено допущення, що в процесі випромінювальної рекомбінації значну роль може відігравати квантово-розмірний ефект [77]. При зміні середнього розміру НК від 1 до 5 нм положення максимумів ФЛ свіжоприготованого пористого p-Si сувається в широкому інтервалі довжин хвиль 400-800 нм (1.55-3.1 еВ), що узгоджувалося з розрахунками по розмірному квантування рівнів в квантових точках Si. В той час як положення максимумів ФЛ окисненого p-Si залишається незмінним при розмірах НК менш ~ 2,5 нм (рис. 1.8) [82]. Однак майже відразу зявилася інша точка зору, суть якої полягає в тому, що видима люмінесценція при кімнатній температурі в пористому кремнії може бути обумовлена поверхневими станами або люмінесценцією з поверхні сполук кремнію молекулярної природи [83].

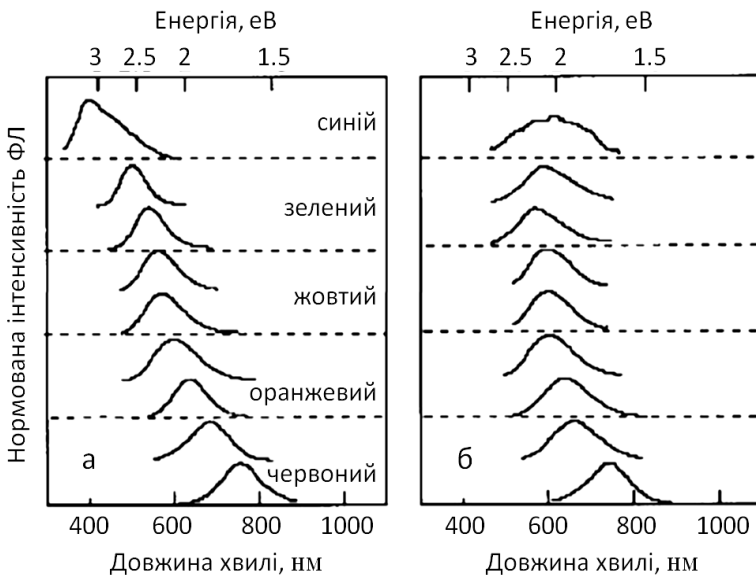


Рис. 1.8. Положення максимумів ФЛ свіжоприготованого p-Si при зміні середнього розміру НК від 1 до 5 нм після витримки в інертній атмосфері (а) і на повітрі (б) [88].

Після більш ніж двох десятиліть інтенсивних досліджень все ще не сформувався консенсус в цьому питанні. На даний час для обговорення природи емісії з квантових точок Si пропонується модель, яка включає в себе ядро, поверхню і границю поділу [80-82].

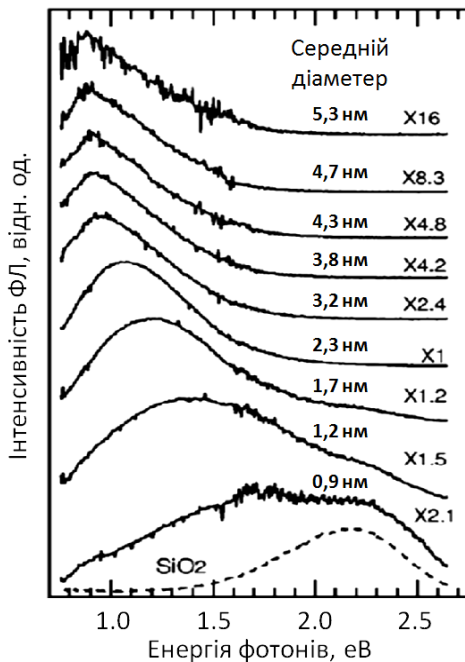


Рис. 1.9. Спектри ФЛ нанокристалічного Ge (розміри наночастинок представлені на рис.) в шарі  $\text{SiO}_2$  [77].

Германій є близьким структурним і електронним аналогом Si. Вважають, що НК Ge з розмірами 0,9-5,3 нм в матриці  $\text{SiO}_2$  відповідальні за ФЛ в ближньому ІЧ діапазоні спектра – 1.54 - 0.88 еВ (800 - 1400 нм) (рис.1.9). Положення максимумів і інтенсивність цієї ФЛ змінюються зі збільшенням розміру НК, як це і повинно бути в відповідно до ефекту квантового обмеження в квантових точках (КТ) Ge [84]. Вважають [85], що

такий енергетичний зсув максимумів при зменшенні розмірів НК Ge не є таким великим по відношенню до значення ширини забороненої зони кристалічного Ge (0.66 еВ) і зміна положення і інтенсивності ФЛ є більш реалістичною для НК Ge (рис. 1.9), ніж для пористого p-Ge. Все ще залишається дискусійним питанням природа ФЛ наноструктурованого і пористого германію у видимій і УФ частинах спектру [90]. Дослідження фотолюмінесценції пористого германію привели авторів [91] до висновку, що люмінесценція при 2.2 - 2.4 еВ, обумовлена переходами не всередині НК, а в навколошній оксидній оболонці  $\text{GeO}_x$ .

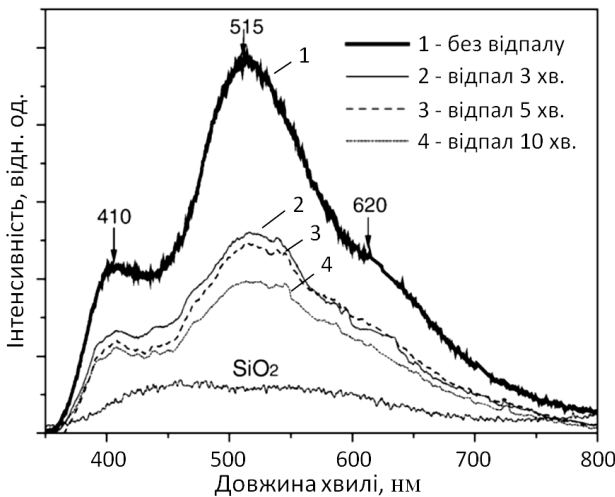


Рис. 1.10. Фотолюмінесценція при кімнатній температурі пористих піловок германію при різній тривалості відпалу [89].

Ретельні дослідження, проведені в більш пізніх роботах [91,92], показали, що природа смуг ФЛ, які спостерігаються в інтервалі енергій 2 - 3 еВ, може бути зв'язана з інтерфейсами з НК Ge або безпосередньо в оксидній матриці. Було виявлено, що як катодо- так і фотолюмінесценція при 2.2 еВ (560 нм) також властива кварцеводібному  $q\text{-GeO}_2$  [93]. Ширина забороненої зони  $q\text{-GeO}_2$  складає  $\sim 5.5$  еВ [94], що значно більше від енергетичного

позиція максимумів у спектрах ФЛ. В рутилоподібній формі кристалічного  $r\text{-GeO}_2$  максимум катодо- і фотолюмінесценції спостерігається  $\sim 3.2$  еВ [19]. Максимум катодо- і фотолюмінесценції аморфного  $\text{GeO}_2$ , як і кварцеподібного кристалічного розміщений  $\sim 2.2$  еВ [19].

Подібність спектру ФЛ аморфного  $a\text{-GeO}_2$  та кварцеподібного  $q\text{-GeO}_2$  звязують з подібністю структури близького порядку тетраедрами  $\text{GeO}_4$  і формуванням в їх структурі подібних дефектів [94]. Про це свідчить і порівняння Раман спектрів  $q\text{-GeO}_2$  та  $a\text{-GeO}_2$  [96]. В Раман спектрі тригональної (кварцеподібної) форми кристалічного  $\text{GeO}_2$  моди  $A_1$  виявлені при  $263$ ,  $330$ ,  $444$ , і  $881$   $\text{cm}^{-1}$ ; Е моди при  $123$  ( $\text{TO+LO}$ ),  $166$  ( $\text{TO+LO}$ ),  $212$  ( $\text{TO}$ ),  $330$  ( $\text{TO}$ ),  $516$  ( $\text{LO}$ ),  $593$  ( $\text{LO}$ ),  $860$  ( $\text{TO}$ ),  $960$  ( $\text{TO}$ ), і  $973$   $\text{cm}^{-1}$  ( $\text{LO}$ ). Е моди при  $372$  ( $\text{LO}$ ),  $385$  ( $\text{TO}$ ),  $492$  ( $\text{TO}$ ),  $583$  ( $\text{TO}$ ) and  $949$   $\text{cm}^{-1}$  ( $\text{LO}$ ) [87]. В Раман спектрі рутилоподібної поліморфної модифікації проявляються три сильні смуги в інтервалі  $150\text{--}1200$   $\text{cm}^{-1}$  при  $173$  ( $B_{1g}$ ),  $701$  ( $A_{1g}$ ) і  $873$  ( $B_{2g}$ )  $\text{cm}^{-1}$  [87].

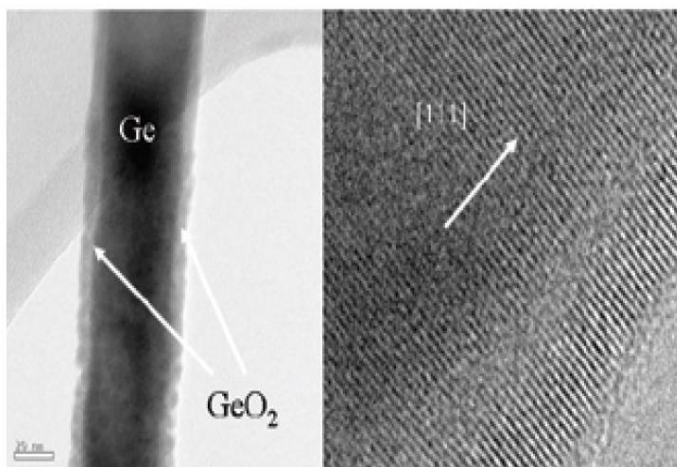


Рис. 1.11. Мікрофотографія нановолокна кристалічного германію з окисненим шаром на поверхні [41].

Подібно до кристалічного  $\text{SiO}_2$  [93] дефекти, що можуть бути присутніми в вихідному оксиді германію, пов'язують з відхиленнями в стехіометрії, що виникають при рості або осадженні  $\text{GeO}_2$  (нестача або надлишок кисню) [49]. Деякий тип дефектів може формуватися при радіаційному пошкодженні матеріалу [81]. Відомі наступні типи дефектів [49]: трьохкоординований атом германію ( $E'$ -центр); двокоординований атом германію =Ge; нейтральна киснева дивакансія (НКД); германій-германієвий зв'язок Ge-Ge; нейтральна киснева моновакансія (НКМ); одно координований атом кисню; «немостиковий» атом кисню (НАК).

Для спостереження росту числа дефектів на межі розділу нановолокон  $\text{Ge}/\text{GeO}_x$  досліджувалася температурна залежність спектрів фотолюмінесценції при збудженні енергією 3.82 eВ (325 нм) [41]. Було виявлено, що при зростанні температури від 10 до 300 К інтенсивність фотолюмінесценції зростає, однак положення максимуму і форма кривої практично не змінюється. Зростання інтенсивності ФЛ з температурою відповідає існуючій точці зору, що температура активує збільшення числа дефектів [41]. В результаті проведення фітінгу були одержані положення максимумів у спектрі ФЛ нановолокна Ge при T=300 K [41]: при 387 нм (3.2 eВ), 402 нм (3.1 eВ), 433 нм (2.86 eВ) та 483 нм (2.57 eВ).

### **1.3. Спектри люмінесценції нановолокон кварцеподібного $q\text{-GeO}_2$ при збудженні рентгенівським випромінюванням (XEOL) та біляпорогова тонка структура рентгенівських спектрів поглинання (XANES)**

Одним з ефективних методів дослідження локальної атомної та електронної системи речовин в конденсованому стані, є метод рентгенівської спектроскопії поглинання (міжнародний термін XAFS - X-Ray Absorption Fine Structure) [92, 93]. XAFS-спектроскопія як метод дослідження полягає у вивченні тонкої структури, що з'являється у спектрах рентгенівського

поглинання поблизу країв поглинання рентгенівського випромінювання атомами, що утворюють речовину. XAFS підрозділяється на XANES або NEXAFS (X-ray Absorption Near Edge Structure - біляпорогова тонка структура рентгенівських спектрів поглинання) і EXAFS (Extended X-ray Absorption Fine Structure - дальня тонка структура рентгенівських спектрів поглинання). Схематичне зображення виникнення люмінесценції із 1s стану за допомогою збудження рентгенівським випромінюванням (XEOL) ілюструє рис. 1.12. При зміні енергії збудження ФЛ Ge L-краю від докрайового (1214.0 eВ), крайового (1219.4 eВ) і понадкрайового було виявлено, що інтенсивність ФЛ незначна і вона знижується при зростанні енергії збудження (рис.1.24,(а)). У випадку збудження ФЛ нановолокон з допороговою енергією О K-краю (530 eВ), пороговою (536.5 eВ) і понадпороговою (555 eВ) максимальна інтенсивність ФЛ була зафікована при збудженні допороговою енергією (рис.1.24 (б)).

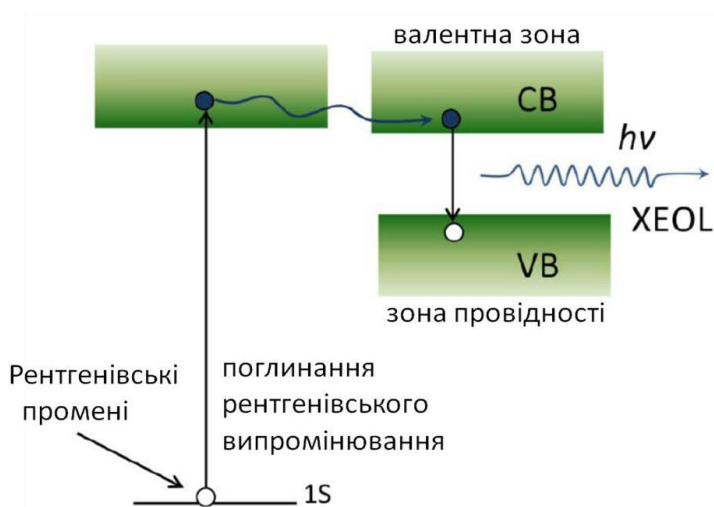


Рис. 1.12. Схематичне зображення виникнення люмінесценції із 1s стану за допомогою збудження рентгенівським випромінюванням (XEOL) [92].

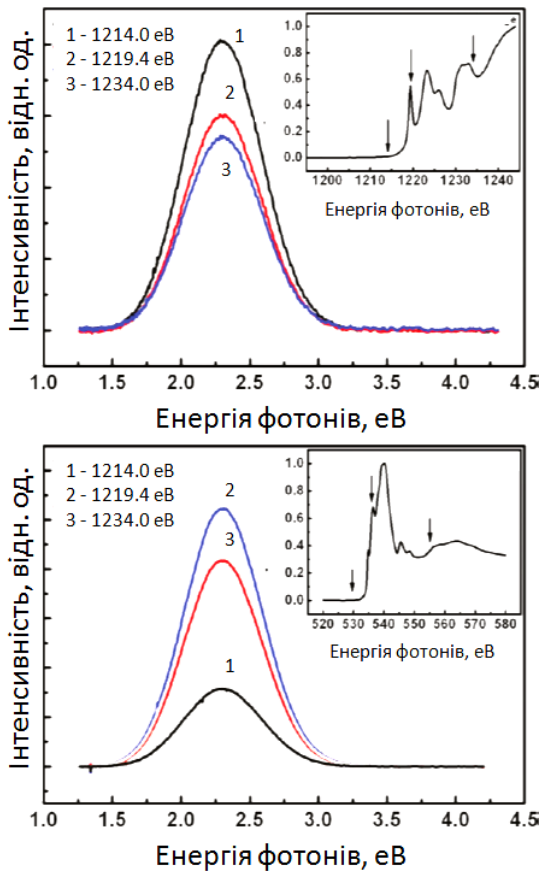


Рис. 1.13. XEOL спектр при збудженні рентгенолюмінесценції нанодроту  $\text{GeO}_2$ :

(а) з області Ge L-краю, енергія збудження Ge L докрайова (1214.0 eВ), крайова (1219.4 eВ), понад-крайова(1234.0 eВ), на вставці вказано XANES (біля порогова тонка структура рентгенівських спектрів поглинання) для Ge L-краю;

(б) з області O K-краю, енергія збудження O K допорогова ( 530 eВ), порогова (536.5 eВ), післяпорогова ( 555 eВ), на вставці вказано XANES (біляпорогова тонка структура рентгенівських спектрів поглинання) для O K-краю [41].

Така зміна інтенсивності ФЛ нановолокон при зміні енергії збудження дала можливість віднести інтенсивну смугу у спектрі ФЛ при 2.3 еВ (540 нм) монокристалічного кварцеподібного нановолокна з процесами збудження в центрах, зв'язаних з киснем. Відношення Ge до O в нановолокні, визначене із рентгенофотоелектронних спектрів (РФС), складало 1:1.8, що вказувало на дефіцит кисню в нановолокні.

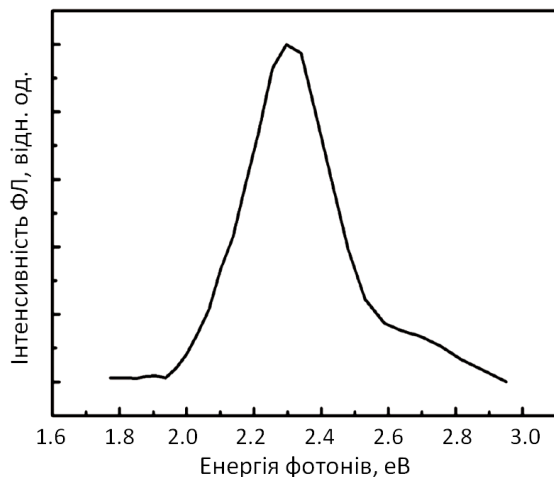


Рис. 1.14. Спектр фотолюмінесценції волокна на основі монокристалічного кварцеподібного  $q\text{-GeO}_2$  при збудженні джерелом з  $E_{36}=3.06$  еВ (405 нм) [41].

Спектр фотолюмінесценції волокна на основі монокристалічного того ж кварцеподібного  $\text{GeO}_2$  (рис.1.14) [41] при збудженні джерелом з  $E_{36}=3.06$  еВ (405 нм) [41] відповідає XEOL спектру при збудженні рентгенолюмінесценції нанодроту  $\text{GeO}_2$  (рис.1.15). Розбиття XEOL спектру на складові при пороговій енергії збудження дало виділити чотири смуги, що дають вклад в ХЕОЛ спектр: 1.9, 2.17, 2.42 та 2.7 еВ (рис. 1.15.a). При відпалі на повітрі при

температури 450-500 °C XEOL спектр трансформується і його інтенсивність суттєво зменшується (рис. 1.15.б); при розбитті в ньому

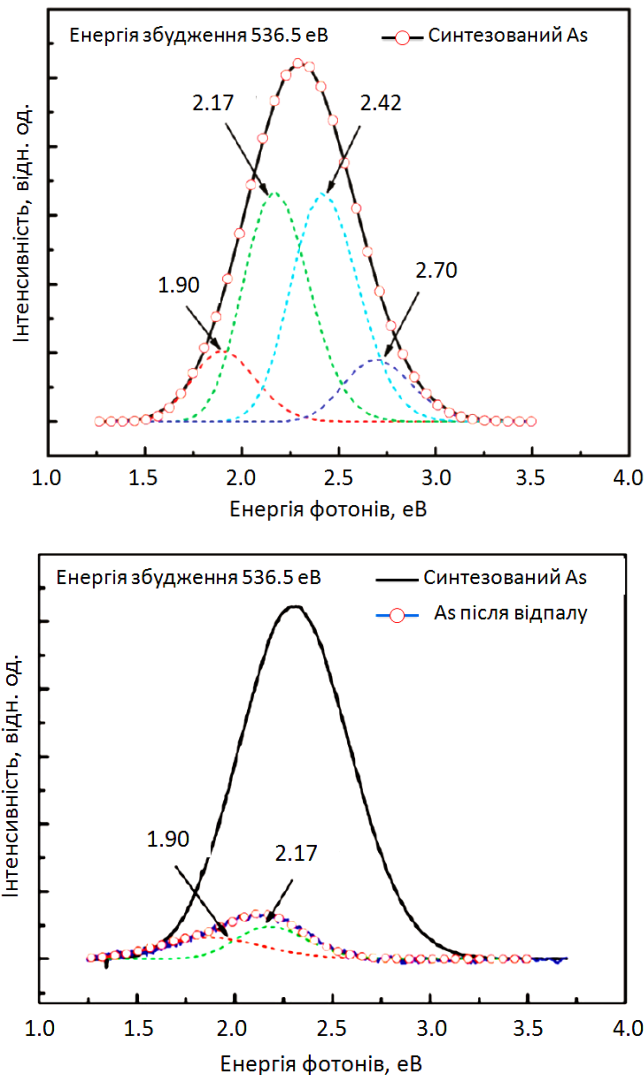


Рис.1.15. Розбиття ХЕОЛ спектру на складові при пороговій енергії збудження (а) та ХЕОЛ спектр після відпалу нановолокна (б) [41].

залишаються тільки смуги при 1.9 та 2.17 eВ, а блакитна (2.7 eВ) і блакитно-зелена (2.42 eВ) люмінесценція зникає.

Відпал призводить до збільшення середнього координаційного числа ( $z$ ) від 2.4 до 3,9 і  $z$  наближається до середнього координаційного числа об'ємного  $\text{GeO}_2$  ( $z=4.0$ ). Ці результати свідчать, що вторинна обробка кварцеподібних волокон суттєво зменшує число кисневодифіцитних центрів, які вважають причиною виникнення ФЛ нановолокна в області 1.9 - 2.9 eВ. Відпал супроводжується зменшенням інтенсивності люмінесценції і зникненням смуг при 2.42 та 2.7 eВ (рис. 1.15.б).

## **РОЗДІЛ 2**

### **МЕТОДИКА ЕКСПЕРИМЕНТАЛЬНИХ І ТЕОРЕТИЧНИХ ДОСЛІДЖЕНЬ**

#### **2.1. Синтез стекол та підготовка зразків для спектральних досліджень**

Синтез склоподібних матеріалів  $\text{GeS}_2$  здійснювався із елементарних компонент чистоти «ОСЧ» В-5 ампульним методом по методиці, описаній в [64]. При синтезі враховувалася рівноважну діаграму стану системи Ge-S [7]. Подібно до того, як це описано в [64], вихідні компоненти зважувались з точністю до  $10^{-7}$  кг і поміщалися у відпалені кварцеві ампули, які попередньо обробляли концентрованою азотною кислотою і промивали дистильованою водою. Наповнені шихтою ампули за допомогою газокисневого пальника прогрівали до температури 400-450 К для усунення парів води і запаювали під вакуумом порядку  $10^{-4}$  Торр [64].

Далі здійснювався нагрів ампули з швидкістю 250 К/год до температури 800 К. Для зменшити тиск парів сірки у ампулі і запобіганні розриву ампула при цій температурі шихта витримувалася протягом 5-ти годин. Наступним кроком було підвищення температури синтезу до 1200 К із швидкістю порядку 100 К/год [64]. Витримка розплаву при цій температурі здійснювалася на протязі 10 год з послідувочим охолодженням у льодяній воді, що забезпечувало швидкість гартування розплаву  $V=1.5 \cdot 10^2$  К/с. Контроль однорідності зразків проводився поляризаційним методом. Здійснивши попередній синтез, зразок був розділений на три рівні частини. Подібно до попереднього етапу синтезу, були очищені кварцові ампули в які завантажувались одержані шляхом поділу частини. Далі ампули вакуумували до  $10^{-4}$  Торр і запаювали. Нагрів ампул здійснювався з швидкістю 100 К/год до трьох температур  $T_1$  ( $T_1=1173$ ,  $T_2=1273$  і  $T_3=1373$  К). Вибрана

температура  $T_1=1170$  К, була близької до температури плавлення високотемпературної кристалічної фази дисульфіду германію,  $T_{\text{пл}}=1110$  К [7]. Наступна температура,  $T_2=1270$  К, типова серед технологів температура синтезу дисульфіду германію [7]. Третя вибрана температура розплаву  $T_3=1373$  К відповідала умовам, при яких починається дисоціація елементів структури розплаву. При вказаних температурах  $T_i$  розплав витримувався протягом 10 год і охолоджувався для  $T_1=1173$  К зі швидкістю гартування  $V_1=10^2$  К/с, а для умов  $T_2$  і  $T_3$  -  $V_2=1.5*10^2$  К/с [64].

Плоскопаралельні пластинки для для вимірювань були одержані шляхом різання синтезованого зразка струною з посідуючою шліфовкою заготовок порошками М10 і М5. Поліровка здійснювалась за допомогою алмазного порошку М 0.5.

Енергетична залежність краю власного поглинання досліджувалась методом двох товщин з точністю 10 %. Співвідношення товщин складало 1:3. Різні області  $\alpha(h\nu)$  вимірювались з покрововим зменшенням товщини пластинок.

## 2.2. Дослідження краю власного поглинання

Дослідження частотної залежності краю власного поглинання проводилося з допомогою однопроменевого спектрофотометра СФ-46, який призначений для вимірювання коефіцієнтів пропускання рідких, твердих і прозорих речовин в області від 130 до 1110 нм [98]. В основу його роботи покладений принцип вимірювання відношень двох світлових потоків: потоку, який пройшов через досліджуваний зразок, і потоку, який падає на досліджуваний зразок (або який пройшов через контрольний зразок). Структурна схема спектрофотометра СФ-46 показана на рис. 2.1. Коефіцієнт поглинання розраховувався по вимірюним значенням пропускання  $T$  і відбивання  $R$  за формулою:

$$\alpha = \frac{1}{d} \ln \frac{(1-R)^2 + \sqrt{(1-R)^4 + 4T^2R^2}}{2T}, \quad (2.1)$$

де  $d$  – товщина зразка.

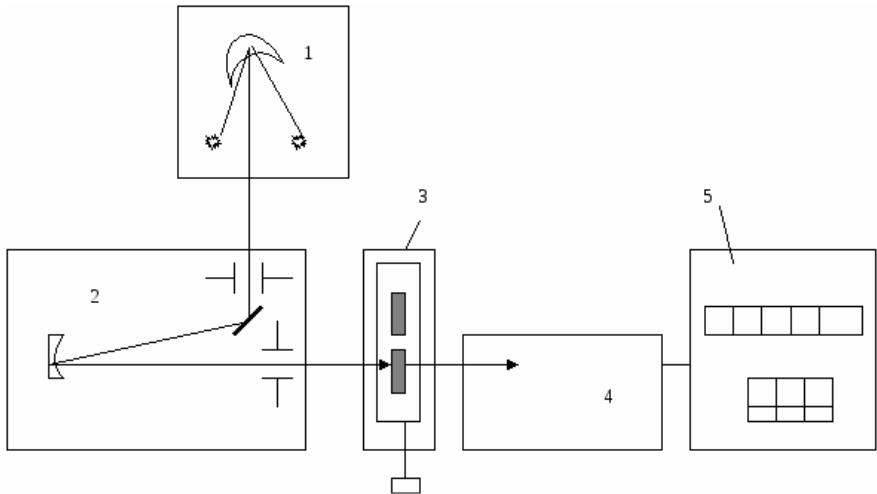


Рис. 2.1. Структурна схема спектрофотометра СФ-46: 1 - освітлювач; 2 - монохроматор; 3 - кюветне відділення; 4 - реєструючо-підсилювальний блок; 5 - мікропроцесорна система.

Для більшості ХСН частотну залежність коефіцієнту поглинання  $\alpha$  на ділянці В описаної співвідношенням (1.3), можна виразити як:

$$\ln \alpha = \Gamma(T) [h\nu - E_g(T)], \quad (2.2)$$

де  $E_g$  – ширина псевдощілини.

Ширина псевдощілини стекол розрізу  $\text{As}_2\text{S}_3\text{-GeS}_2$  ( $E_g$ ) визначалась на рівні поглинання  $\alpha = 5 \cdot 10^3 \text{ см}^{-1}$  з кривих  $\alpha = f(h\nu)$ .

### 2.3. Методика вимірювання мікро-Раман спектрів

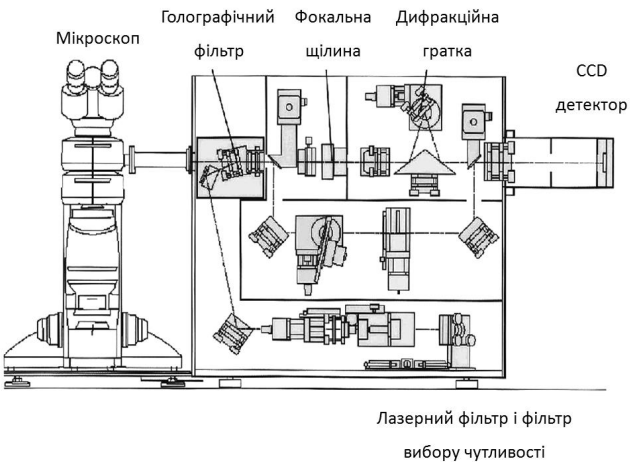


Рис. 2.2. Схема спектрометра Renishaw System.

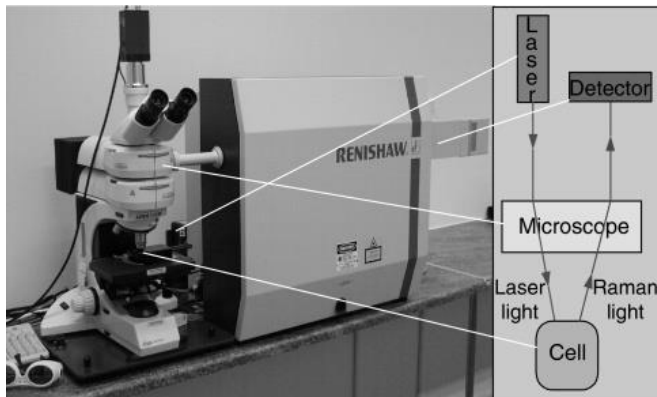


Рис. 2.3. Мікро-раманівський спектрометр. Renishaw 1000 (загальний вигляд).

Для вимірювання мікро-КРС в ХСН використовувались дві системи – Renishaw System 1000 (рис. 2.2, рис.2.3). Спектрометр був обладнаний мікроскопом з набором різних об’єктивів.

Для збудження розсіювання в цьому випадку використовувались кілька типів лазерів: 1) діодний лазер з довжиною хвилі  $\lambda_{36.1} = 785\text{nm}$ . (відповідна енергія фотонів  $E_{36.1} = 1.58 \text{ eB}$ ); 2) Аг-іонний лазер ( $\lambda_{36.2} = 514.5\text{nm}$ ).

#### 2.4. Методика досліджень спектрів фотолюмінесценції

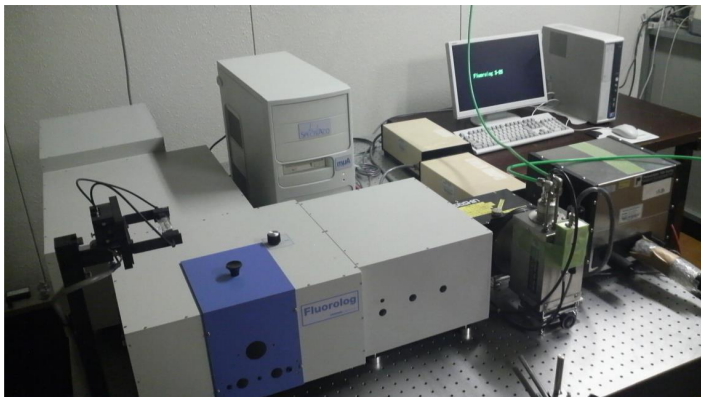


Рис. 2.4. Спектрофлуоріметр Fluorolog FL 3-22 [102].

Спектри фотолюмінесценції досліджувалися на спектрофлуоріметрі "Fluorolog FL 3-22" виробництва фірми "HORIBA Jobin-Yvon Inc." (Франція, <http://www.jobinyvon.com>), яка займає у світі провідні позиції щодо розробки та випуску спектрофлуоріметрів для фундаментальних наукових досліджень. Оптика (схема Черні-Тюрнера) модульного типу спектрофлуоріметру з подвійно-гратковими монохроматорами на збудженні та емісії забезпечує фокусування випромінювання вздовж всієї оптичної шкали і надає точне відображення мікрозразків. Елементна база спектрометру дозволяє використовувати його при високоточних люмінесцентних дослідженнях

Таблиця 2.1

## Основні технічні характеристики спектрофлуориметру Fluorolog FL 3-22

Робочий спектральний діапазон монохроматорів, нм:	
монохроматор збудження	200 - 950
монохроматор випромінювання	200 - 950
Діапазон реєстрації спектрів, нм:	
збудження	200 - 950
випромінювання	200 - 1550
Смуга пропускання збудження та емісії, нм	0 - 15
Розмір кроку, нм	0.0625 - 100
Час накопичення інформації	1 мс - 160 с
Ключові модулі та системи	1.TCSPC - система рахунку час-корельованих одиничних фотонів. 2.Т-канальна оптика дозволяє проводити вимірювання у двох каналах емісії. 3.Фосфоресцентний модуль. 4.Терmostатована (20 - 80 °C) касета для 1×1 см кювети.
Швидкість сканування спектру, нм/с	до 150
Джерела збудження люмінесценції	Без озонова 450 W ксенонова лампа з вентилюванням. Наносекундний УФ світловипромінюючий діод (370 нм).
Детектори емісії	ФЕУ для діапазону 200 - 850 нм, фотодіод DSS-IGA020L (індій-галій арсенід) для діапазону 850 - 1550 нм

зразків у будь-якому їх фізичному стані, як у динамічному, так і кінетичному режимах роботи. Вузькі лінії для збудження спектрів фотолюмінесценції виділялись вузько смуговими фільтрами із суцільного спектру дейтерійової лампи.

## 2.5. Базиси для теоретичних розрахунків коливних спектрів

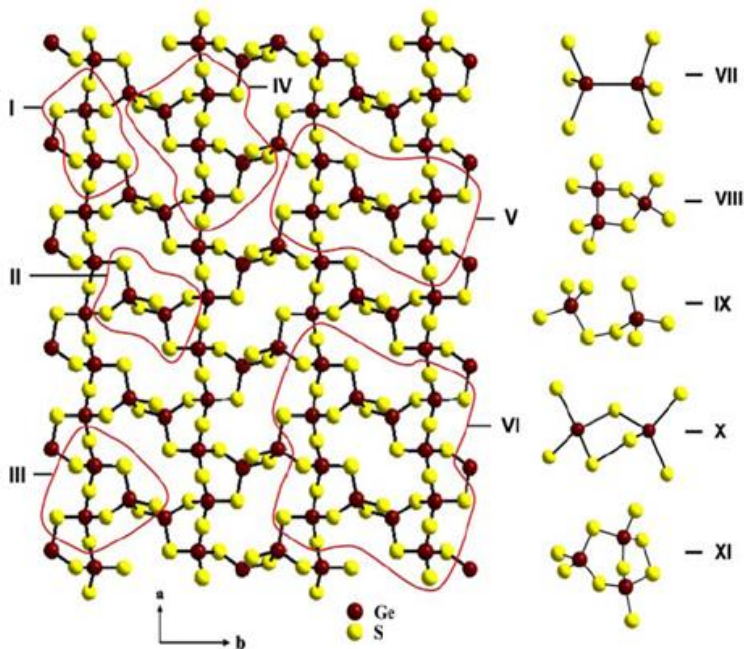


Рис. 2.5. Моношар кристалу  $\beta\text{-GeS}_2$  [7] з виділеними для розрахунків кластерами.

Теоретичні розрахунки проводились методом «*ab initio*» (з перших принципів) з використанням пакету **Gaussian 09** [96,97]. В структурі  $\beta\text{-GeS}_2$  за рахунок повторюваності шарів та зходження атомів по ребру, а не по зв’язку, полегшує розрахунки за рахунок скорочення ступенів вільності (Рис.2.5). На пошук оптимальної геометрії кластерів не накладалось

обмежень по симетрії. Основною вимогою було досягнення мінімуму енергії та стабільності кластерів.

Відомо, що базисний набір – набір функцій, що використовується для побудови молекулярних орбіталей, які представляються як лінійна комбінація цього набору з визначеною вагою та коефіцієнтами [97-99]. Зазвичай цими функціями являються атомні орбіталі, центровані на атомах, хоча іноді функції зосереджуються на зв'язках, на половинних р-орбіталях [98, 99].

Мінімальний базисний набір – складає (дляожної молекули, атома) по одній базисній функції дляожної Хартрі – Фоковської орбіталі, розрахованої для вільного атома [98, 99].

Найчастіше зустрічаються доповнення до стандартного базисного набору – поляризаційні функції, що позначаються (в базисах, розроблених Поплом) з допомогою астериска (\*), в назві базису. Два астериска (\*\*), говорять про те, що поляризаційні функції додані і для легких атомів (He, H). Поляризаційні функції дозволяють враховувати поляризацію орбіталей в молекулі, що пояснюється впливом більш низького по симетрії середовища із інших атомів: оскільки на прикладі для атома водню мінімальний набір включає сферичну 1s-орбіталь, до якої в цьому випадку додаються функції більш низької симетрії — р-орбіталі [97, 100].

Часто до базисів також додають так звані дифузійні функції, помічені в назвах базисів як +, два плюси (++) , позначають той факт, що дифузійні функції додані для легких атомів (H та He) [96].

Було використано кілька різних наборів функціоналів для розрахунку, такі як AM1, B3LYP, PM3, 6-311G\*\* із заданим базисом, та проведене їх порівняння. Кращим з цих методів для обрахунку на даному етапі являється B3LYP, оскільки він враховує електронну кореляцію, за рахунок чого цей метод дає набагато кращі та точніші данні.

## **2.6. Методика досліджень рентгенофотоелектронних спектрів**

Фотоемісійні вимірювання були проведені в лабораторії фізики поверхні кафедри фізики твердого тіла Дебреценського університету на приладі Specs GmbH, Берлін, Німеччина. З метою видалення забруднень поверхня плівок піддавалася Ar-іонному бомбардуванню. Фотоемісійні спектри були одержані із застосуванням Mg K<sub>α</sub> ( $h\nu = 1253.6$  еВ) джерела рентгенівського випромінювання. Рентгенофотоелектронні спектри остаточних рівнів Ge 3d, S 2s, C 1s та O 1s виміряні із роздільною здатністю 1 еВ мультиканальним напівсферичним аналізатором PHOIBOS 100 MCD.



Рис. 2.6. Загальний вигляд вигляд установки (Specs GmbH, Берлін, Німеччина) для вимірювання рентгенофотоелектронних спектрів.

Під час вимірювань спостерігався ефект зарядки поверхні. Для зняття впливу заряду з поверхні використовувалася низькоенергетична гармата. Інтенсивність одержаних РФ-спектрів остаточних рівнів Ge 3d, S 2p, O 1s, and C 1s нормувалося на перерізи фотоіонізації відповідних атомів та енергій [94,95]. Піки основних рівнів були описані за допомогою функції Войта з врахуванням фону типу Ширлі. Для піків дуплету  $3d_{5/2}$  та  $3d_{3/2}$ , утворених внаслідок спін-орбітального розщеплення рівня, відношення інтенсивностей становило 3:2.

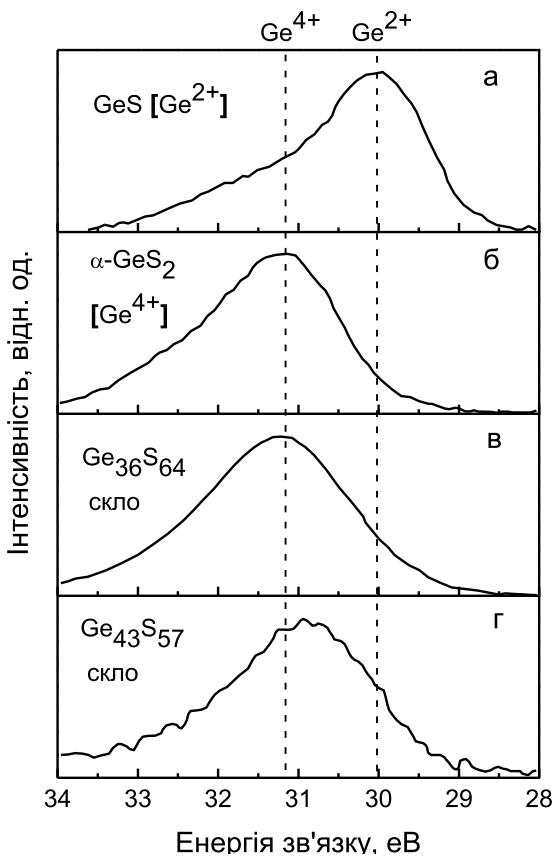
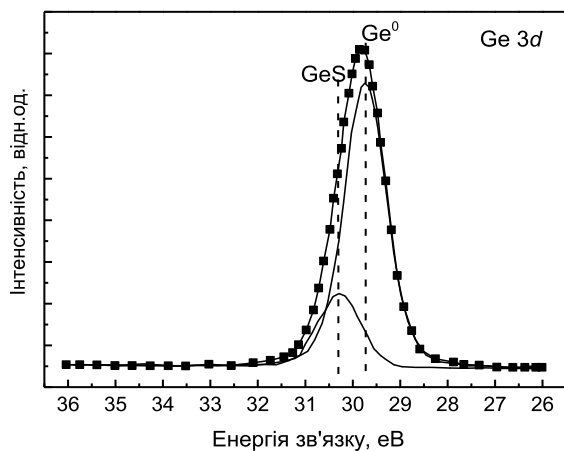
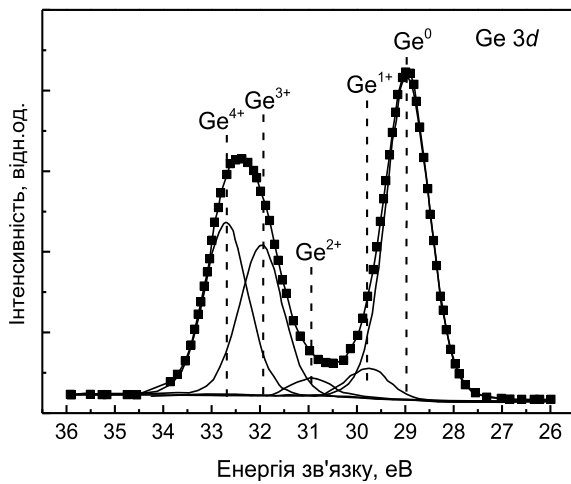


Рис. 2.7. Реперні рентгенофотоелектронні спектри взяті з [101] для стекол Ge-S та високотемпературної фази кристалу  $\beta$ - $GeS_2$



a)



б)

Рис. 2.8. Реперні рентгенофотоелектронні спектри при сульфациї (а) та оксидації (б) кристалічного Ge [89].

При аналізі поверхні досліджуваних об'єктів в якості реперних точок енергій зв'язку використовувалися результати, наведені в розділі 1, а також з даних, представлені на рис. 2.7 та 2.8.

Як реперні, використовувалися положення основних рівнів Ge 3d в с-GeS, яке складає 30.1 eВ (рис. 2.7) [101]. Для чотирьохкоординованого по сірці германію в стеклах системи Ge-S енергія зв'язку складає 31.1 eВ (рис.2.7) [101]. Для кристалічного Ge енергія зв'язку складає 29.0 - 29.6 eВ, рис. 2.8 [89]. Для чотирьохкоординованого по кисню германію енергія зв'язку складає 32.8 eВ, а при зменшенні координації до 3-х в кисневодефіцитних центрах  $\text{GeO}_x$  координація зменшується до 32.0 eВ [89].

## РОЗДІЛ 3

# ВЗАЄМОЗВ'ЯЗОК ОСОБЛИВОСТЕЙ РАМАН СПЕКТРІВ ТЕХНО- ЛОГІЧНО МОДИФІКОВАНОГО $\text{GeS}_2$ ( $\text{T}_i\text{V}_j$ ) ПРИ ПРИРОДНОМУ СТАРІННІ ТА РЕЗУЛЬТАТИВ ТЕОРЕТИЧНИХ РОЗРАХУНКІВ КОЛИВНОГО СПЕКТРУ КІЛЬЦЕВИХ КЛАСТЕРІВ $\text{Ge}_n\text{S}_m$

### 3.1. Моделювання коливних спектрів кластерів $\text{Ge}_n\text{S}_m$ в програмі Gaussian 09

Теоретичні розрахунки коливного спектру кластерів  $\text{Ge}_n\text{S}_m$  проводились методом «ab initio» (з перших принципів) з використанням пакету Gaussian 09. Обірвані зв'язки на атомах насищувались фіктивними атомами водню. На пошук оптимальної геометрії кластерів не накладалось ніяких обмежень по симетрії, основною вимогою було досягнення повного мінімуму енергії та стабільності кластера.

Таблиця 3.1

Середні значення довжин і кутів зв'язків кластерів  $\text{Ge}_n\text{S}_m$  після оптимізації геометрії

Кластер	Середня довжина зв'язку Ge-S, Å	Середнє значення кута, °, S-Ge-S	Середнє значення кута, °, Ge-S-Ge
$\text{Ge}_2\text{S}_7\text{H}_6$	2,222	109,432°	105,233
$\text{Ge}_2\text{S}_6\text{H}_4$	2,217	109,370°	81,818
$\text{Ge}_3\text{S}_9\text{H}_6$	2,257	112,444°	112,508

Представлені в табл. 3.1 розраховані середні значення міжатомних віддалей в лінійному  $\text{Ge}_2\text{S}_7\text{H}_6$  і 4-членному кільцевому кластері  $\text{Ge}_2\text{S}_6\text{H}_4$  із тетраедрів, зв'язаних кутами (рис.3.1), узгоджуються з відстанями Ge-S, які в

кристалі  $\beta$ -GeS<sub>2</sub> становлять 2.19-2.23 Å [102]. Середнє значення 6-членному кільцевому кластері Ge<sub>3</sub>S<sub>9</sub>H<sub>6</sub> довжини зв'язків (табл.3.1.) виявилися дещо вищими - на 0,027-0,067 Å від середніх значень віддалей Ge-S в кристалі  $\beta$ -GeS<sub>2</sub>. Середні значення кута S-Ge-S 109,432° і 109,370° в кластерах Ge<sub>2</sub>S<sub>7</sub>H<sub>6</sub> і кільцевому кластері Ge<sub>2</sub>S<sub>6</sub>H<sub>4</sub> відповідно (табл.3.1.) добре узгоджуються зі значеннями кута 109.47° в ідеальному тетраедрі GeS<sub>4</sub> [65]. В 6-членному кільцевому кластері Ge<sub>3</sub>S<sub>9</sub>H<sub>6</sub> середні значення кута S-Ge-S виявились вищими на 3° від значення цього ж кута в ідеальному тетраедрі GeS<sub>4</sub>. Значення валентних кутів 81,818° Ge-S-Ge в 4-членному кільцевому кластері Ge<sub>2</sub>S<sub>6</sub>H<sub>4</sub> (табл. 3.1.) вказує на напруженій характер зв'язків в тетраедрах, зв'язаних кутами. Подібне мінімальне значення цього кута 82.1° було виявлено і в кристалі  $\beta$ -GeS<sub>2</sub> [7].

Таблиця 3.2

Енергії молекулярних орбіталей Ge<sub>2</sub>S<sub>6</sub>

Метод	Вища зайнята орбіталь (eВ)	Нижча вільна орбіталь (eВ)	Ширина забороненої зони (eВ)	Повна енергія (Хартрі)
AM1	-10.11897	-3.394343	-6.724627	-50.95661341
PM3	-9.925267	-3.992313	-5.932954	-49.88257648
B3LYP	-9.289387	-4.134596	-5.154791	-41.07235291

На початкових стадіях знаходження мінімуму повної енергії кластера використовувались різні методики зокрема AM1, PM3, B3LYP (табл.3.2) ( з допомогою програмного пакету Hyper Chem). Після чого було для вибору оптимального методу проведено тотожні розрахунки в програмному пакеті **Gaussian 09**, проте іншими методиками, такими як B3LYP, BLYP, HSEh1PBE. Розрахунки всіма трьома методиками були проведені для кластерів, представлених на рис.3.1.

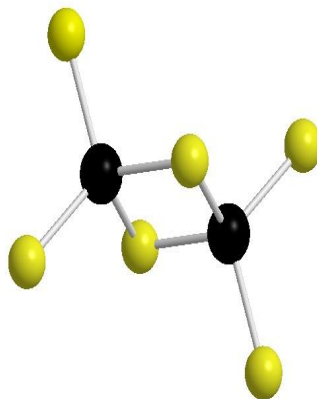
Таблиця 3.3

Енергії молекулярних орбіталей Ge<sub>2</sub>S<sub>7</sub>

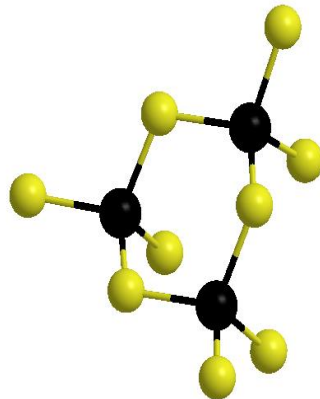
Метод	Вища зайняття орбіталь (eВ)	Нижча вільна орбіталь (eВ)	Ширина забороненої зони (eВ)	Повна енергія, (Хартрі)
AM1	-9.254757	-3.290185	-5.964572	-59.16614678
PM3	-9.142091	-3.784425	-5.357666	-57.92666446
B3LYP	-9.032567	-4.354059	-4.678508	-50.48374577

З таблиць 3.2 і 3.3 видно, що для кластерів Ge<sub>2</sub>S<sub>7</sub> та Ge<sub>2</sub>S<sub>6</sub> різні методики дають зменшення повної енергії утворення кластера. При розрахунку на число атомів в кластері або на число зв'язків Ge-S приведена мінімальна енергія є більшою для 4-членного кластера. Подібна тенденція при розрахунках різного типу кластерів спостерігалась в системі Ge-Se [63], яка є ізоструктурною системою Ge-S. Це дає підстави вважати, що енергетична перевага формування кільцевих двовимірних 2-D кластерів в матриці структури *c*-GeS<sub>2</sub> подібно до *c*-GeSe<sub>2</sub> [63] може бути представлена рядом: 4-6-членні кільця у співвідношенні 1:2; 6-членні кільця тетраедрів GeS<sub>4</sub>, зв'язаних кутами; 4-членні кільця із тетраедрів GeS<sub>4</sub>, зв'язаних ребрами. Поряд з 2-D кристалічною фазою β-GeS<sub>2</sub> у системі Ge-S існує тривимірна (3-D) низькотемпературна фаза α-GeS<sub>2</sub>, у тривимірному каркасі якої зв'язані кутами тетраедри GeS<sub>4</sub> утворюють еліпсоїдально подібні пустоти, до яких примикають 6-членні кільця (рис.3.5) [7].

Хід роботи включив моделювання коливних спектрів кластерів Ge<sub>2</sub>S<sub>6</sub>, Ge<sub>3</sub>S<sub>9</sub> (рис.3.1). Дані отримано з використанням базису LANL2DZ та функціоналу HSEh1PBE, оскільки при розрахунках спостерігалось



a)



(б)

Рис. 3.1. Кластери  $\text{Ge}_2\text{S}_6$ (а),  $\text{Ge}_3\text{S}_9$ (б) без насичення воднем.

добре узгодження з експериментальними результатами по дослідженню Раман спектрів (рис.3.2).

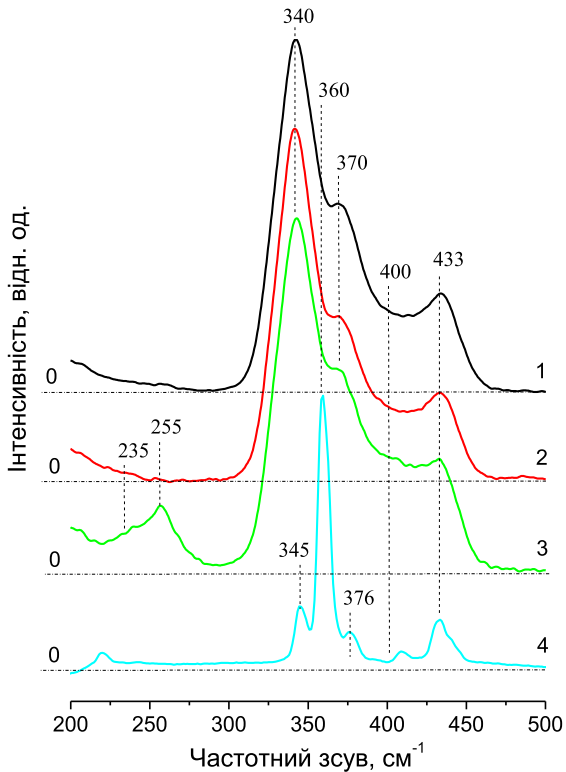


Рис. 3.2. Нерезонансні спектри макро-Раман з Фур’є трансформацією  $c$ -GeS<sub>2</sub> ( $T_1V_j$ ), зняті при довжині хвилі збудження  $\lambda_{36,1}=1064$  нм. (1.17 eВ, Nd:YAG, Bruker IFS 66/FRA 106): 1 -  $T_1V_1$ ; 2 -  $T_2V_2$ ; 3 -  $T_3V_2$ ; 4 -  $\beta$ -GeS<sub>2</sub> [64].

Результати моделювання спектрів 4-членного кластера виконані з використанням функціоналу HSEh1PBE показали, що хоч він і незначно занижував значення частоти, проте дві смуги були дуже близькі до отриманих експериментальних, а саме  $372 \Rightarrow 370 \text{ см}^{-1}$  та  $435 \Rightarrow 433 \text{ см}^{-1}$  (рис. 3.2 - 3.3). Даним функціоналом було проведено розрахунки

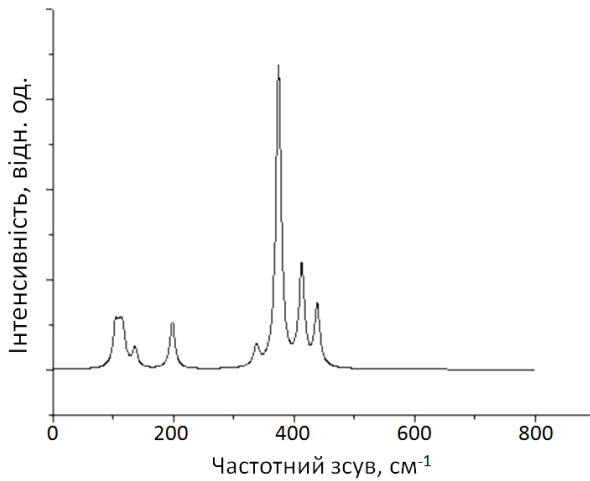


Рис. 3.3. Модельний Раман спектр кластера  $\text{Ge}_2\text{S}_6\text{H}_4$ .

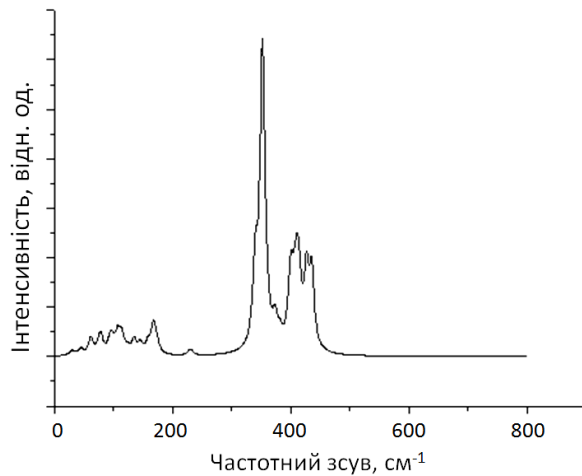


Рис. 3.4. Модельний Раман спектр кластера  $\text{Ge}_3\text{S}_9\text{H}_6$ .

коливного спектру із кількома різними базисними наборами для того щоб обрати оптимальний базисний набір функцій, що дало змогу розрахувати

коливні спектри з максимальним наближенням до експериментального спектру (рис. 3.3, рис. 3.4).

Серед базисних наборів було обрано оптимальний, що підходить для розрахунку LANL2DZ. Подальші розрахунки проведено із функціоналом HSEh1PBE та базисом LANL2DZ.

### 3.2. Взаємозв'язок Раман спектрів $c\text{-GeS}_2(\text{TiV}_j)$ та результатів теоретичного розрахунку коливних спектрів кільцевих кластерів $\text{Ge}_n\text{S}_m$

Як це було виявлено в попередніх роботах [12-17], спільною характеристикою всіх досліджених Раман спектрів склоподібного  $c\text{-GeS}_2$  (рис.3.2.) є інтенсивна смуга при  $340 \text{ cm}^{-1}$ . Цей максимум відповідає коливанням 6-членного кластера, в якому тетраедри зв'язані кутами (рис. 3.1). Він зміщений в низькочастотну область, в порівнянні з положенням основного максимумом ( $360 \text{ cm}^{-1}$ ) Раман спектру кристалічної фази  $\beta\text{-GeS}_2$  (рис. 3.2, крива 5).

При зміні умов синтезу значна трансформація Раман-спектрів  $c\text{-GeS}_2$  була зафікована в області  $200\text{-}300 \text{ cm}^{-1}$  (рис.3.2). Як видно з (рис.3.2) (крива 3), в Раман спектрах  $c\text{-GeS}_2$ , синтезованих від високих температур розплаву ( $T_3=1373 \text{ K}$ ), з'являється досить інтенсивна смуга з максимумом при  $255 \text{ cm}^{-1}$ . Ця смуга виявилась дуже чутливою до умов синтезу стекол і практично не спостерігалась для зразка, синтезованого від температури  $T_2$  (рис.3.2., крива 2). Важливо також відмітити помітну асиметрію смуги при  $255 \text{ cm}^{-1}$  з перегином при  $235 \text{ cm}^{-1}$ . Остання характеристика для коливань атомів в  $c\text{-GeS}$  з потрійною координацією Ge по сірці [64]. Порівняння Раман спектрів стекол  $c\text{-GeS}_2 (\text{TiV}_j)$  ( $i=2\text{-}4, j=1$ ) з Раман спектром  $\beta\text{-GeS}_2$  вказує на те, що близьке положення в Раман спектрах кристалу і стекол  $c\text{-GeS}_2 (\text{TxV}_y)$  мають смуги в Раман спектрі скла  $\sim 370$  і  $433 \text{ cm}^{-1}$ .

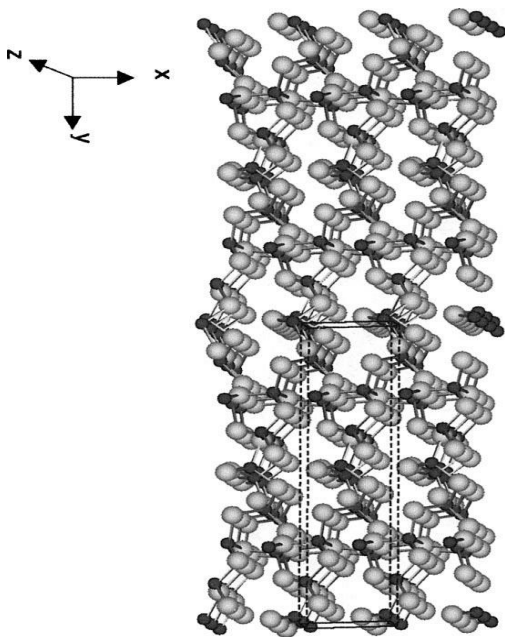


Рис. 3.5. Кристалічна структура низькотемпературної модифікації  $\alpha\text{-GeS}_2$  [7].

Класичні три смуги при  $340$ ,  $370$  і  $433 \text{ cm}^{-1}$  містить скло  $c\text{-GeS}_2$  ( $T_iV_j$ ) при  $i=2$ ,  $j=1$  (рис.1, крива 2). Особливістю Раман спектру скла  $c\text{-GeS}_2$  ( $T_2V_1$ ) при довжині хвилі збудження  $\lambda_{36.1}=1064 \text{ nm}$ . ( $1.17 \text{ eV}$ ) є наявність слабоінтенсивної смуги при  $495 \text{ cm}^{-1}$ , яку зв'язують з наявністю в матриці структури скла невеликої кількості гомеополярних зв'язків S-S [64]. Ця смуга збільшує інтенсивність при використання в якості джерела збудження Раман спектрів, з меншою довжиною хвилі ( $\lambda_{36.4}=514.5$  та  $\lambda_{36.5}=488 \text{ nm}$ .). Резонансна поведінка смуг при  $370$  і  $433 \text{ cm}^{-1}$  виявлена в Раман спектрах стекол  $c\text{-GeS}_2$  ( $T_iV_j$ ) [64] віднесена до коливань атомів  $\text{GeS}_{4/2}$ , з'єднаних ребрами. Раман спектр  $c\text{-GeS}_2$  ( $T_2V_1$ ) нами вибраний для вивчення різницевих спектрів  $c\text{-GeS}_2$  ( $T_iV_j$ ) з поміж усіх досліджених Раман-спектрів стекол  $c\text{-GeS}_2$  ( $T_iV_1$ ) як такий,

що містить смуги, характерні для гомеополярних зв'язків S-S та Ge-Ge, найменшої інтенсивності.

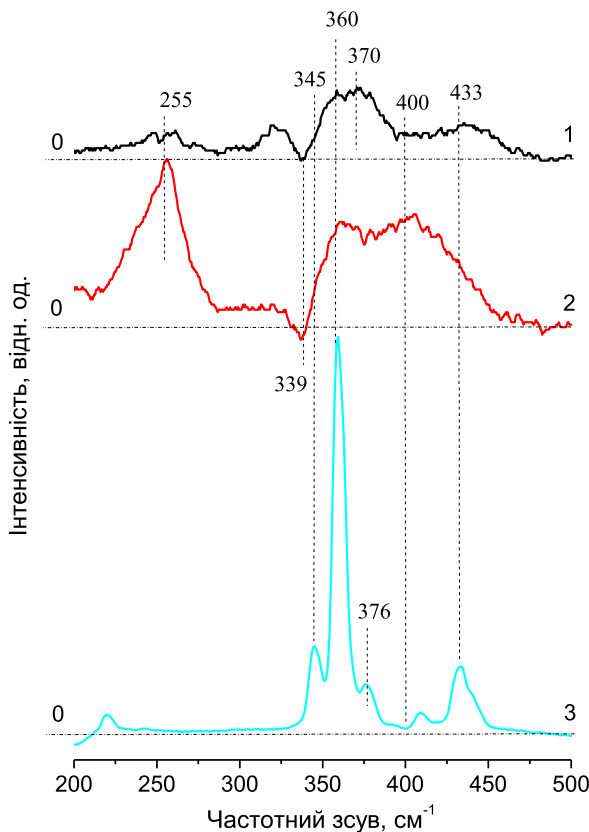


Рис. 3.6. Різницеві Раман спектри побудовані на основі спектрів макро-Раман з Фур'є трансформацією  $c\text{-GeS}_2$  ( $T_1V_j$ ), зняті при довжині хвилі збудження  $\lambda_{36.1}=1064$  нм.: 1 - від кривої  $c\text{-GeS}_2$  ( $T_1V_1$ ) віднято криву  $c\text{-GeS}_2$  ( $T_2V_2$ ); 2 - від кривої  $c\text{-GeS}_2$  ( $T_3V_2$ ) віднято криву  $c\text{-GeS}_2$  ( $T_2V_2$ ); 3 – Раман спектр  $\beta\text{-GeS}_2$ .

З метою проведення достовірної і однозначної інтерпретації спостережуваних смуг та структурних змін у *c*-GeS<sub>2</sub>, які синтезовані від високих температур розплаву, були побудовані різницеві спектри згаданих стекол (рис. 3.6.). Для цього смуги в Раман спектрах було нормовано на коливну моду з максимумом при 340 см<sup>-1</sup>. З рис.3.7. видно, що при T<sub>i</sub> = 1173 К (мінімальна температура від якої велося загартування) у різницевому {IrGeS<sub>2</sub>(T<sub>i</sub>V<sub>1</sub>)-IrGeS<sub>2</sub>(T<sub>2</sub>V<sub>1</sub>)} Раман спектрі зросли інтенсивності смуг при 360, 370, 400 і 433 см<sup>-1</sup>. Легко бачити, що смуга при 360 см<sup>-1</sup> є найбільш інтенсивною в Раман спектрі  $\beta$ -GeS<sub>2</sub> (рис.3.2, крива 4). Розрахунки показали, що цю смугу можна віднести до «дихальних коливань» тетраедрів у шестичленних кільцях Ge<sub>3</sub>S<sub>3+6/2</sub> в кластері 6 (див. рис.2.5), що складається з 4-х шестичленних кілець Ge<sub>3</sub>S<sub>3+6/2</sub> та 2-х чотиричленних кілець Ge<sub>2</sub>S<sub>2+4/2</sub>. Останні 2 кільця зв'язують чотири шестичленні кільця в шаруватий кластер. Analogічно, смуги при 370 і 433 см<sup>-1</sup> можна віднести до коливань Ge-S зв'язків в чотиричленних кілець Ge<sub>2</sub>S<sub>2+4/2</sub> кластера 6 (див. рис. 2.5).

Таким чином отримало подальше підтвердження для дихалькогенідів германію [96], що енергетична перевага формування кільцевих кластерів в матриці структури *c*-GeS<sub>2</sub> може бути представлена рядом: 4- та 6-членні кільця, зв'язані у 2-D кластер (рис.2.5.); 6-членні кільця тетраедрів GeS<sub>4</sub>, 4-членні кільця. Важливо відмітити, що статистичний аналіз кілець в топологічних сітках дозволяє провести аналіз зв'язності матриці структури *c*-GeS<sub>2</sub> [26]. Зростання інтенсивності коливань ~ 400 см<sup>-1</sup> можна зв'язати з появою в структурі скла GeS<sub>2</sub> (T<sub>1</sub>V<sub>1</sub>) «дефектних» 5-членних кільцевих кластерів (рис.2.5., кластер 8), коливання Ge-Ge зв'язків яких чітко видно при 255 см<sup>-1</sup>. В ранніх роботах [16] такі коливання були названі «етаноподібними» (рис.2.5., кластер 7). Розрахунки частоти коливань кластера 6 (рис. 2.5) і структурна інтерпретація різницевого спектру (рис. 3.6, крива 1), зроблені вище, вказують на те, що в структурі скла *c*-GeS<sub>2</sub> (T<sub>1</sub>V<sub>1</sub>,T<sub>3</sub>V<sub>2</sub>) реалізуються 4-6 шаруваті фрагменти високотемпературної фази  $\beta$ -GeS<sub>2</sub>. Зростом температури розплаву до T<sub>3</sub>, відбувається деполімерізація

шаруватих кластерів шляхом відщеплення від 6-членних кілець 4-х членних  $\text{Ge}_2\text{S}_{2+4/2}$ , на що вказує зменшення інтенсивності коливань при  $370$  і  $433 \text{ cm}^{-1}$  (рис. 3.3, криві 2, 3).

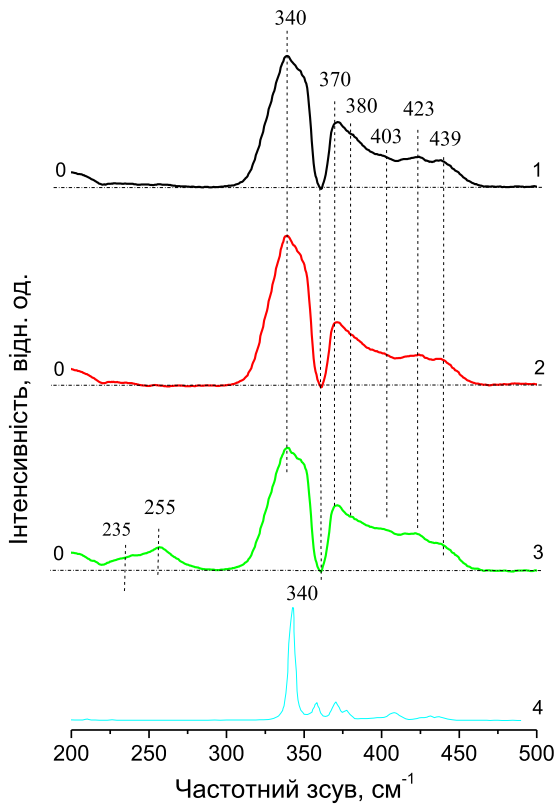


Рис.3.7. Різницеві спектри  $\{\text{I}_{\text{R}}\text{GeS}_2 (\text{T}_2\text{V}_1) - \text{I}_{\text{R}}\beta\text{-GeS}_2\}$  та Раман спектр кристалу  $\alpha\text{-GeS}_2$  [22].

При загартуванні від температур розплаву від  $\text{T}_2$  і  $\text{T}_3$  в різницевих спектрах все чіткіше і синхронно зростає інтенсивність коливних мод, характерних для «дефектних» 5-членних кластерів типу 8 і 10 (рис.3.6.) з гомополярними Ge-Ge (кластер 8) та S-S (кластер 9) зв’язками (рис.2.5). Так

для кластерів типу 8 з Ge-Ge зв'язками (рис.2.5) з ростом температури розплаву одночасно росте інтенсивність смуг  $\sim 250$   $\text{cm}^{-1}$  і в околі  $400$   $\text{cm}^{-1}$  (рис.3.6.). Про наявність утворення S-S зв'язків в кільцевих кластерах типу 11 (рис.2.5) свідчить слабо інтенсивна смуга при  $492$   $\text{cm}^{-1}$ . Особливістю різницевих Раман спектрів  $\{\text{IrGeS}_2(\text{T}_1\text{V}_1)-\text{IrGeS}_2(\text{T}_2\text{V}_1)\}$  є наявність смуги  $\sim 339$   $\text{cm}^{-1}$  (див. рис.3.6), що є найбільш інтенсивною в Раман спектрі низькотемпературної кристалічної фази  $\alpha$ -GeS<sub>2</sub> (рис.3.5.) [22,24,25]. Для  $\text{T}_3=1373$  К інтенсивність цієї смуги в різницевих спектрах  $\{\text{IrGeS}_2(\text{T}_1\text{V}_1)-\text{IrGeS}_2(\text{T}_2\text{V}_2)\}$  максимальна. Незначний низькочастотний зсув максимуму, характерного для низькотемпературної фази  $\alpha$ -GeS<sub>2</sub>, спостерігався при високотемпературних спектроскопічних дослідженнях  $c$ -GeS<sub>2</sub> [25]. Експериментально виявлений зсув максимуму в область менших частот можна зв'язати з впливом температур розплаву, від якого велося загартування, що можливо приводило до розвалу кільцевих кластерів і спричиняло утворення ланцюгових кластерів. На користь такого припущення може свідчити той факт, що структура кристалу  $\alpha$ -GeS<sub>2</sub> містить два набора ланцюгів [7, 107], що формують складний тривимірний каркас. В цьому каркасі 24 зв'язані кутами тетраедри утворюють еліпсоїдально подібні пустоти, до яких примикають 6-членні кільця [7]. Виконані нами розрахунки коливань ланцюгів Ge<sub>n</sub>S<sub>m</sub>, в яких ребра тетраедрів продовжують один одного в ланцюгах, подібно до того як це спостерігається в  $\alpha$ -GeS<sub>2</sub> [7], показали, що в коротких ланцюгах Ge<sub>3</sub>S<sub>6</sub> коливання зв'язків Ge-S спостерігаються  $\sim 330$   $\text{cm}^{-1}$ .

Наявність в Раман спектрах коливної смуги при  $340$   $\text{cm}^{-1}$ , характерної для  $\alpha$ -GeS<sub>2</sub> в склоподібних зразках  $c$ -GeS<sub>2</sub>, в різницевих спектрах  $\{\text{IrGeS}_2(\text{T}_1\text{V}_1)-\text{Ir}\beta\text{-GeS}_2\}$  та Раман спектрі  $\alpha$ -GeS<sub>2</sub> (рис. 3.7) може свідчити, що зародки, характерні для фази  $\alpha$ -GeS<sub>2</sub>, формуються в склі в процесі гартування розплаву. Наявність в різницевих Раман спектрах  $c$ -GeS<sub>2</sub> ( $\text{T}_1\text{V}_1$ ) смуг, характерних для коливань кластерів як для 3-D так і для 2-D кристалічних фаз, може свідчити, що середній порядок в  $c$ -GeS<sub>2</sub> формується як

шаруватоподібними 2-D кластерами високотемпературної фази, так і 3-D кластерами низькотемпературної фази. Оскільки наявність кластерів в матриці структури стекол ототожнюється із середнім порядком [15], то в цьому сенсі можна говорити про його змішаний характер середнього порядку в стеклах  $\text{GeS}_2$  ( $\text{T}_i\text{V}_j$ ) [105].

### 3.3. Дослідження структури близнього порядку стекол $\text{GeS}_2$ ( $\text{T}_i\text{V}_j$ ) методом мікро-Раман спектроскопії при природному старінні

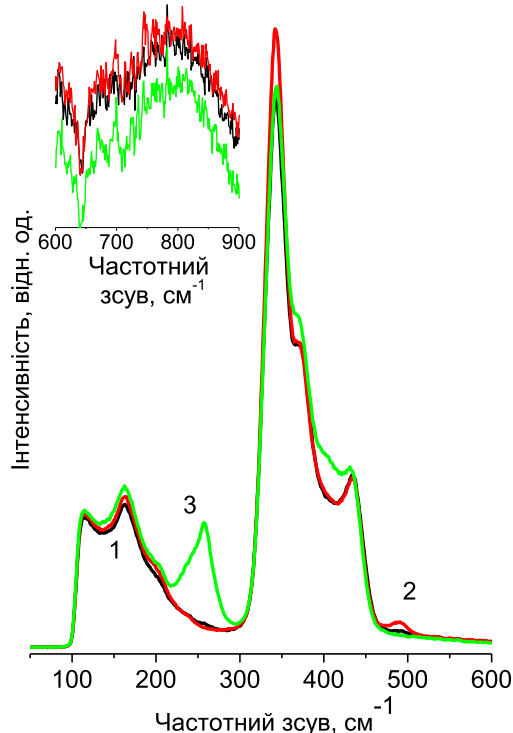


Рис. 3.8. Раман спектри поверхні стекол  $c\text{-GeS}_2$  ( $\text{T}_i\text{V}_j$ ), зняті при довжині хвилі збудження  $\lambda_{362}=750$  нм. На вставці фрагмент спектру в області коливань диоксиду германію: 1 -  $\text{T}_1\text{V}_1$ ; 2 -  $\text{T}_2\text{V}_2$ ; 3 -  $\text{T}_3\text{V}_2$ .

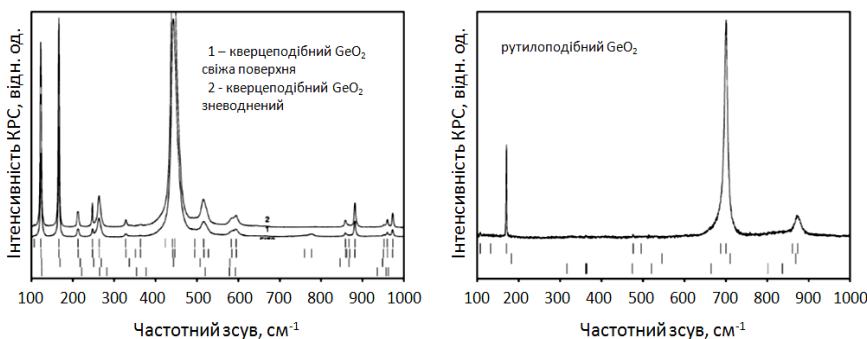


Рис. 3.9. Раман спектри кристалічного  $\text{GeO}_2$  кварцоподібного і рутилоподібного типів [87].

При 10 річному зберіганні стекол в Раман спектрах, представлених на (рис. 3.11), виявлено відмінності в порівнянні з макро-Раман з Фур’є трансформацією  $c\text{-GeS}_2$  ( $T_1V_j$ ) (рис.3.2). На вставці рис. 3.8. чітко видно, що в області коливань діоксиду германію [87] присутні слабоінтенсивні смуги від 650 до 900  $\text{cm}^{-1}$ , типові для кварцоподібної і аморфної фаз діоксиду германію (рис.3.9), що вказує на оксидацію поверхні при тривалому зберіганні стекол (порядку 10 років). В диференційних спектрах (рис. 3.6) найбільш інтенсивна смуга валентних коливань  $q\text{-GeO}_2$  при 440  $\text{cm}^{-1}$  (рис.3.9) накладається на коливання атомів в кластерах на основі с.о.  $\text{GeS}_4$ , зв’язаних по ребру (див. рис. 2.5) і не може бути виділена і однозначно інтерпретована.

Процес старіння з виділення в матриці структури стекол, більш щільних кластерів, характерних для низькотемпературної фази  $\alpha\text{-GeS}_2$ , не зафіковано в Раман спектрах (рис.3.10.), одержаних шляхом віднімання кривої  $c\text{-GeS}_2$  ( $T_1V_1$ ;  $\lambda_{\text{зб}}=1064$  нм), рис. 3.2, від кривої  $c\text{-GeS}_2$  ( $T_1,V_1$ ;  $\lambda_{\text{зб}}=750$  нм), рис. 3.10. З рис. 3.10 чітко видно, що в Раман спектрах стекол  $c\text{-GeS}_2$  ( $T_1V_j$ ) при природному старінні протягом 10 років та свіжосинтезованих не спостерігається суттєвих відмінностей між їх спектрами, які б свідчили про

відмінність їх структури і змін в напрямку збільшення частки кластерів низькотемпературної  $\alpha$ -GeS<sub>2</sub>, як це прогнозувалося в теорії

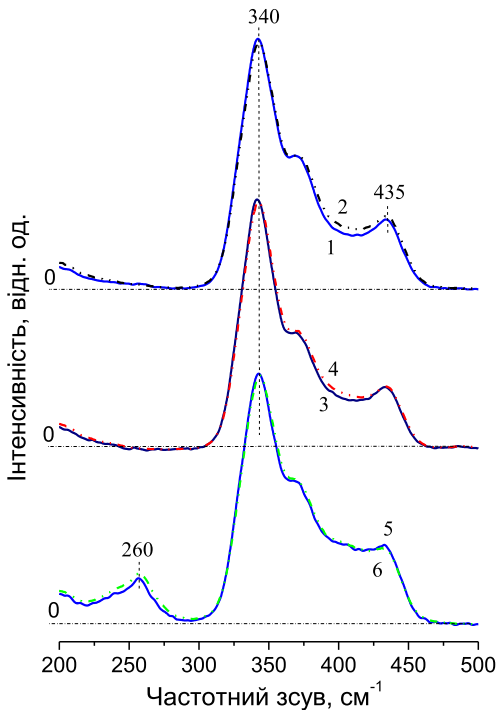


Рис 3.10. Раман спектри побудовані на основі обєднання спектрів свіже синтезованих стекол та стекол після 10-річного зберігання:  
 (1,2) - крива c-GeS<sub>2</sub> ( $T_1, V_1; \lambda_{36}=1064$  нм) та c-GeS<sub>2</sub> ( $T_1, V_1; \lambda_{36}=750$  нм);  
 (3,4) – крива c-GeS<sub>2</sub> ( $T_2, V_2; \lambda_{36}=1064$  нм) та крива c-GeS<sub>2</sub> ( $T_2, V_2; \lambda_{36}=750$  нм);  
 (5,6) - в крива c-GeS<sub>2</sub> ( $T_3, V_2; \lambda_{36}=1064$  нм) та крива c-GeS<sub>2</sub> ( $T_3, V_2; \lambda_{36}=750$  нм).

наногетероморфного склоутворення. Особливістю мікро-Раман спектрів *c*-GeS<sub>2</sub> ( $T_iV_j$ ) при природному старінні є наявність смуг в області 700 - 800  $\text{cm}^{-1}$ , характерних для GeO<sub>2</sub> (рис. 3.8) [103-105].

Одним із чутливих методів дослідження поверхні твердих тіл є методи рентгенофотоелектронної спектроскопії та фотолюмінесценції, що і може додатково підтвердити проведене віднесення Раман спектру до коливань атомів в оксидних фазах, одержаного з поверхні стекол.

### 3.4. Спектри фотолюмінесценції технологічно модифікованого GeS<sub>2</sub> при температурі рідкого азоту

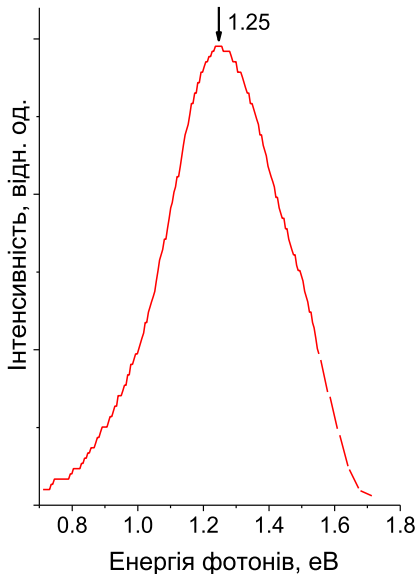


Рис. 3.11. Спектри фотолюмінесценції технологічно модифікованого GeS<sub>2</sub> (T<sub>2</sub>V<sub>2</sub>), зняті при температурі рідкого азоту.

На рис. 3.12 представлений спектр фотолюмінесценції *c*-GeS<sub>2</sub> (T<sub>2</sub>V<sub>2</sub>) при температурі рідкого азоту. Центр спектру ФЛ розташований при енергії, значно меншої оптичної ширини забороненої зони, і близький до значення половині ширини забороненої зони (енергії активації провідності на

постійному струмі). За даними по ФЛ склоподібного дисульфіду германію, синтезованого при найбільш вживаних в світовій літературі умовах  $T_2V_2$ , ми визначали положення максимуму ( $E_{\text{макс.}} = 1.25$  еВ) при температурі рідкого азоту. Положення максимуму ФЛ узгоджується з даними, приведеним в [29].

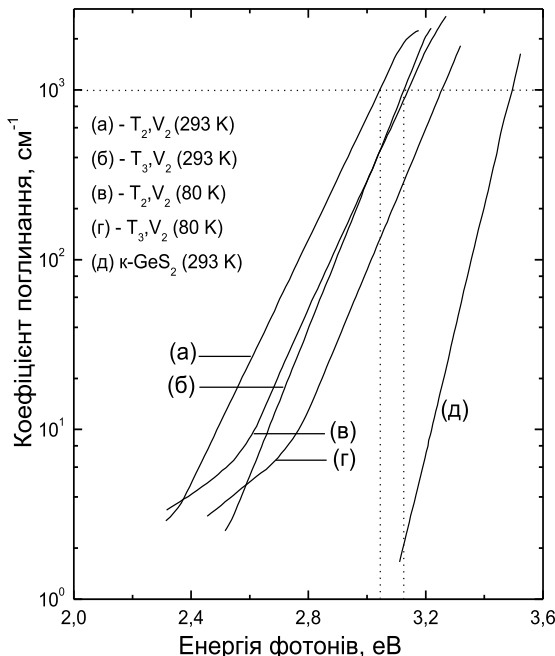


Рис. 3.12. Вплив умов синтезу на край власного поглинання *c*-GeS<sub>2</sub>: а, в – ( $T_2V_2$ ) і б, г – ( $T_3V_2$ ). Спектри зняті при кімнатній (293 К) і азотній (80 К) температурах. Край поглинання кристалічного  $\beta$ -GeS<sub>2</sub> (д) приведений для порівняння [64].

Спектр ФЛ має відносно широкий максимум (рис. 3.12). Чітко вираженою властивістю досліджуваного скла є те, що спектр люмінесценції лежить в області енергій, де поглинання відсутнє (рис. 3.13). Особливістю ФЛ є те, що інтенсивність рекомбінації, нарощає і спадає поступово внаслідок розмиття зонних країв. Очевидно, що надлишкові носії, перш ніж

рекомбінувати, займають область локалізованих станів. При певному ступені локалізації і електрон-фононної взаємодії структурна сітка може деформуватись навколо вузла, зайнятого електроном (або діркою), що веде до зниження повної енергії. Така граткова релаксація є причиною стоксівського зсуву смуги люмінесценції відносно зонного краю. Порівнюючи результати за оптичним поглинанням (рис.3.13) та фотолюмінесценцією при азотній температурі (рис.3.12) видно, що поглинання в області смуги люмінесценції практично відсутнє, а спектр люмінесценції рівний приблизно половині ширини оптичної щілини  $E_0(\text{GeS}_2) = 3.2 \text{ eV}$ . Спектри ФЛ в XCH зв'язують з переходами між хвостами густини станів в псевдозабороненій зоні (рис.3.13) [37].

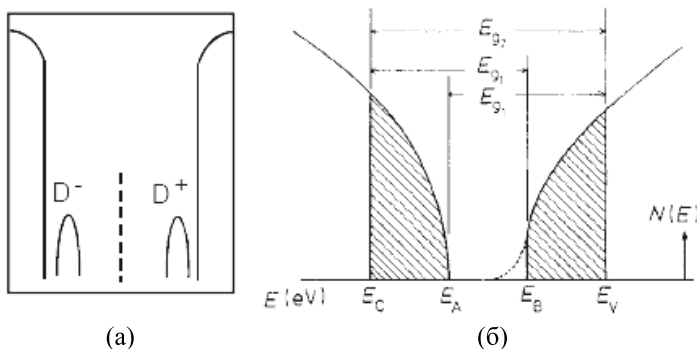


Рис. 3.13. Модельне представлення станів в забороненій зоні утворених зарядженими  $D^-$  і  $D^+$  дефектами (а) та модель Мотта-Девіса для густини станів  $N(E)$  аморфних матеріалів ( $\Delta E_{g2} = E_C - E_V$  – ширина забороненої зони кристалу, а  $\Delta E_0 = E_A - E_B$  – псевдощілина аморфного матеріалу) [37].

Р. Стрітом і Н. Моттом [36] та М. Каствером [35] були запропоновані моделі заряджених дефектів та недо- і пере-координованих пар (VAP – valence alternation pair). Такі локальні заряджені дефекти є діамагнітними парами з порушенням атомною координацією, яка передбачає порушення повної ковалентної зв'язності сітки скла (тобто правила Юм-Розері) [37]. В

рамках цієї моделі обірваний хімічний зв'язок у структурі неорганічного полімеру (D-центр) може знаходитись в нейтральному або зарядженному станах. Нейтральний D<sup>0</sup>-центр характеризується одним неспареним електроном і відповідальний за індукований електронний парамагнітний резонанс (ЕПР). Наявність двох спарених електронів визначає заряджений D<sup>+</sup>-центр, а недостача валентного електрона – D<sup>+</sup>-центр. Ці дефекти можуть виникати при переключенні хімічних зв'язків попарно, зберігаючи загальну електроннейтральність. Такі дефекти можуть формувати неперервний спектр локалізованих станів у псевдошіліні XCH, пояснюючи її зменшення, порівняно з шириною забороненої зони відповідних кристалів [37,65]. Модель VAP є загальноприйнятою моделлю дефектів в XCH, яка з успіхом використовується для пояснення фотолюмінесценції у цих матеріалах [64]. Разом з тим, ця модель не пояснює ряд експериментальних фактів (зокрема завищене значення першого координаційного числа в аморфних матеріалах порівняно з відповідними кристалами) [7].

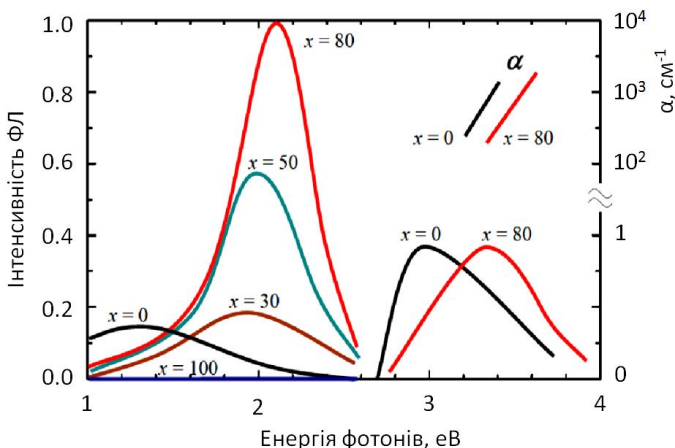


Рис. 3.14. Спектри фотолюмінесценції, край поглинання та спектри збудження фотолюмінесценції стекол розрізу GeS<sub>2</sub>-GeO<sub>2</sub> [86].

В кластерному наближенні енергетична щілина кластерів  $\text{Ge}_n\text{S}_m$  в [66] була оцінена двома методами (табл. 3.2). В [66] приведена сумарна енергетична діаграма МО кластерів  $\text{Ge}_n\text{S}_m$  та схематична ілюстрація псевдощілини ( $E_0 \approx 3.2$  eВ) і густини локалізованих станів  $\rho(E)$  для  $c\text{-GeS}_2$ . Густина станів  $\rho(E)$  для стекол як у валентній зоні, так і у зоні провідності може бути змодельована шляхом варіації положень HOMO і LUMO рівнів при утворенні фрагментів з "неправильними" (Ge-Ge, S-S) зв'язками та при зміні типу з'єднання тетраедрів [66]. Зменшення значень енергетичної щілини спостерігається також при утворенні потрійно координованих структур, типу  $\text{SGe}_{3/3}$ . Енергетичне положення рівнів кластерів  $\text{Ge}_n\text{S}_m$  не проявляється у спектрах фотолюмінесценції  $c\text{-GeS}_2$ , представленого на рис. 3.11.

Таблиця 3.2

Значення енергетичної щілини кластерів  $\text{Ge}_n\text{S}_m$ , розраховані через енергії HOMO і LUMO станів ( $\Delta E_{g1}$ ) (BLYP/6-311G\*) та як різниці між енергією основного і першого збудженого стану ( $\Delta E_{g2}$ ) (TD-BLYP/6-311G\*) [66].

Кластер	$\Delta E_{g1}$ (eB)	$\Delta E_{g2}$ (eB)	Кластер	$\Delta E_{g1}$ (eB)	$\Delta E_{g2}$ (eB)
$\text{GeS}_{4/2}$	3.43	3.60	$\text{SGe}_{3/3}$ - $\text{S}_{6/3}$	2.89	3.08
$\text{Ge}_2\text{S}_{1+6/2}$	3.15	3.23	$\text{GeS}_{3/3}$	3.96	4.46
$\text{Ge}_2\text{S}_{2+4/2}$	2.99	3.08	$\text{Ge}_2\text{S}_6$ (S-S)	1.71	1.74
			$\text{Ge}_2\text{S}_{2+6/2}$ (S-S)	2.99	3.16
$\text{Ge}_2\text{S}_{6/2}$	2.87	3.20	$\text{Ge}_3\text{S}_{3+6/2}$	2.97	3.01
$\text{SGe}_{3/3}$	2.72	2.89	$\text{Ge}_3\text{S}_{5+4/2}$ (S-S)	2.31	2.43

Як видно з рис. 3.14 формування окисної окисної фази  $\text{GeO}_2$  в матриці структури оксисульфідів германію германію  $\text{GeS}_2\text{-}\text{GeO}_2$  призводить до появи додаткових смуг у спектрах фотолюмінесценції [28] при  $x=30$ . Для цього складу у спектрі ФЛ при збудженні енергією 3.03 eВ з'являється смуга  $\sim 2.0$  eВ. Зростом  $x$  цей максимум зсувається до 2.2 eВ ( $x=80$ ). При  $x=0$  для чистого  $\text{GeS}_2$  положення максимуму рівне 1.3 eВ і цілком узгоджується з положенням максимуму у спектрах фотолюмінісценції  $\text{GeS}_2$  (рис.3.11) при збудженні прожекторною лампою. Це означає, що при фотолюмінесценції з об'єму  $\text{GeS}_2$ , смуги ФЛ характерні для окисної фази  $\text{GeO}_2$ , як для зразків  $\text{GeS}_2$  вимірюваних в даній роботі так і для зразків, описаних в літературі, не проявляються [106-108].

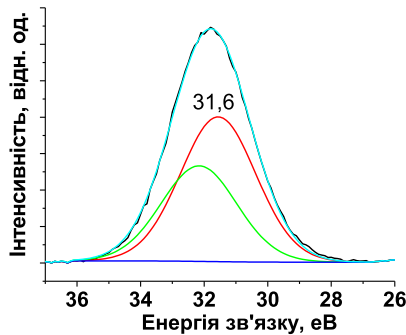
## **РОЗДІЛ 4**

### **РЕНТГЕНОФОТОЕЛЕКТРОННІ СПЕКТРИ ТА СПЕКТРИ ФОТОЛЮМІНЕСЦЕНЦІЇ ПРИ ЗМІНІ ЕНЕРГІЇ ЗБУДЖЕННЯ ПРОМИСЛОВИХ ПОРОШКІВ $\text{пп-GeO}_2$ , КРИСТАЛІВ $\beta\text{-GeS}_2$ ТА $\text{GeS}$ ТА ТЕХНОЛОГІЧНО МОДИФІКОВАНОГО СКЛА $\text{GeS}_2$**

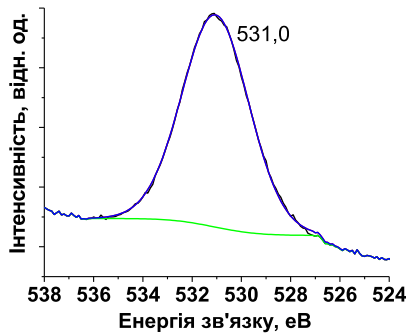
**4.1. Рентгенофотоелектронні спектри та спектри фотолюмінесценції в інфрачервоній, видимій та ультрафіолетовій частинах спектру промислових порошків  $\text{пп-GeO}_2$ , кристалів  $\beta\text{-GeS}_2$  та  $\text{GeS}$  при зміні енергії збудження**

#### **4.1.1. Рентгенофотоелектронні спектри промислових порошків $\text{пп-GeO}_2$**

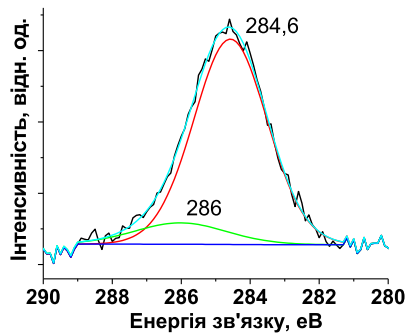
На рис. 4.1 показано як змінюється інтенсивність XPS сигналу в  $\text{Ge3d}$ ,  $\text{O1s}$ ,  $\text{C1s}$  спектрах промислових порошків  $\text{GeO}_2$ . Аналіз складу приповерхневих шарів з глибини до 3 нм показав, що поверхня спресованих в таблетку порошків  $\text{GeO}_2$  складається з 21,6 % Ge, 73,4 % O s i 5% вуглецю. Дослідження спектрів  $\text{C1s}$  вуглецю (рис.4.1.) вказує, що у відсотковому співвідношенні в спектр дають вклад такі структурні одиниці як: C-C (енергія зв'язку 284.6 eB), C-O, (286.0 eB). Енергетичне положення максимуму  $\text{O1s}$  спектру (531 eB) вказує на те, що він займає положення характерне для енергії зв'язку O-H [95, 103]. Енергетичне положення максимуму  $\text{Ge3d}$  при 31.6 eB характерне для субстехіометричного оксиду  $\text{GeO}_x$  [94].



a)



б)



в)

Рис. 4.1. Ренгенофотоелектронні спектри Ge3d (а), O1s (б) та C1s (в) пресованих порошків пп-GeO<sub>2</sub>.

#### 4.1.2. Спектри фотолюмінесценції промислових порошків пп- $\text{GeO}_2$ при різних енергіях збудження

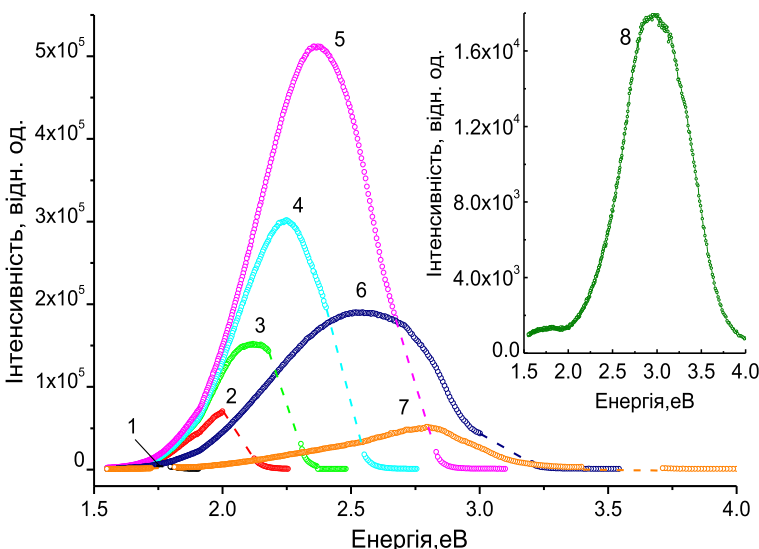


Рис. 4.2. Спектри фотолюмінесценції промислових порошків  $\text{GeO}_2$  при різних енергіях (довжинах хвиль) збудження, знятих при однаковій інтенсивності збуджуючого випромінювання: 1 -  $E_{\text{36}} = 1.77$  еВ ( $\lambda_{\text{36.}} = 700$  нм); 2 -  $E_{\text{36.}} = 2.07$  еВ ( $\lambda_{\text{36.}} = 600$  нм); 3 -  $E_{\text{36.}} = 2.25$  еВ ( $\lambda_{\text{36.}} = 550$  нм); 4 -  $E_{\text{36.}} = 2.48$  еВ ( $\lambda_{\text{36.}} = 500$  нм); 5 -  $E_{\text{36.}} = 2.75$  еВ ( $\lambda_{\text{36.}} = 450$  нм); 6 -  $E_{\text{36.}} = 3.10$  еВ ( $\lambda_{\text{36.}} = 400$  нм); 7 -  $E_{\text{36.}} = 3.54$  еВ ( $\lambda_{\text{36.}} = 350$  нм); 8 -  $E_{\text{36.}} = 4.59$  еВ ( $\lambda_{\text{36.}} = 270$  нм).

Для розширення відомостей і подальшого використання даних про положення максимумів у спектрах ФЛ  $q\text{-GeO}_2$  при різних енергіях (довжинах хвиль) збудження вперше досліджені спектри ФЛ промислових порошків пп- $\text{GeO}_2$ , що містять кварцеподібну  $q\text{-GeO}_2$  фазу (рис. 4.2). Виявлено початок росту ФЛ  $\sim 1.60$  еВ при низькоенергетичному збудженні ( $E_1=1.77$  еВ, 700 нм). З ростом енергії збудження спостерігається подальше нарощання

інтенсивності ФЛ  $\sim 1.85, 1.95$  eВ (рис.4.2). Виявлено добру узгодженість спектрального положення виявлених смуг при 1.6, 1.85 і 1.95 eВ у спектрах ФЛ пп- $\text{GeO}_2$  з результатами квантово-механічних розрахунків емісії дефектів  $-\text{OGeX}_3$  ( $\text{X}=\text{OGeH}_3$ ) [49].

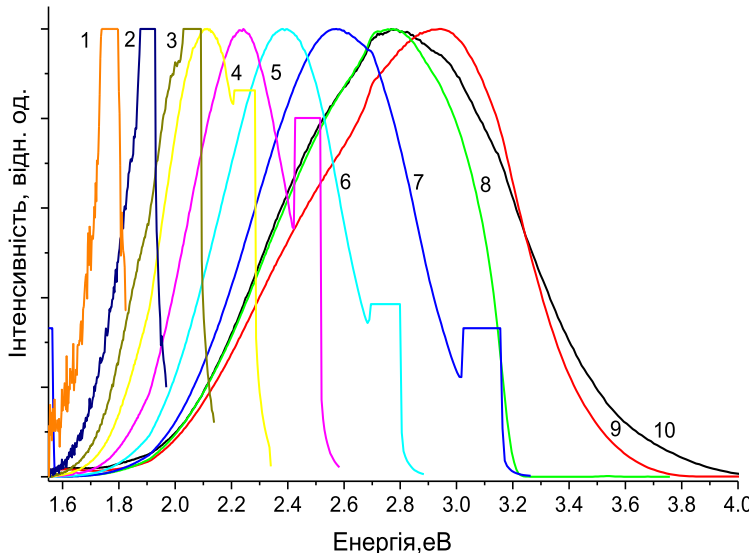


Рис. 4.3. Нормовані спектри фотолюмінесценції промислових порошків  $\text{GeO}_2$  при різних енергіях (довжинах хвиль) збудження, зняті при однаковій інтенсивності збуджуючого випромінювання: 1 -  $E_{3\beta} = 1.77$  eВ ( $\lambda_{3\beta} = 700$  нм); 2 -  $E_{3\beta} = 1.90$  eВ ( $\lambda_{3\beta} = 650$  нм); 3 -  $E_{3\beta} = 2.07$  eВ ( $\lambda_{3\beta} = 600$  нм); 4 -  $E_{3\beta} = 2.25$  eВ ( $\lambda_{3\beta} = 550$  нм); 5 -  $E_{3\beta} = 2.48$  eВ ( $\lambda_{3\beta} = 500$  нм); 6 -  $E_{3\beta} = 2.75$  eВ ( $\lambda_{3\beta} = 450$  нм); 7 -  $E_{3\beta} = 3.10$  eВ ( $\lambda_{3\beta} = 400$  нм); 8 -  $E_{3\beta} = 3.54$  eВ ( $\lambda_{3\beta} = 350$  нм); 9 -  $E_{3\beta} = 4.13$  eВ ( $\lambda_{3\beta} = 300$  нм); 10 -  $E_{3\beta} = 4.59$  eВ ( $\lambda_{3\beta} = 270$  нм).

Нормалізовані спектри фотолюмінесценції представлені на рис.4.3. Початок росту фотолюмінесценції було виявлено  $\sim 1.6, 1.85, 1.95$  eВ (рис.4.2, рис. 4.3), а чіткі максимуми зафіксовано для смуг при 2.12, 2.25, 2.37, 2.55,

2.7, 2.8, 2.95 еВ [108-111]. З представлення енергетичної залежності положення максимуму ФЛ від енергії збуджуючих фотонів (рис. 4.3) чітко видно, що всі максимуми від 2.12 до 2.8 еВ лягають на пряму лінію. Чи може це свідчити про однакову природу цих смуг?

Максимум ФЛ в області 2.1-2.5 еВ (рис. 4.6) є типовим у спектрах ФЛ діоксиду германію з дефектами при енергіях збудження до 3.5 еВ [85]. Необхідною умовою його виникнення в нанокристалічному Ge (nc-Ge) є наявність вологого середовища [49]. З ростом часу витримки nc-Ge у вологому середовищі інтенсивність ФЛ в області 2.2-2.3 еВ зростає [84]. Результати моделювання [49] вказують на те, що максимум при 2.1 еВ можна віднести до комбінованого дефекту на основі поверхневого E' - центру и кисневої вакансії (E'-OV) (рис. 4.8), в якому один з містків A-O-A замінений прямим зв'язком A-A (система X<sub>3</sub>A-AX<sub>2</sub>).

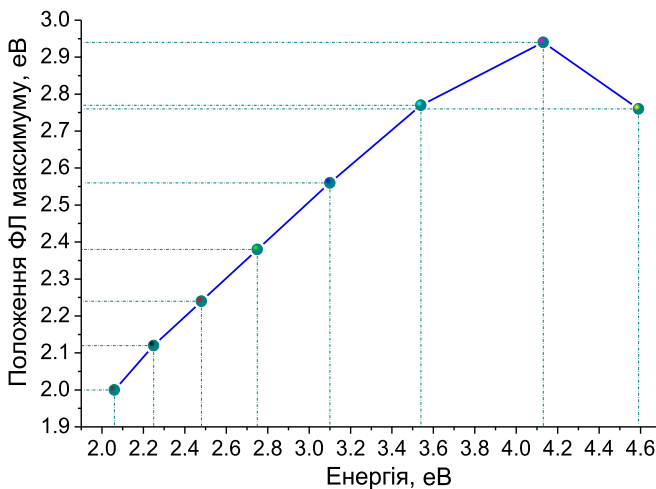


Рис. 4.4. Енергетична залежність положення максимуму ФЛ від енергії збуджуючих фотонів у спектрах ФЛ промислових порошків GeO<sub>2</sub>.

Такий дефект формує смуги поглинання в кристалі діоксиду германію в області 4 еВ і трохи вище 5-ти еВ [94]. В цілому кристалічна решітка оксидів германію з близькою до кварцу структурою або відповідних стекол складається з зв'язаних через атоми кисню тетраедрів  $\text{GeO}_4$  [94]. При розрушенні твердого тіла мостики  $\equiv\text{Ge}-\text{O}-\text{Ge}\equiv$  розриваються, формуючи на поверхні дефекти з немостиковим киснем і поверхневі Е'-центрі, окиснення яких призводить до виникнення пероксидних радикалів (рис. 4.5). Крім того, на поверхні даних оксидів існують також дефекти з двократно координированими атомами германію, які утворюють при окиснені структури  $\text{O}_2\text{A}<$ . Насамкінець, подвоєні поверхневі OH-групи при відпалі відщепляють воду з утворенням дефектів  $\text{O}=\text{A}<$  (рис. 4.5.).

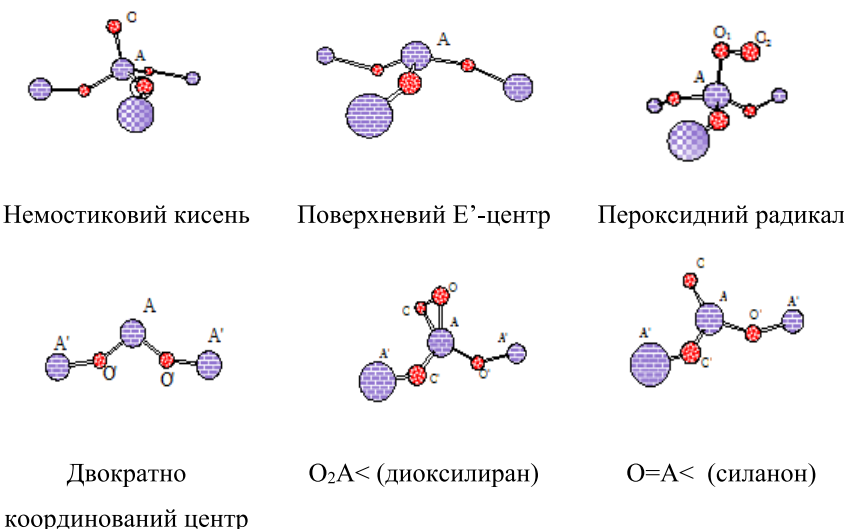


Рис. 4.5. Дефекти, що формуються в оксидах германію [49].

Таким чином, згідно [49], природа емісійних центрів у інфрачервоній та видимій частинах від 1.5 до 2.0 еВ може бути віднесена до немостикового

кисню, та поверхневих Е'-центрів, а з енергією ~ 2.1 еВ - до комбінованого дефекту на основі поверхневого Е' - центру и кисневої вакансії (Е'-OV) (рис.4.5). В наших дослідженнях виявлена смуга ~ 3,0 еВ (рис. 4.5), яка на енергетичній залежності положення максимумів ФЛ (рис. 4.7) в області високих енергій збудження відхиляється від лінійної залежності, що може свідчити нетипову в порівнянні з низько енергетичним збудженням, природу ФЛ. В рамках теоретичних розрахунків [49] одинарні кисневі вакансії ( $H_3Ge'O)_3Ge-Ge(O(H_3)_3)_3$  (табл.4.2) з початковим станом S<sub>1</sub> можуть давати емісію при 3.1 еВ, а з початковим станом S<sub>2</sub> – при 3.3 еВ. Також вважають, що двічі координований германій Ge (=Ge<sup>••</sup>) в структурі  $q-GeO_2$  призводить до емісії ~ 3.1 еВ при енергії збудження 4.6 еВ [49]. Із зростанням енергії

Таблиця 4.1

Енергії люмінесценції (в еВ) і сили осциляторів для низьких дублетних станів модельного кластера - $OGeX_3$  (X=OGeH<sub>3</sub>). MRCI, базис B2 [49].

Початковий стан.	1 <sup>2</sup> A''	1 <sup>2</sup> A'	2 <sup>2</sup> A'	2 <sup>2</sup> A''
4 <sup>2</sup> A'	2.90, .015	2.86, .006	<b>1.12,</b> <b>.075</b>	<b>1.59,</b> <b>.054</b>
3 <sup>2</sup> A'	2.18, $10^{-4}$	2.10, .002	0.55, .012	<b>1.04,</b> <b>.102</b>
b3 <sup>2</sup> A''a	<b>1.98,</b> <b>.054</b>	2.05, .014	0.20, .009	0.91, .001
3 <sup>2</sup> A''b	<b>1.89,</b> <b>.010</b>	1.44, .001	-0.45	0.65, .00005
3 <sup>2</sup> A''c	2.32, .001	2.84, $10^{-4}$	0.93, $10^{-4}$	<b>0.73,</b> <b>.036</b>
2 <sup>2</sup> A''	0.31, $10^{-5}$	<b>0.62,</b> <b>.017</b>	-1.25	0.00
2 <sup>2</sup> A' (D <sub>2</sub> =>D <sub>0</sub> )	1.84, $10^{-6}$	1.81, $10^{-4}$	0.00	-

збудження положення цього максимуму зсувається в область більших енергій [49].

Таблиця 4.2

Відносні енергії ( $E$ , eВ) и сили осцилятора ( $f$ , курсів) для нижчих синглетних станів дефектів OV и DOV з геометричними параметрами, оптимізованими для збуджених станів [85].

Дефект, кластер, метод	початковий стан,	$E(S_n)$ , $f(0-n)$
OV, $(H_3Ge'O)_3Ge-Ge(O(Ge''H_3)_3)_3$ , <b>CCSD</b>	$S_1$ , CIS(D);	2.72, 0.80; <b>3.08</b>
OV, $(H_3Ge'O)_3Ge-Ge(O(Ge''H_3)_3)_3$ , <b>CCSD</b>	$S_2$ , CIS(D);	2.98, 0.10; <b>3.31</b>
DOV, $(H_3Ge'O)_3Ge-Ge(OGe''H_3)_2-Ge(OGe'''H_3)_3$ , <b>CCSD</b>	$S_2$ , CIS(D);	2.19, 0.45
DOV, $(H_3Ge'O)_3Ge-Ge(OGe''H_3)_2-Ge(OH)_3$ , <b>CCSD</b>	$S_2$ , CIS(D);	2.17, 0.43; <b>2.63</b>

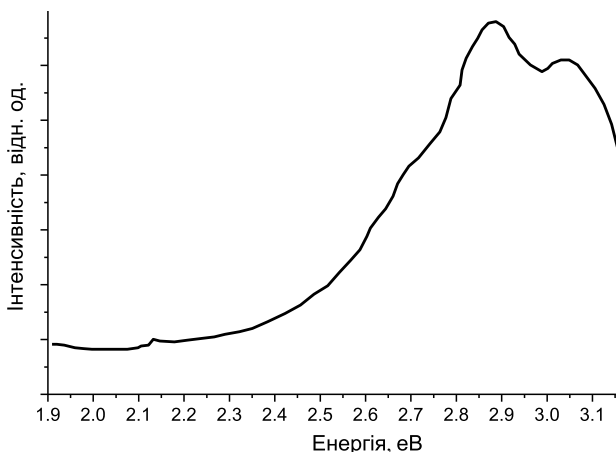


Рис.4.6. Фотолюмінесценція водного розчину кварцеподібного  $\text{GeO}_2$  у воді [112].

Найбільш інтенсивна смуга у спектрах ФЛ промислових порошків  $\text{GeO}_2$  при 2.6 eВ (рис. 4.8) по своєму енергетичному положенню добре узгоджується з прогнозованою [49] смugoю для гідратованого  $\text{GeO}_2$ , кластер  $\text{H}_3\text{Ge}'\text{O})_3\text{Ge}-\text{Ge}(\text{OGe}''\text{H}_3)_2-\text{Ge}(\text{OH})_3$  (табл.4.2). Розчин  $\text{GeO}_2$  у воді проявляє емісійні властивості  $\sim 2.8$  eВ (рис. 4.2.) при енергії збудження 3.54 eВ (350 нм) [109]. Цікаво відзначити, що в енергетичній залежності інтенсивності смуг ФЛ  $\text{GeO}_2$  (рис.4.5), смуга з максимумом  $\sim 2.6$  eВ, як «конверт», вміщає себе всі нижче лежачі смуги ФЛ.

## 4.2. Раман, рентгенофотоелектронні спектри та фотолюмінесценція при різних енергія збудження полікристалічного $\beta\text{-GeS}_2$ при природному старінні

### 4.2.1. Раман та рентгенофотоелектронні спектри полікристалічного $\beta\text{-GeS}_2$ при природному старінні

На рис. 4.7. представлений Раман спектр полікристалічного  $\beta\text{-GeS}_2$  при старінні в природних умовах. Основні коливні смуги коливань зв'язків Ge-S в області від 100 до 500  $\text{cm}^{-1}$  вже аналізувалися в розділі 3. Однак поряд з смугами, відповідальними за коливання зв'язків Ge-S, в Раман спектрі присутня слабоінтенсивна смуга  $\sim 600$   $\text{cm}^{-1}$ , характерна для коливань зв'язків Ge-O в кварцеподібному та склоподібному  $\text{GeO}_2$  (див.розділ 1). Для більш достовірної ідентифікації окисних фаз на поверхні полікристалічного  $\beta\text{-GeS}_2$  в якості доповняльних було знято рентгенофотоелектронні спектри [111]. На рис. 4.8 та рис. 4.9. представлені  $\text{Ge}3d$ ,  $\text{O}1s$ ,  $\text{C}1s$  та  $\text{O}1s$  рентгенофотоелектронні спектри полікристалічного  $\beta\text{-GeS}_2$  [114]. Обробка спектрів з врахуванням чутливості кожного з елементів показала, що вміст компонентів на поверхні полікристалу наступний: 23 % Ge, 44 % S, 23 % O, 10 % C.

Тобто як і у випадку порошків пп- $\text{GeO}_2$  (рис.4.5.) поверхня полікристалічного частково оксидована і крахмалізована.

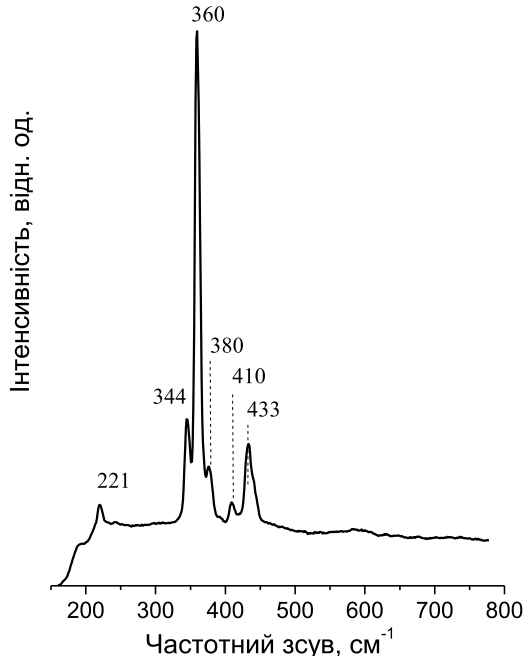
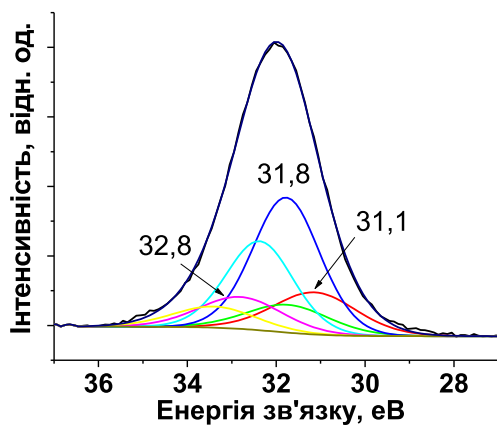
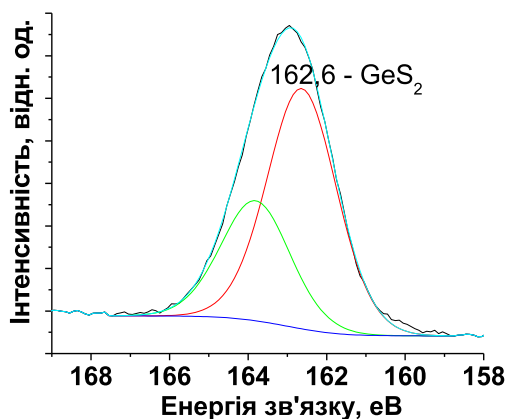


Рис. 4.7. Раман спектри полікристалічного  $\beta$ - $\text{GeS}_2$ , знятих при довжині лазерного випромінювання 785 нм.

Виконуючи процедуру фітінгу  $\text{Ge}3d$  рентгенофотоелектронного спектру (рис.4.8) було виявлено, що широка смуга може бути розбити на три смуги з максимумами при 32.8, 31.8 та 31.1 еВ. Перші два максимуми можна віднести до енергії зв'язку германію з четвертою і подвійною координацією германію по кисню [114], тобто  $\text{GeO}_2$  та кисневодефіцитного центру  $\text{GeO}_x$ .

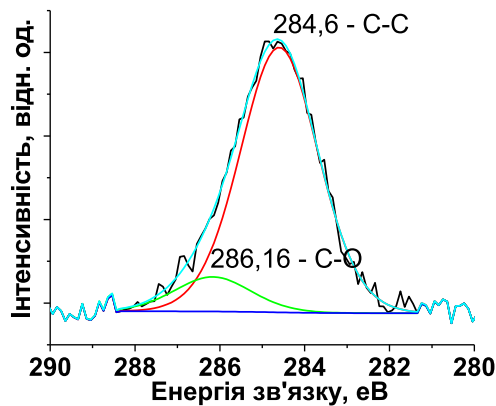


a)

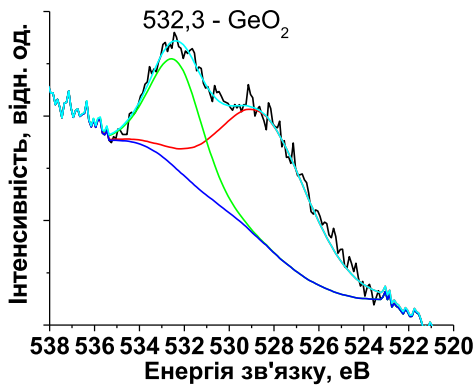


б)

Рис.4.8. а – Ge 3d; б – S 2p рентгено-фотоелектронні спектри полікристалічного  $\beta$ -GeS<sub>2</sub>.



a)



б)

Рис. 4.9. C1s та O1s ренгено-фотоелектронні спектри полікристалічного  $\beta$ -GeS<sub>2</sub> при тривалому зберіганні в природних.

Третій максимум при 31.1 еВ характерний для енергії зв'язку Ge-S в склоподібному GeS<sub>2</sub> [105]. Підтвердженням цього висновку є положення максимуму сірки в S2p ренгенофотоелектронному спектрі (рис.4.8.), що характерне для енергії зв'язку Ge-S в *c*-GeS<sub>2</sub> [110]. У C1s РФ спектр вуглецю (рис.4.9), подібно як для випадку GeO<sub>2</sub>, дають вклад C-C (енергія зв'язку 284.6 еВ), C-O і/або C-S, (286.0 еВ). O1s спектр (532.3 еВ) займає положення характерне для енергії зв'язку Ge-O [110-113].

#### 4.2.2. Спектри фотолюмінесценції при зміні енергії збудження полікристалічного $\beta$ -GeS<sub>2</sub> при природному старінні

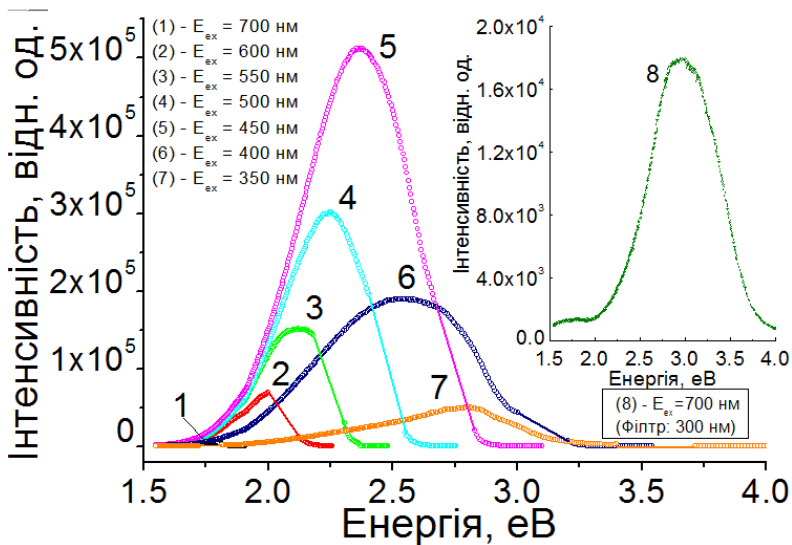


Рис. 4.10. Спектри фотолюмінесценції полікристалічного  $\beta$ -GeS<sub>2</sub> при різних енергіях (довжинах хвиль) збудження, знятих при однаковій інтенсивності збуджуючого випромінювання.

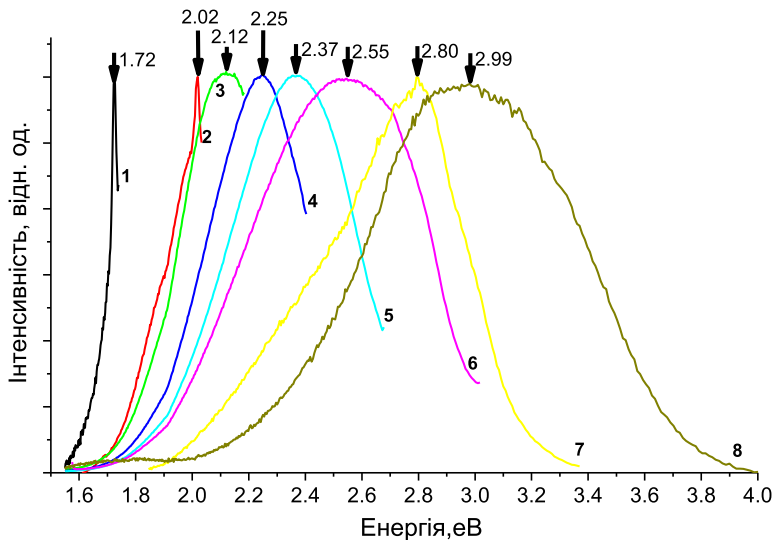


Рис.4.11. Нормалізовані спектри фотолюмінесценції полікристалічного  $\beta$ -GeS<sub>2</sub> при знятіх різних енергіях збудження і при однаковій інтенсивності збуджуючого випромінювання: 1 - 1.77 eВ; 2 - 2.06 eВ; 3 - 2.25 eВ; 4 - 2.48 eВ; 5 - 2.75 eВ; 6 - 3.1 eВ; 7 - 3.51 eВ; 8 - 4.13 eВ.

При зміні енергії збуджуючих фотонів нами виявлені максимуми при 1.72, 2.02, 2.12, 2.25, 2.37, 2.55, 2.80 та 2.99 eВ (рис. 4.10, рис. 4.11). Порівнюючи положення знайдених максимумів у спектрах фотолюмінесценції полікристалічного  $\beta$ -GeS<sub>2</sub> при різних енергіях (довжинах хвиль) збудження зі спектрами ФЛ промислових порошків пп-GeO<sub>2</sub> (рис.4.2) при тих же енергіях (довжинах хвиль) можна бачити їх добре узгодження. Як вже відмічалося, смуги при енергіях 1.72, 2.02 eВ близькі до розрахованих [49] значень енергії люмінесценції для низьких дублетних станів модельного кластера -OGeX<sub>3</sub> (X=OGeH<sub>3</sub>) і характеризують дефекти, що формуються на поверхні оксидів (немостикового кисню, та поверхневих Е'-центрів). Для енергій збудження від 2.25 eВ (550 nm) до 3.54 eВ (350 nm) спостерігається

лінійна залежність положення максимуму у спектра ФЛ від енергії збуджуючих фотонів (рис.4.12). Єдина відмінність між спектрами ФЛ  $\beta$ -GeS<sub>2</sub> (рис. 4.10) та GeO<sub>2</sub> (рис.4.6) полягає в тому, що максимальна інтенсивність ФЛ для  $\beta$ -GeS<sub>2</sub> спостерігається для зеленого свічення при 2.37 еВ з перегином при 2,55 еВ (енергія збудження 2.75 еВ), тоді як в максимальна інтенсивність ФЛ в GeO<sub>2</sub> (рис.4.6.) спостерігається при 2.57 еВ (енергія збудження 3.1 еВ). У високочистому монокристалічному кварцеподібному нанодроті GeO<sub>2</sub> при енергії збудження 3.05 еВ спостерігалося зелене світіння з максимумом у спектрі ФЛ ~2.3 еВ [113] (див. розділ 1). При дослідженні люмінесцентних характеристик, збуджених синхротронним випромінюванням (XEOL, X- ray Excited Optical Luminescence) при енергії 536.5 еВ, що відповідає енергетичному O K-краю (O K-edge) атомів кисню, в нанодротах була виявлена збуджена синхротронним випромінюванням люмінесценція близька

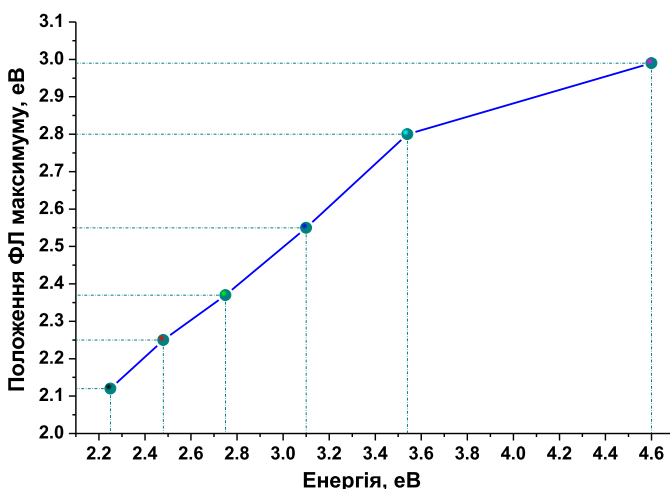


Рис. 4.12. Енергетична залежність положення максимуму ФЛ від енергії збуджуючих фотонів у спектрах ФЛ полікристалічного  $\beta$ -GeS<sub>2</sub>.

до фотолюмінесценції, збудженої в нанодротах германію (GeONWs) лазерним джерелом при енергії збудження  $E_{\text{зб.}} = 3.05$  еВ. Природа спектрів випромінювання, як у спектрах стимульованої синхротронним випромінюванням фотолюмінесценції, так і у спектрах фотолюмінесценції (рис. 4.10) подібна і зв'язана з дефіцитом атомів кисню [44].

Перерозподіл інтенсивності у спектрах ФЛ  $\beta\text{-GeS}_2$  при однакових енергіях збудження (2.75 еВ) в порівнянні з спектрами ФЛ пп- $\text{GeO}_2$  вказує на те, що подібно до процесів на поверхні германію [114], на поверхні  $\beta\text{-GeS}_2$  при старінні внаслідок конденсації води відбувається розрив енергетично менш вигідних зв'язків Ge-S в 4- та 6-ти членних кільцях, формування гідроокису  $\text{Ge}(\text{OH})_4$  і виділення твердої фази  $\text{GeO}_2$  внаслідок реверсивної кристалізації із розчину близче до поверхні кристалу, згідно реакції:



#### **4.3. Раман спектри та фотолюмінесценція при різних енергіях збудження монокристалічного GeS при природному старінні**

##### **4.3.1. Раман спектри монокристалічного к-GeS при природному старінні**

На рис. 4.13. наведений Раман спектри монокристалічного (к) к-GeS. Положення ліній Раман спектру зведені в таблицю 4.3. Було одержано добре узгодження з положенням смуг, приведених в [124] (рис.4.14). Базуючись на даних [115], було проведено віднесення ліній в Раман спектрі с-GeS до різних типів коливань (табл. 4.3). На відміну від Раман спектру полікристалічного  $\beta\text{-GeS}_2$  (рис. 4.7), в Раман спектрі с-GeS (рис.4.13.) крім смуг, властивих монокристалічному с-GeS, чітко проявляються смуги  $\sim 440$ ,  $520$  та  $590$   $\text{cm}^{-1}$ , характерні для склоподібного  $\text{GeO}_2$  (див. розділ 1). Ці смуги не фіксувалися іншими авторами в свіжосинтезованих зразках к-GeS [115].

Тому їх появу в Раман спектрі (рис.4.13) можна віднести за рахунок оксидації при природному старінні к-GeS [111].

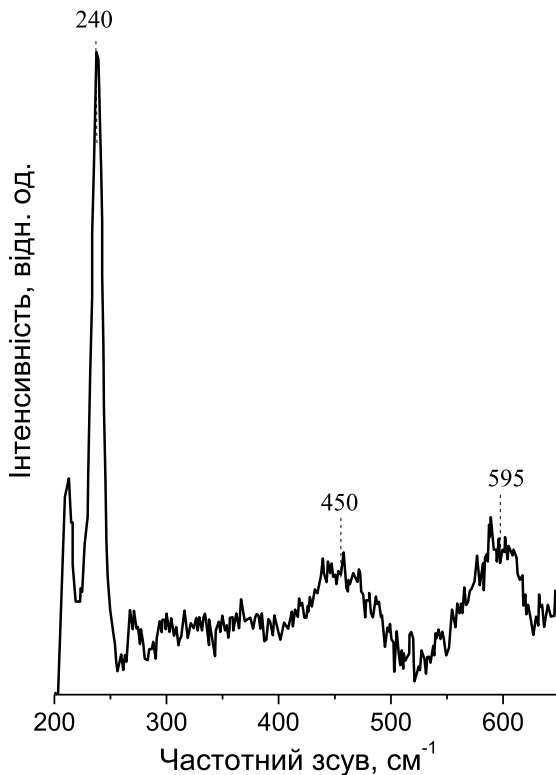


Рис. 4.13. Неполяризований Раман спектр монокристалічного *c*-GeS збудженого при  $E_{3\beta} = 1.58$  еВ.

Ширина забороненої зони к-GeS, виміряна із досліджень краю власного поглинання (рис.4.15), складає 1.6 еВ. Його положення буде далі необхідне при аналізі люмінесцентних властивостей к-GeS.

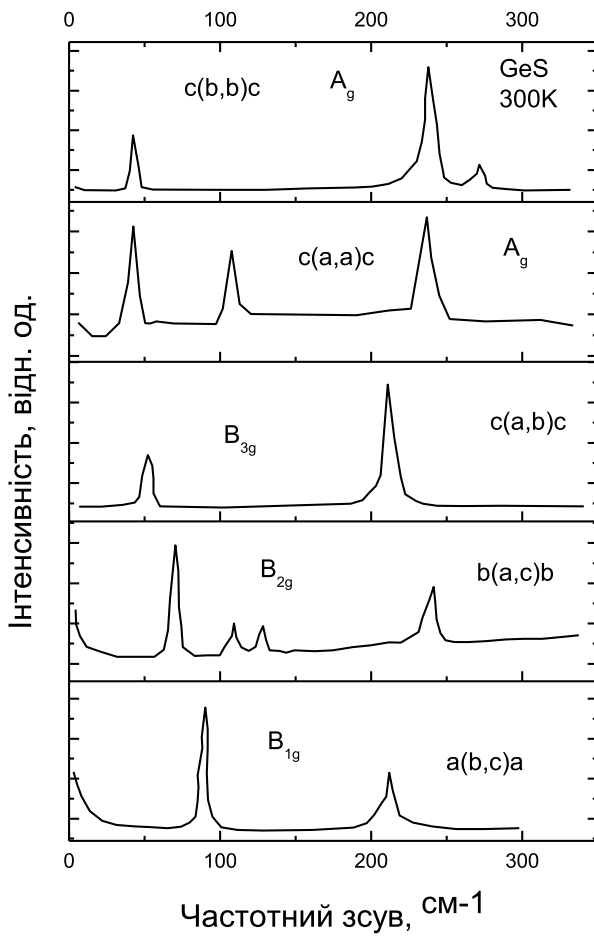


Рис. 4.14. Поляризаційні Раман спектри к-GeS [115].

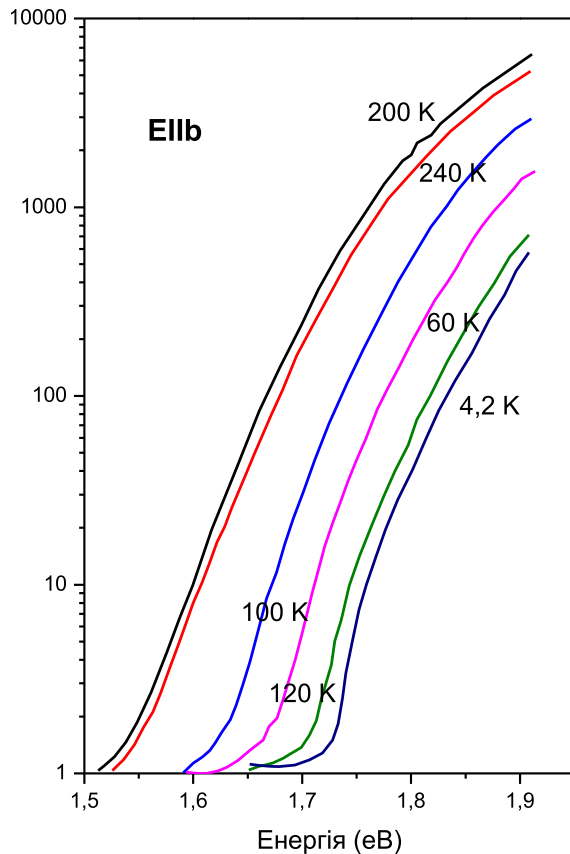


Рис. 4.15. Край власного поглинання к-GeS для поляризації Е II та різних температур (позначення наведені на рисунку) [116].

Таблиця 4.3

Частоти коливань в к-GeS та їх віднесення.

$\lambda_{36}=785\text{нм}$ наші дані	$\lambda_{36}=676,4\text{нм}$ [115]	Віднесення [115]
212	212, 213, 212	$B_{3g}$
240	238, 239, 298 242, 281	$A_g$ $B_{2g}$
268	269	$A_g$
290	215, 245	$B_{1g}$ $B_{2g}$
312		$B_{2g}$
329	329	

#### 4.3.2. Фотолюмінесценція при різних енергіях збудження монокристалічного c-GeS при природному старінні

Як видно із нормованих даних на основний, найбільш інтенсивний максимум (3.15 еВ), інтенсивність фотолюмінесценції при низьких енергіях збудження незначна (рис.4.16). Більш чітко це видно на енергетичній залежності інтенсивності спектрів ФЛ c-GeS (рис.4.17). Спектр катодолюмінісценції плівок GeO<sub>2</sub> товщиною 80 нм, одержаних анодуванням оксидною плазмою поверхні кристалічного Ge [117], має вигляд, подібний до спектру ФЛ на рис. 4.16., крива 8 . В рамках розрахунків [49] високоенергетичні емісійні центри при 3.1 та 3.3 еВ можуть бути віднесені до дефектів типу (H<sub>3</sub>Ge'O)<sub>3</sub>Ge-Ge(O(Ge'H<sub>3</sub>)<sub>3</sub>), смуги при 2.66 та 2.84 еВ (рис. 4.16,4.17) - до центрів (H<sub>3</sub>Ge'O)<sub>3</sub>Ge-Ge(OGe'H<sub>3</sub>)<sub>2</sub>- Ge(OH)<sub>3</sub> [49], випромінювання з енергією ~ 2.1 еВ - до комбінованого дефекту на основі

поверхневого E' - центру і кисневої вакансії (E'-OV) (рис. 4.8.), в якому один з містків Ge-O-Ge замінений прямим зв'язком Ge-Ge (система

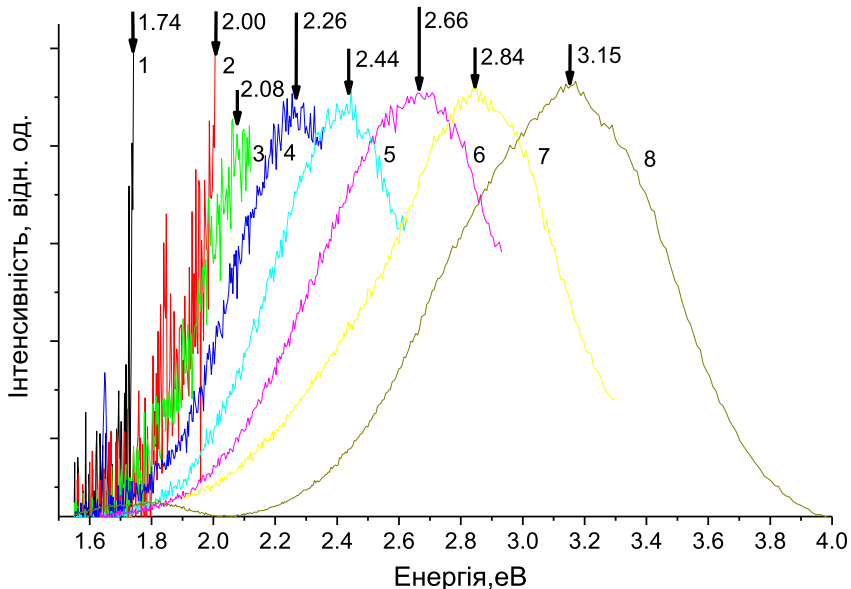


Рис. 4.16. Фотолюмінесценція при різних енергіях збудження монокристалічного к-GeS: 1 - 1.77 eB, 2 - 2.06 eB, 3 - 2.25 eB, 4 - 2.48 eB, 5 - 2.75 eB, 6 - 3.1 eB, 7 - 3.51 eB, 8 - 4.13 eB.

$X_3\text{Ge}-\text{Ge}X_2$ ) [49]. Про можливість утворення випромінювальних центрів різної природи свідчить нелінійна залежність положення максимумів у спектрах ФЛ GeS в залежності від енергії збудження (рис.4.18) [111].

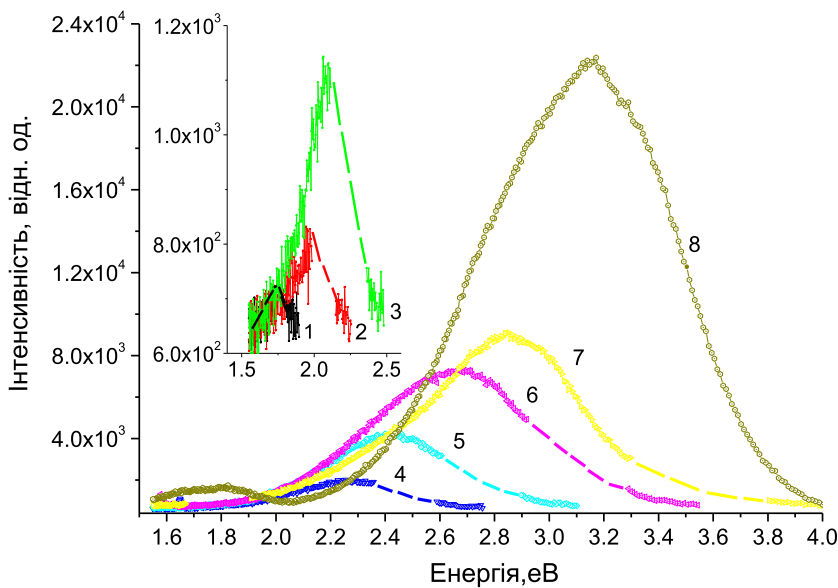


Рис.4.17. Спектри фотолюмінесценції кристалічного c-GeS при різних енергіях (довжинах хвиль) збудження, знятих при однаковій інтенсивності збуджуючого випромінювання:

- 1 -  $E_{\text{зб.}} = 1.77 \text{ eB}$  ( $\lambda_{\text{зб.}} = 700 \text{ нм}$ );
- 2 -  $E_{\text{зб.}} = 2.07 \text{ eB}$  ( $\lambda_{\text{зб.}} = 600 \text{ нм}$ );
- 3 -  $E_{\text{зб.}} = 2.25 \text{ eB}$  ( $\lambda_{\text{зб.}} = 550 \text{ нм}$ ).
- 4 -  $E_{\text{зб.}} = 2.48 \text{ eB}$  ( $\lambda_{\text{зб.}} = 500 \text{ нм}$ );
- 5 -  $E_{\text{зб.}} = 2.75 \text{ eB}$  ( $\lambda_{\text{зб.}} = 450 \text{ нм}$ );
- 6 -  $E_{\text{зб.}} = 3.10 \text{ eB}$  ( $\lambda_{\text{зб.}} = 400 \text{ нм}$ );
- 7 -  $E_{\text{зб.}} = 3.54 \text{ eB}$  ( $\lambda_{\text{зб.}} = 350 \text{ нм}$ );
- 8 -  $E_{\text{зб.}} = 4.59 \text{ eB}$  ( $\lambda_{\text{зб.}} = 270 \text{ нм}$ ).

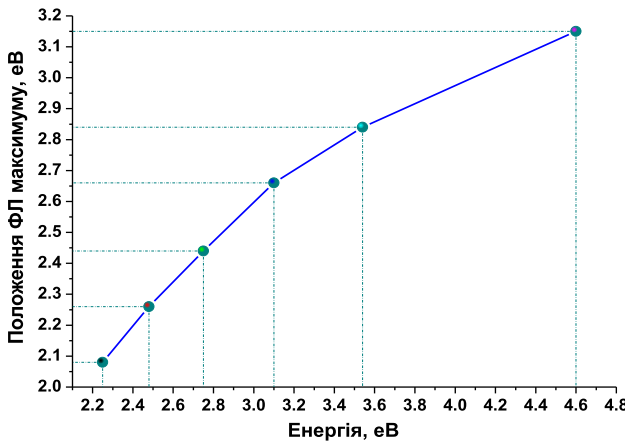


Рис. 4.18. Залежність положення максимумів у спектрах ФЛ GeS в залежності від енергії збудження.

#### **4.4. Рентгенофотоелектронні спектри та спектри фотолюмінесценції $c\text{-GeS}_2(\text{TiV}_j)$ при природному старінні**

##### **4.4.1. Рентгенофотоелектронні спектри полірованої поверхні $\text{GeS}_2(\text{T}_2\text{V}_2)$ при природному старінні**

Положення максимумів рентгенофотоелектронний спектрів Ge3d та O1s (рис.4.10 та рис 4.20) добре узгоджується з їх положенням в рентгенофотоелектронних спектрах пп- $\text{GeO}_2$  [118]. Рентгенофотоелектронний S2p спектр сірки можна розбити на дві складові (рис. 4.20, а). Найбільш інтенсивний максимум розбиття при 161.8 еВ відповідає локальній координації германію по сірці, подібній в моносульфіді германію [111]. Другий максимум при 163.4 еВ відповідає структурним

одиницям Ge-S-S [119]. Визначений із спектрів склад є таким: Ge- 2,3 %; S- 1,2%; O- 32,8%; C-63,7%. Тобто полірована поверхня при 10-ти річному зберіганні є карбонізованою і оксидизованою.

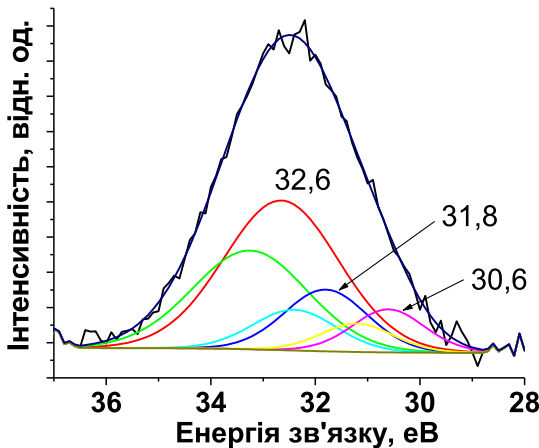
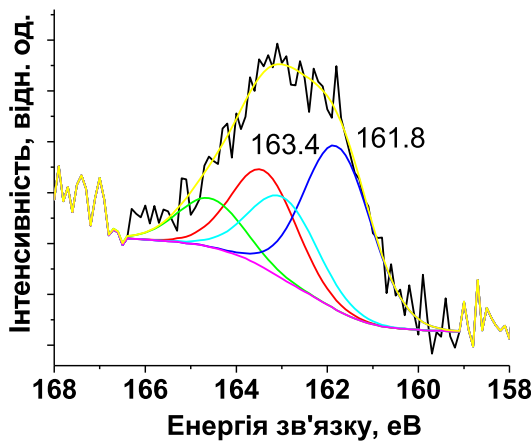
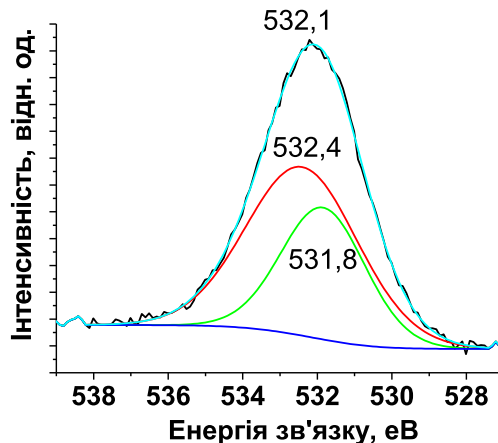


Рис. 4.19. Ge3d рентгенофотоелектронний спектр полірованої поверхні  $c\text{-GeS}_2$  ( $T_2V_2$ ) при 10-річному зберіганні.

Положення максимумів Ge3d та S2p в рентгенофотоелектронних спектрах (рис.4.20) добре узгоджується з їх положенням в рентгенофотоелектронних спектрах  $\text{GeO}_x$  та  $\text{GeS}$  [111]. Положення максимуму в рентгенофотоелектронному спектрі O1s при 531.3 еВ характерне для положення OH груп [110]. Другий максимум при 163.4 еВ відповідає структурним одиницям Ge-S-S [119]. Визначений із спектрів склад є таким: Ge- 13,0 %; S- 13,5%; O- 62,8%; C-11,5%. Вимірювання товщини ступеньки, одержаної при травленні іонами в аргоновій плазмі, виявилося рівним 30 нм.

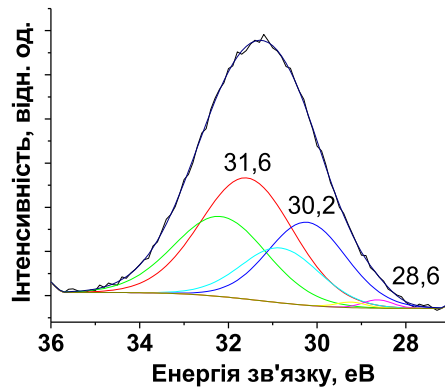


a)

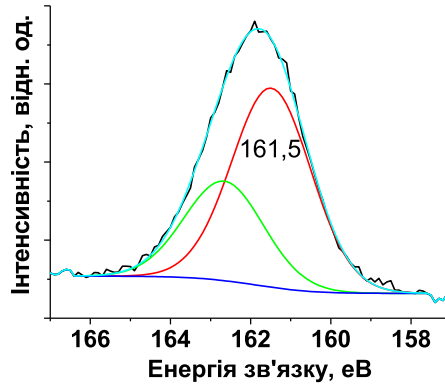


б)

Рис.4.20. S2p та O1s рентгоно-фотоелектронні спектри полірованої поверхні c-GeS<sub>2</sub> (T<sub>2</sub>V<sub>2</sub>) при 10-ти річному зберіганні.



a)



б)

Рис. 4.21. Ge3d (а) та S2p (б) рентгено-фотоелектронні спектри полірованої поверхні c-GeS<sub>2</sub> (T<sub>2</sub>V<sub>2</sub>) після 5ти хвилинної аргонової очистки.

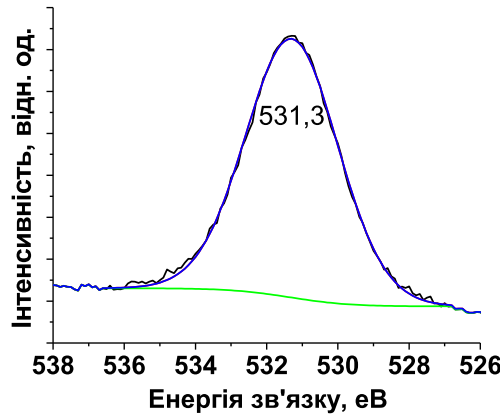


Рис. 4.22. O1s рентгенофотоелектронний спектр полірованої поверхні c-GeS<sub>2</sub>(T<sub>2</sub>V<sub>2</sub>) після 5-хвилиної аргонової очистки.

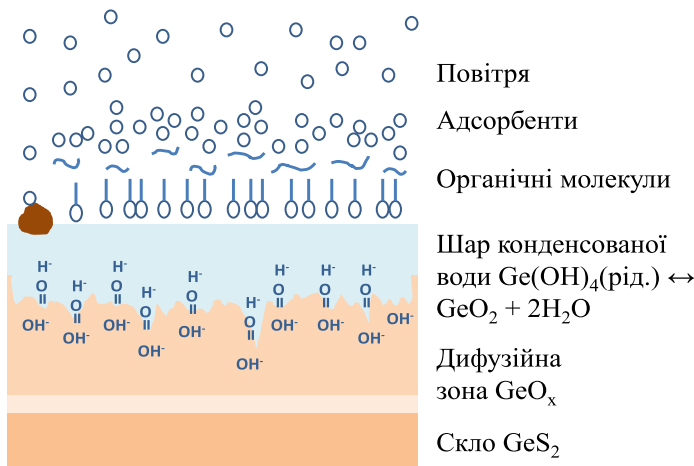


Рис. 4.23. Процес деградації поверхні скла в природних умовах з врахуванням можливої реакції на поверхні монокристалічного германію [114].

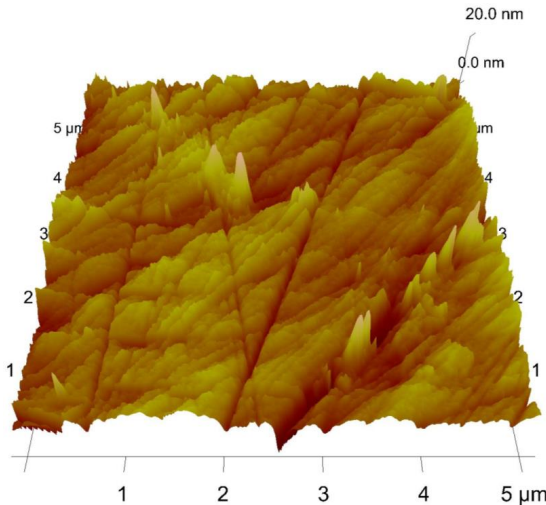


Рис. 4.24. Зображення в атомно-силовому мікроскопі полірованої поверхні  $\text{GeS}_2$  ( $\text{T}_3\text{V}_2$ ) при природному старінні на проязі 10 років.

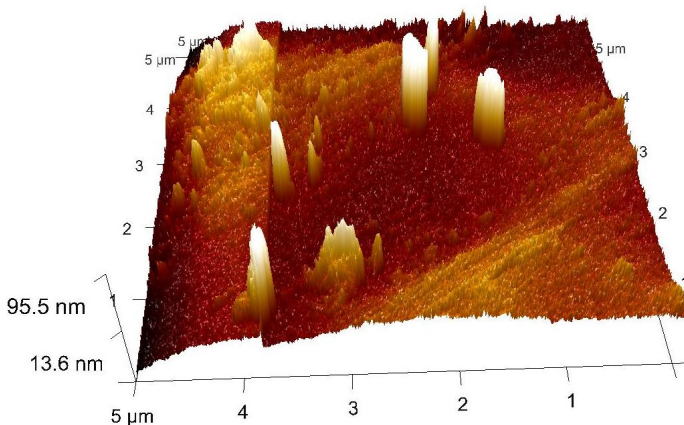


Рис. 4.25. Зображення в атомно-силовому мікроскопі полірованої поверхні  $\text{GeS}_2$  ( $\text{T}_3\text{V}_2$ ) після перебуванні 12 годин у травнику (морфін).

Процес деградації поверхні скла в природних умовах з врахуванням можливої реакції на поверхні монокристалічного германію [83] умовно

можна зобразити на рис. 4.23 Зображення в атомно-силовому мікроскопі полірованої поверхні *c*-GeS<sub>2</sub> (T<sub>3</sub>V<sub>2</sub>) при природному старінні на проязі 10-ти років представлено на рис. 4.24, а протравленої – на рис. 4.25.

#### 4.4.2. Спектри фотолюмінесценції сколу *c*-GeS<sub>2</sub> (T<sub>i</sub>V<sub>j</sub>) при старінні в природних умовах , зняті при енергії збудження 2.48 еВ

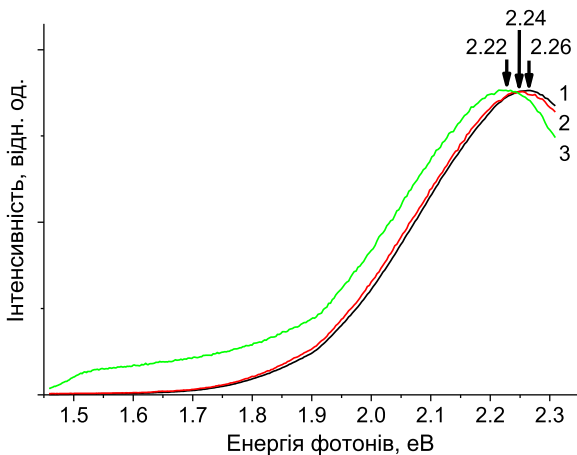


Рис. 4.26. Спектри фотолюмінесценції *c*-GeS<sub>2</sub> (T<sub>i</sub>V<sub>j</sub>), зняті при енергії збудження 2.48 еВ 1 - T<sub>1</sub>V<sub>1</sub>; 2 - T<sub>2</sub>V<sub>2</sub>; 3 - T<sub>3</sub>V<sub>2</sub>.

Нами було виявлено, що з ростом температури розплаву від T<sub>2</sub> до T<sub>3</sub> росте інтенсивність смуги у спектрах фотолюмінесценції ~ 1.59 і 1.86 еВ (рис. 4.26.). Зростання інтенсивності фотолюмінесценції ~1.59 і 1.86 еВ корелює із ростом смуг в Раман спектрі *c*-GeS<sub>2</sub> (T<sub>i</sub>V<sub>j</sub>), ~ 250 см<sup>-1</sup> і в околі 400 см<sup>-1</sup> (рис. 3.7) характерної відповідно для коливань Ge-Ge і Ge-S зв'язків в «дефектних», 5-членних кластерів типу 8 і з гомополярними зв'язками (кластер 8, рис. 2.7). Подібна ситуація з ростом інтенсивності ФЛ в області 1.5-2.0 еВ спостерігалася при малій і високій інтенсивності коливань зв'язків Ge-Ge при 300 см<sup>-1</sup> в Раман спектрі травленої германійової підкладинки (див.

розділ 1) [84]. Т.з. червона емісія в спектрі ФЛ при 1.85 еВ була виявлена у спектрі ФЛ  $\gamma$ -опроміненого кристалічного кварцеподібного  $\text{GeO}_2$  [49] і віднесена до наявності дефекту типу немостикового кисню в  $\text{GeO}_2$ . Результати моделювання [49] вказують на те, що дефектами, які можуть викликати фотолюмінесценцію в цій області, є кластери типу  $-\text{OGeX}_3$  ( $\text{X}=\text{OGeH}_3$ ). Максимум ФЛ в області 2.2 - 2.3 еВ (рис. 4.26.) є типовим у спектрах ФЛ діоксиду германію з дефектами при енергіях збудження до 3.5 еВ [49]. Необхідно умовою його виникнення в нанокристалічному Ge (nc-Ge) є наявність вологого середовища [49]. З ростом часу витримки nc-Ge у вологому середовищі інтенсивність ФЛ в області 2.2 - 2.3 еВ зростає [49].

#### **4.4.3. Спектри фотолюмінесценції сколу $c\text{-GeS}_2$ ( $\text{T}_1\text{V}_j$ ) при старінні в природних умовах, зняті при енергії збудження 3.1 еВ**

На рис. 4.27 представлени спектри фотолюмінесценції  $c\text{-GeS}_2$  ( $\text{T}_1\text{V}_j$ ), зняті енергії збудження 3.1 еВ. Спільний розгляд спектрів ФЛ, знятих при 2.48 і 3.1 еВ показує, що спектри ФЛ, зняті при енергії збудження 3.1 еВ (рис. 4.26) можна представити як накладання смуг при 2.12, 2.25, 2.37, 2.55 і 2.7 еВ [119-123]. Згідно теоретичних розрахунків [49] максимум ФЛ в області 2.6 еВ, виявлений для зразка  $c\text{-GeS}_2$  ( $\text{T}_1\text{V}_1$ ) (рис.4.26.), характерний для дефектів з подвійними кисневими вакансіями (DOV)  $(\text{H}_3\text{Ge}'\text{O})_3\text{Ge}$   $\text{Ge}(\text{OGe}'\text{H}_3)_2\text{-Ge}(\text{OH})_3$ . Положення найбільш інтенсивного максимуму у спектрах фотолюмінесценції  $c\text{-GeS}_2$  ( $\text{T}_1\text{V}_j$ ) (рис. 4.27.) добре узгоджується з даними досліджень спектру ФЛ нанодротів субстехіометричного  $\text{GeO}_2$  [86], (рис. 1.14.) Однак з ростом числа «неправильних» зв’язків у структурі скла  $c\text{-GeS}_2$  ( $\text{T}_3,\text{V}_2$ ) спостерігається перерозподіл інтенсивності, максимум ФЛ зміщується від 2.6 до 2.7 еВ (рис. 4.27). Виявлено (рис. 4.27.) ще більше зміщення максимуму до 2.83 еВ для зразка з мінімальним числом «неправильних» зв’язків  $c\text{-GeS}_2$  ( $\text{T}_2\text{V}_2$ ).

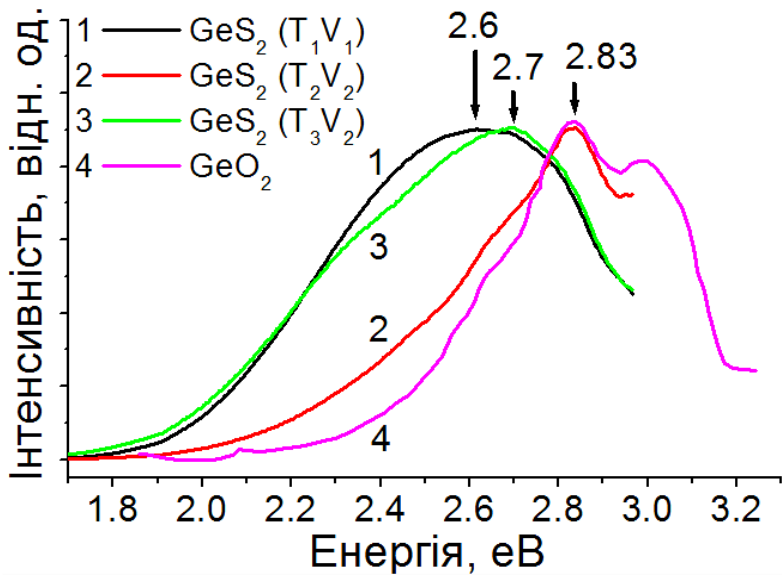


Рис.4.27. Нормовані спектри фотолюмінесценції  $c\text{-GeS}_2(\text{T}_i\text{V}_j)$ , зняті при енергії збудження 3.1 еВ: 1 -  $\text{T}_1\text{V}_1$ ; 2 -  $\text{T}_2\text{V}_2$ ; 3 -  $\text{T}_3\text{V}_2$ ; 4 - розчину  $\text{GeO}_2$  у воді [112].

Таке положення максимумів характерне для спектрів фотолюмінесценції розчину кварцеподібного  $\text{GeO}_2$  у воді [70] і може свідчити, що на поверхні

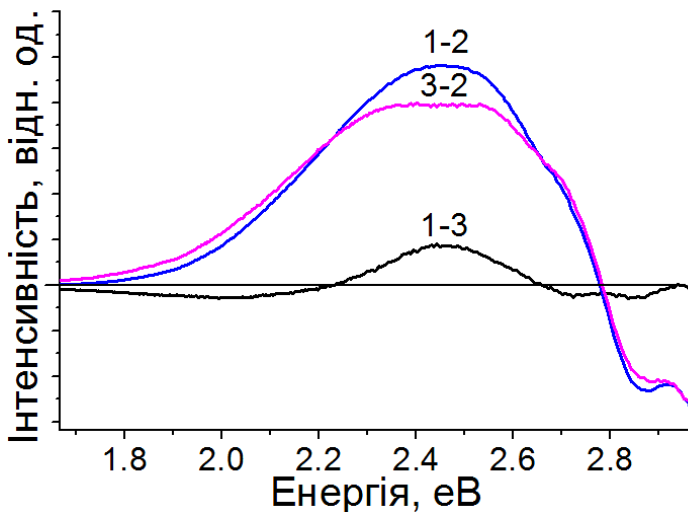


Рис. 4.28. Різницеві спектри ФЛ кривих, представлених на рис. 4.27.

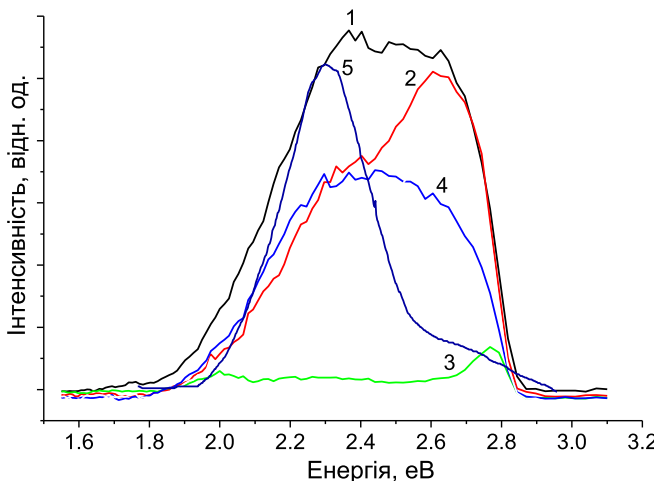


Рис. 4.29. Спектр фотолюмінесценції нанодроту  $q\text{-GeO}_2$ , крива 5 [44] та спектри ФЛ стекол  $c\text{-GeS}_2(\text{TiV}_j)$ , зняті при енергії збудження 3.05 eV:  
 1 -  $T = 900 \text{ C}^\circ$ ; 2 -  $T = 1000 \text{ C}^\circ$ ; 3 -  $T = 1100 \text{ C}^\circ$ ;  
 4 -  $T = 1100 \text{ C}^\circ, V = 150 \text{ C}^\circ/\text{c}$ , 5 -  $T = 1200 \text{ C}^\circ$ .

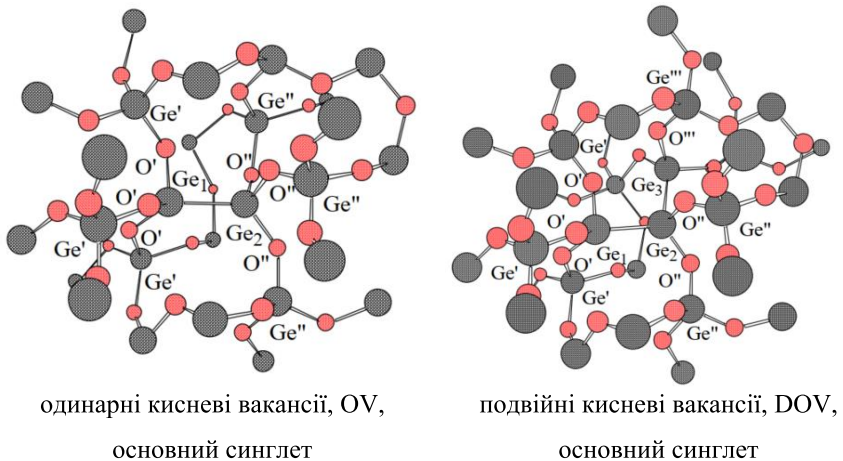


Рис. 4.30. Одинарні (OV) кисневі вакансії, основний синглет; подвійні кисневі вакансії (DOV), основний синглет [49].

зразка *c*-GeS<sub>2</sub> (T<sub>2</sub>V<sub>2</sub>) міститься водний розчин кварцеподібного GeO<sub>2</sub>. Це чітко видно на різницевому спектрі ФЛ (рис.4.28).

В нормованому спектрі ФЛ (рис.4.27), чітко видно, що мінімальне число «неправильних» зв’язків в *c*-GeS<sub>2</sub> (T<sub>2</sub>V<sub>2</sub>) призводить до зменшення інтенсивності у спектрі ФЛ при 2.12, 2.25, 2.37, 2.55 і 2.7 еВ (характерних для нанодроту GeO<sub>2</sub> (Рис. 4.28), в порівнянні з інтенсивностями при цих енергіях у спектрах ФЛ зразків *c*-GeS<sub>2</sub> (T<sub>1</sub>V<sub>1</sub>) та *c*-GeS<sub>2</sub> (T<sub>3</sub>V<sub>2</sub>), де такі зв’язки є (рис. 4.27).

Спільний розгляд біляпорогової тонкої структури рентгенівських спектрів поглинання та люмінесцентних характеристик збуджених синхротронним випромінюванням біля ОК-краю вказує на те, що природа спектрів випромінювання як у спектрах стимульованої фотолюмінесценції так і у спектрах фотолюмінесценції подібна і зв’язана з дефіцитом атомів кисню в нанодротах [87]. Тому можна вважати, що виявлені нами смуги у спектрах фотолюмінесценції при 1,55; 1,8; 2,12; 2,37; 2,55 і 2,7 зв’язані з

дефектами на поверхні (рис.4.29) зумовлені киснево-дефіцитними центрами в окислі, а на поверхні зразка присутні моношари розчину  $\text{GeO}_2$  у воді (максимум ФЛ при 2.83 еВ).

#### 4.4.4. Спектри фотолюмінесценції сколу $c\text{-GeS}_2(\text{TiV}_j)$ при старінні в природних умовах, зняті при енергії збудження 4.6 еВ

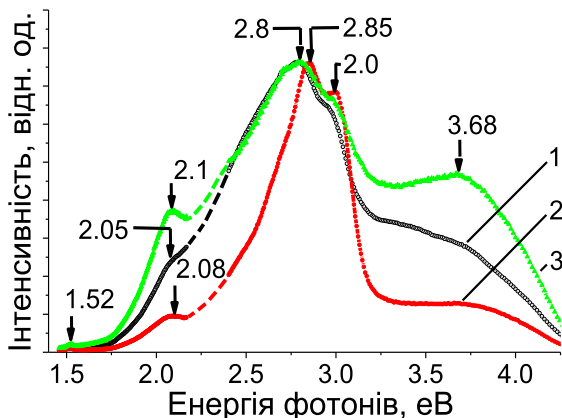


Рис. 4.31. Спектри фотолюмінесценції  $c\text{-GeS}_2(\text{TiV}_j)$ , зняті при енергії збудження 4.6 еВ: 1 -  $T_1 V_1$ ; 2 -  $T_2 V_2$ ; 3 -  $T_3 V_2$ .

Спектри фотолюмінесценції  $c\text{-GeS}_2(\text{TiV}_j)$  (рис. 4.31), зняті при енергії збудження 4.6 еВ, подібні до спектрів блакитно-фіолетової ФЛ нанодротів Ge з окислом на поверхні, знятих в [87] при енергії збудження 3.81 еВ. Якщо в [87] методом фітингу у спектрі ФЛ Ge нанодроту виявлені смуги ~387 нм (3.2 еВ), 402 нм (3.1 еВ), 433 нм (2.9 еВ) і 483 нм (2.6 еВ), то положення максимумів і перегинів в дослідженному нами спектрі ФЛ (рис. 4.30.) містить особливості при 1.55, 2.05, 2.7, 2.95, 3.0, 3.2, 3.4, 4.2 еВ [119-122]. Особливості в блакитно-фіолетовій частині спектру при 2.7, 2.95, 3.0, 3.2, 3.4, 4.2 еВ були також виявлені у спектрах катодолюмінесценції з окисненої поверхні кристалічного германію (орієнтація <111>) [117].

Водний розчин мікроクリсталів  $\text{GeO}_2$  має максимальне поглинання при 4.6 еВ (268 нм), а при збудженні фотолюмінесценції джерелом з енергією 3.49 еВ (довжиною хвилі 355 нм) у спектрах фотолюмінесценції демонструє смугу при 2.82 еВ (438 нм) [112].

Як вже відмічалося, можна припустити, що спостережувана нами смуга ~ 2.8 еВ зв'язана з гідрокисом германію. Як видно з рис. 4.29, у спектрі фотолюмінесценції монокристалічних нанодротів  $\text{GeO}_2$  в цій області фотолюмінесценція є слабоінтенсивна. Легко бачити, що при енергії збудження фотолюмінесценції 4.6 еВ у спектрах ФЛ стекол  $c\text{-GeS}_2(\text{TiV}_j)$  (рис. 4.31) зростом числа дефектів в зростає інтенсивність смуги ~ 2.0 еВ. Ця смуга не виділяється у спектрі фотолюмінесценції із загального континуума при енергії збудження 3.1 еВ (рис. 4.31). Можна допустити, що зростання інтенсивності цієї смуги при ультрафіолетовому збудженні зв'язано з УФ-стимульованими процесами на поверхні стекол  $c\text{-GeS}_2(\text{TiV}_j)$ , що містять велике число «неправильних» Ge-Ge зв'язків. Їх окиснення, стимульоване УФ випромінюванням, може приводити до утворення  $X_3\text{Ge}-\text{Ge}X_2$  ( $X = -\text{O}-\text{GeH}_3$ ) дефектів, які можуть давати випромінювання в області 2.0 - 2.1 еВ. Вплив УФ випромінювання при енергії 4,6 на край поглинання  $c\text{-GeO}_2$  було виявлено в [88]. Згідно теоретичних розрахунків [84] природа емісійних центрів у інфрачервоній та видимій частинах від 1.5 до 2.0 еВ, знятих при енергії збудження 4.6 еВ  $c\text{-GeS}_2(\text{TiV}_j)$ , може бути віднесена до немостикового кисню та поверхневих Е'-центрів. Одинарні кисневі вакансії  $(\text{H}_3\text{Ge}'\text{O})_3\text{Ge}-\text{Ge}(\text{O}(\text{Ge}''\text{H}_3)_3)_3$  (табл.4.2) з початковим станом  $S_1$  можуть давати емісію при 3.1 еВ, а з початковим станом  $S_2$  – при 3.3 еВ. Також вважають, що двічі координований германій Ge (=Ge<sup>++</sup>) в структурі  $c\text{-GeO}_2$  призводить до емісії ~ 3.1 еВ при енергії збудження 4.6 еВ [89]. Із зростанням енергії збудження положення цього максимуму зсувається в область більших енергій [89].

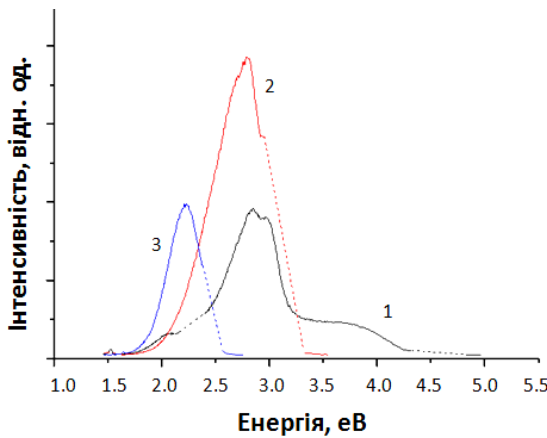


Рис. 4.32. Спектри фотолюмінесценції свіжого сколу  $c\text{-GeS}_2(\text{T}_1\text{V}_1)$  зняti при енергіях збудження збудження: 1 - 2.48, 2 - 3.1 і 3 - 4.6 eВ.

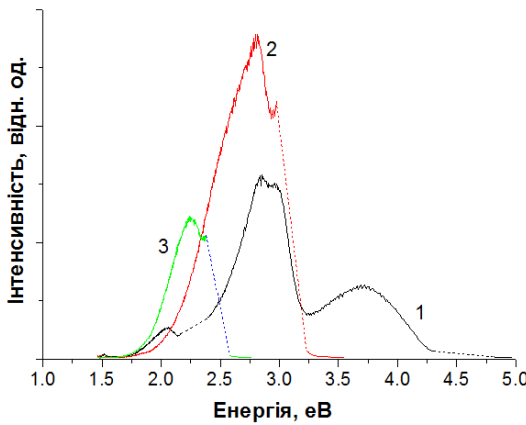


Рис. 4.33. Спектри фотолюмінесценції свіжого сколу  $c\text{-GeS}_2(\text{T}_2\text{V}_2)$ , зняti при енергіях збудження: 1 - 2.48 eВ; 2 - 3.1 eВ; 3 - 4.6 eВ.

На рис. 4.32 представлена енергетична залежність спектрів фотолюмінесценції свіжого сколу  $c\text{-GeS}_2(\text{T}_1\text{V}_1, \text{T}_2\text{V}_2)$ . Легко бачити, що домінуючою є інтенсивність спектру з максимумом при 2.83 eВ, характерного для розчину  $\text{GeO}_2$  у воді [40]. На зведеніх спектрах

фотолюмінесценції свіжого сколу *c*-GeS<sub>2</sub> ( $T_1V_1$ ,  $T_2V_2$ ,  $T_3V_2$ ), знятих при енергіях збудження 4.6 eВ, чітко видно (рис.4.34), що для всіх трьох свіжесколотих поверхонь проявляється максимум, характерний для розчину GeO<sub>2</sub> у воді [40]. Можна допустити, що за декілька хвилин після злому на його поверхні осідає моношар води, який викликає деградацію поверхні з утворенням гідратованого окису Ge(OH)<sub>4</sub>.

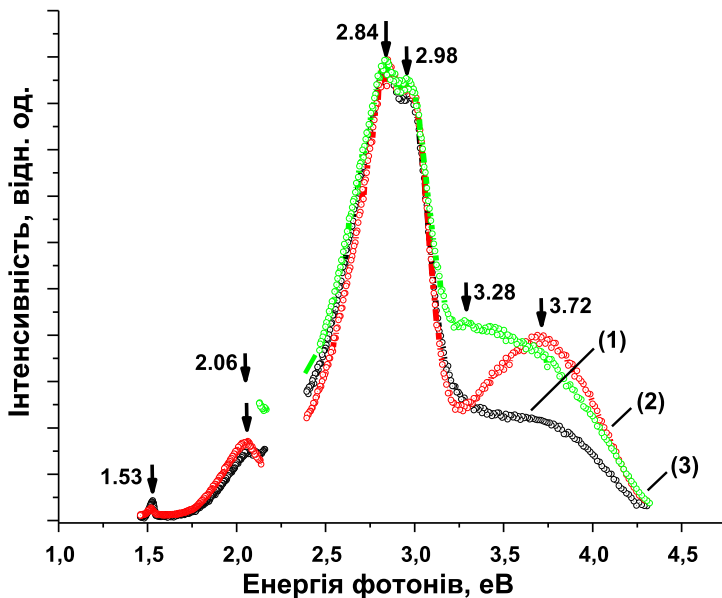


Рис. 4.34. Зведені спектри фотолюмінесценції свіжого сколу *c*-GeS<sub>2</sub> ( $T_1V_1$ ,  $T_2V_2$ ,  $T_3V_2$ ), зняті при енергіях збудження 4.6 eВ.

#### 4.4.6. Край власного поглинання і фотолюмінесценція сколів стекол розрізу GeS<sub>2</sub>-As<sub>2</sub>S<sub>3</sub>

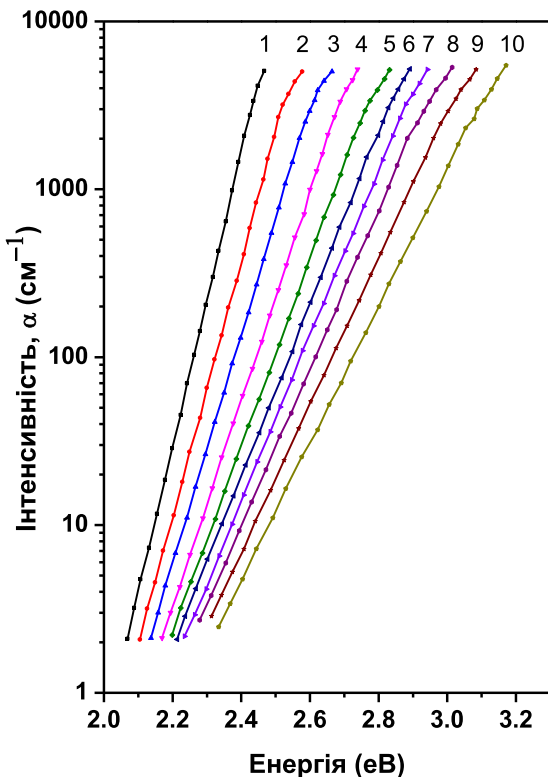


Рис. 4.35. Край поглинання стекол  $(\text{As}_2\text{S}_3)_x(\text{GeS}_2)_{100-x}$ : 1 -  $x = 0$ ; 2 -  $x = 10$ ; 3 -  $x = 20$ ; 4 -  $x = 30$ ; 5 -  $x = 40$ ; 6 -  $x = 50$ ; 7 -  $x = 70$ ; 8 -  $x = 90$ ; 10 -  $x = 100$ .

Як видно з рис. 4.35 і даних, узагальнених в табл. 4.3, з ростом вмісту GeS<sub>2</sub> край поглинання на рівні  $10^3 \text{ см}^{-1}$  зсувався від 2.3 eВ ( $x = 0$ ) до 3.12 eВ ( $x = 100$ ).

При вимірюванні спектрів фотолюмінесценції сколів стекол  $(\text{As}_2\text{S}_3)_{100-x}(\text{GeS}_2)_x$  (рис. 4.36) при збудженні джерелом когерентного випромінювання з енергією 4.03 eВ, з ростом вмісту GeS<sub>2</sub> у спектрі ФЛ зростає інтенсивність

максимуму в області 2.2 - 2.3 еВ , що характерно для ФЛ  $\text{GeO}_x$  [40]. Поява цієї смуги додатково свідчить, що природа ФЛ в області 2.2 - 2.3 еВ зв'язана з наявністю германію. Незмінне положенні смуги у спектрі ФЛ і зростання її інтенсивності при збільшенні вмісту  $\text{GeS}_2$  вказує на те, що її природа однаакова для стекол  $(\text{As}_2\text{S}_3)_{100-x}(\text{GeS}_2)_x$  і для  $c\text{-GeS}_2$  ( $\text{T}_1\text{V}_1$ ,  $\text{T}_2\text{V}_2$ ,  $\text{T}_3\text{V}_2$ ) і може бути віднесена до формування на поверхні зразків  $\text{GeO}_x$  в процесі природного старіння.

Таблиця 4.3

Концентраційна залежність ширини псевдо-забороненої зони  $E_0$ , стекол розрізу  $(\text{GeS}_2)_{1-x}(\text{As}_2\text{S}_3)_x$ .

Номер зразка	$E_0$ , еВ	x
1	2.30	1.0
2	2.42	0.8
3	2.50	0.75
4	2.62	0.6
5	2.71	0.5
6	2.78	0.4
7	2.85	0.3
8	2.92	0.2
9	3.01	0.1
10	3.12	0.0

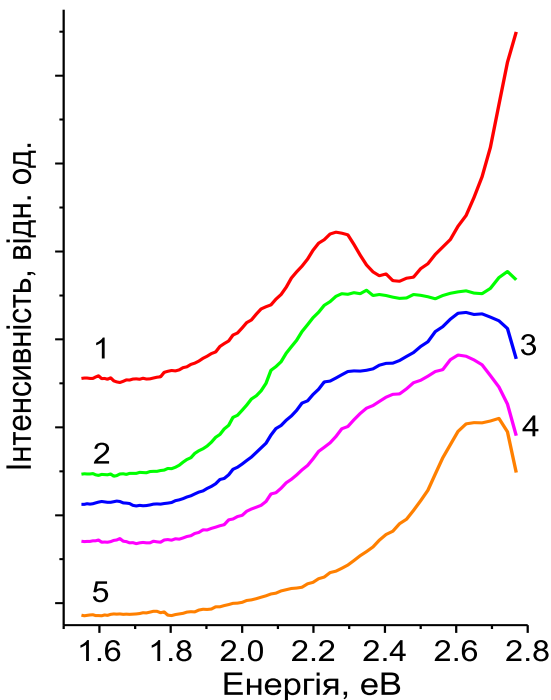


Рис. 4.36. Спектри ФЛ стекол розрізу  $(\text{GeS}_2)_x(\text{As}_2\text{S}_3)_{100-x}$  при  $E_{36} = 3.03$  еВ:  
1 -  $x = 20$ ; 2 -  $x = 30$ ; 3 -  $x = 40$ ; 4 -  $x = 60$ ; 5 -  $x = 70$ .

Подальші дослідження впливу опромінення на властивості стекол і плівок систем As-S(Se) та формування нанофаз приведені в [121-125].

## ВИСНОВКИ

1. Пояснено природу експериментально виявленого зростання інтенсивності смуг при 360, 370 і 433  $\text{cm}^{-1}$  в різницевих Раман спектрах  $\{\text{IrGeS}_2(\text{T}_1\text{V}_1, \text{T}_2\text{V}_2) - \text{IrGeS}_2(\text{T}_2\text{V}_2)\}$ . Смуга при 360  $\text{cm}^{-1}$  зумовлена коливаннями Ge-S зв'язків у шестичленних кільцях, утворених тетраедрами, зв'язаними кутами. Водночас смуги при 370 і 433  $\text{cm}^{-1}$  віднесено до коливань Ge-S зв'язків в чотиричленних кільцах  $\text{Ge}_2\text{S}_{2+4/2}$ , утворених ребрами із тетраедрів  $\text{GeS}_4$  і які зв'язують 6-членні кільця в шаруватий 2-D кластер високотемпературної фази  $\beta\text{-GeS}_2$ .

2. Виявлено, що в різницевих Раман спектрах  $\{\text{IrGeS}_2(\text{T}_1\text{V}_1, \text{T}_2\text{V}_1) - \text{IrGeS}_2(\text{T}_2\text{V}_1)\}$  поряд зі смугами, характерними для коливань шаруватих 2-D кластерів (360, 370 і 433  $\text{cm}^{-1}$ ), проявляється смуга при 339  $\text{cm}^{-1}$ , яка є найбільш інтенсивна в Раман спектрі низькотемпературної 3-D кристалічної  $\alpha\text{-GeS}_2$  фази. Такий характер поведінки різницевих Раман спектрів  $\{\text{IrGeS}_2(\text{T}_1\text{V}_1, \text{T}_2\text{V}_2) - \text{IrGeS}_2(\text{T}_2\text{V}_1)\}$  підтверджує положення теорії наногетероморфного склоутворення про змішаний характер формування середнього порядку в  $c\text{-GeS}_2$ .

3. Встановлено, що в Раман спектрах свіжосинтезованих  $c\text{-GeS}_2$  ( $\text{T}_i\text{V}_j$ ) та при їх природному старінні протягом 10 років не спостерігається суттєвих відмінностей, які б свідчили про зміни їхньої структури у бік збільшення частки кластерів низькотемпературної  $\alpha\text{-GeS}_2$ , як це прогнозувалося в теорії наногетероморфного склоутворення. Особливістю мікро-Раман спектрів  $c\text{-GeS}_2$  ( $\text{T}_i\text{V}_j$ ) при їх природному старінні є наявність смуг в області 700-800  $\text{cm}^{-1}$ , характерних для кварцеподібного  $q\text{-GeO}_2$ .

4. При загартуванні розплаву стекол від температур  $\text{T}_1$  та  $\text{T}_3$  в різницевих Раман спектрах одержаних стекол  $\{\text{IrGeS}_2(\text{T}_1\text{V}_1, \text{T}_3\text{V}_2) - \text{IrGeS}_2(\text{T}_2\text{V}_2)\}$  виникають коливні моди при 255  $\text{cm}^{-1}$  і при 410  $\text{cm}^{-1}$ , властиві «дефектним» 5-членних кільцевим кластерам зі слабкими гомополярними Ge-Ge зв'язками. Виявлено, що інтенсивність таких коливань, значно зростає в різницевому спектрі  $\{\text{IrGeS}_2(\text{T}_3\text{V}_2) - \text{IrGeS}_2(\text{T}_2\text{V}_2)\}$ . Природа появи

великого числа зв'язків Ge-Ge в структурі *c*-GeS<sub>2</sub> (T<sub>3</sub>V<sub>2</sub>) може бути пояснена розривом зв'язків Ge-S в розплаві при максимально можливій для ампельного методу температурі (T<sub>3</sub>) і формуванням слабких Ge-Ge зв'язків при наноструктуруванні в процесі гартування.

5. При природному старінні скла *c*-GeS<sub>2</sub>(T<sub>3</sub>V<sub>2</sub>) з найбільшою часткою «дефектних» 5-членних кластерів, в його спектрах ФЛ виявлено максимальну інтенсивність смуг, характерних для емісії дефекту -OGeX<sub>3</sub> (X=OGeH<sub>3</sub>) ~ 1.50, 1.86 та 1.98 eВ. Мінімальна інтенсивність ФЛ з окисненої поверхні, характерної для емісії такого дефекту, виявлено в дисульфіді германію, загартованого від T<sub>2</sub>=1273 K зі швидкістю гартування V<sub>2</sub> = 1,5\*10<sup>2</sup> K/c, і в Раман спектрі якого смуги, характерні для «дефектних» кластерів з Ge-Ge зв'язками, не проявляються.

6. При деградації поверхні дисульфіду германію, одержаного при T<sub>1</sub>V<sub>1</sub> та T<sub>3</sub>V<sub>2</sub>, з перевагою в матриці структури 2-*D* кластерів β-GeS<sub>2</sub> та присутністю «дефектних» кластерів зі слабкими Ge-Ge зв'язками, в їх спектрах ФЛ домінує емісія з максимумами при 2.60 (T<sub>1</sub>V<sub>1</sub>) і 2.70 (T<sub>3</sub>V<sub>2</sub>) eВ. Ці широкі смуги ФЛ можна представити як накладання емісії в зеленій області спектра при 2.30 eВ твердої фази кисневодефіцитного окису GeO<sub>x</sub> і емісії гідратованого кластера при 2.60 eВ.

7. При природному старінні *c*-GeS<sub>2</sub> (T<sub>2</sub>V<sub>2</sub>), в структурній матриці якого переважають кластери α-GeS<sub>2</sub> з еліпсоїдальними пустотами та відсутні «дефектні» кластери, у спектрі фотолюмінесценції зі сколу домінує «фіолетова» емісія при 2.82 та 3.0 eВ, характерна для емісії модельного гідратованого кластера і ФЛ розчину кварцеподібного *q*-GeO<sub>2</sub> у воді.

8. Незмінне положення смуги у спектрі ФЛ в області 2.20 - 2.30 eВ і зростання її інтенсивності при збільшенні вмісту GeS<sub>2</sub> в стеклах (GeS<sub>2</sub>)<sub>x</sub>(As<sub>2</sub>S<sub>3</sub>)<sub>100-x</sub> показує на те, що її природа однаакова як для стекол (GeS<sub>2</sub>)<sub>x</sub>(As<sub>2</sub>S<sub>3</sub>)<sub>100-x</sub>, так і для *c*-GeS<sub>2</sub> (T<sub>1</sub>V<sub>1</sub>, T<sub>2</sub>V<sub>2</sub>, T<sub>3</sub>V<sub>2</sub>) і може бути віднесена до формування на поверхні зразків твердої кисневодефіцитної фази GeO<sub>x</sub> в процесі природного старіння.

## **ЛІТЕРАТУРА**

1. Коломиець Б.Т. Свойства и структура тройных полупроводниковых систем/ Коломиець Б.Т., Горюнова Н.А. // Журнал технической физики. – 1955. – Т.25, №6. – С. 984–994.
2. A.F. Ioffe. Non-crystalline, amorphous and liquid electronic semiconductors/ A.F. Ioffe, A.R. Regel. // Progress in semiconductors London. – 1960. – vol.4, №20, pp. 25-30, 1960.
3. Мюллер Р.Л. Химия твердого тела и стеклообразное состояние/ Мюллер Р.Л. // Химия твердого тела. – 1965. – Л.: Изд. ЛГУ, С. 9–63.
4. Свечников С.В. Некристаллические халькогениды и халькогалогениды в опто – и микроэлектронике/ Свечников С.В., Химицец В.В., Довгошай Н.И. // К.: Наукова думка, – 1992. – 292 с.
5. І.З.Індутний. Фотоструктурні взаємодії в структурах метал– напівпровідник / І.З.Індутний, М.Т.Костишин, О.П.Касярум і ін. // Київ: Наукова думка, – 1992. – 240 с.
6. I.Beszeda. Nemkristalyos szilard anyagok szerkezete es spektroszkopial vizsgalata / I.Beszeda, T. Hadhazy, S. Kokenyesi, V. Mitsa. // Nyiregyhaza– Ungvar. Patent. Uzhgorod – 1994 . – 102 р.
7. Блецкан Д.И. Кристаллические и стеклообразные халькогениды Si, Ge, Sn и сплавы на их основе: Монография / Блецкан Д.И. // – Ужгород: ВАТ Видавництво “Закарпаття”, – 2004. – 292 с.
8. Неорганічна фотолітографія / В. В. Петров, А. А. Крючин, С. О. Костюкевич, В. М. Рубіш; Ін-т пробл. реєстрації інформації, Ін-т фізики напівпровідників ім. В.Є.Лашкарьова НАН України. - К. : ІМФ НАНУ, 2007. - 195 с.
9. V. Mitsa. Non-linear optical properties and structure of wide band gap non-crystalline semiconductors/ V. Mitsa, R. Holomb, M. Veres, A. Marton, I. Rosola, I. Fekeshgazi, M. Koós. // Phys. Stat. Sol. – 2011. – C., vol.8, №.9, pp. 2696-2700.

10. G. Ori. Surface of glassy GeS<sub>2</sub>: A model based on a first-principles approach/ G. Ori, C. Massobrio, A. Bouzid, M. Boero, B. Coasne/ /Phys. Rev.B 90, 045423-10 (2014)
11. Changgui Lin. Second-harmonic generation in IR-transparent-GeS<sub>2</sub> crystallized glasses/ Changgui Lin, Haizheng Tao, Xiaolin Zheng, Ruikun Pan, Haochun Zang, and Xujian Zhao1. // Optics Letters, – 2009. – vol. 34, No. 4, pp. 437-439.
12. Yi-Fan Niu, Jean-Pierre Guin, Tanguy Rouxel. Aqueous corrosion of the GeSe<sub>4</sub> chalcogenide glass: surface properties and corrosion mechanism J. Am. Ceram. Soc., 92 pp. 1779–1787 (2009).
13. P.M. Bridenbaugh. Microscopic origin of the companion A<sub>1</sub> Raman line in glassy Ge(S,Se)<sub>2</sub>/ P.M. Bridenbaugh, G.P. Espinosa, J.E. Griffiths, J.C. Phillips, and J.P. Remeika. // Phys. Rev. B., – 1979. –vol.20, №10, pp. 4140-4144.
14. R.J. Nemanich. Configuration of chemically ordered continuous random network to describe the structure of GeSe<sub>2</sub> glass/ R.J. Nemanich , F.L. Galeener, I.C. Mikkelsen G.A.N. Connell. // Phisica B., –1983. – vol.117–118, pp. 959–961.
15. G. Lucovsky. Vibrational properties of glasses: intermediate range order/ G. Lucovsky, C.K. Wong, W.B. Pollard. // J. Non-Cryst. Sol, – 1983. – vol. 59–60, №2, pp. 839–846.
16. P. Boolchand. Structure of GeS<sub>2</sub> glass: spectroscopic evidence for broken chemical order/ P. Boolchand, J. Grothaus, M. Tenhaver, M. Halze, R.K. Grasseli. // Phys. Rev. B., – 1986. – vol. 33, pp. 5421-5434.
17. R. Holomb. Local structure of technologically modified g-GeS<sub>2</sub>: resonant Raman and absorption edge spectroscopy combined with ab initio calculations/ R. Holomb, P. Johansson, V. Mitsa and I. Rosola. // Phil. Mag., –2005. – vol. 85, pp. 2947–2960.
18. C.T. Crewitt. Germanium and silicon disulfides: structure and synthesis/ C.T. Crewitt, H.S. Young. // Science, –1965. – vol. 149, pp. 535-537.

19. Kalugin V.V. Nano-heteromorphism, structure and relaxation in glassforming Ge-S system Part I. Structure and relaxation in condensed germanium disulfide GeS<sub>2</sub>./ Kalugin V. V., Minaev V. S. , Timoshenkov S. P., Markova E. N. // Journal of Optoelectronics and Advanced materials -2006.- Vol. 8, No. 6, -Pp. 2086 – 2092.
20. X. Zhao. Structural analysis of GeS<sub>2</sub> glass by means of reverse Monte Carlo simulation/ X. Zhao, H. Higuchi, Y. Kawamoto. // Physics and Chemistry of Glasses - European Journal of Glass Science and Technology Part B, – 1998. – vol. 39, pp. 98-100.
21. K. Miyauchi. Structural study of GeS<sub>2</sub> glasses permanently densified under high pressures up to 9 GPa/ K. Miyauchi, J. Qiu, M. Shojiya, Y. Kawamoto, N. Kitamura. // Journal of Non-Crystalline Solids, – 2001. – vol. 279, pp. 186-195.
22. Z. Černošek. Raman scattering in GeS<sub>2</sub> glass and its crystalline polymorphs compared/ Z. Černošek, E. Černošková, L. Beneš. // Journal of Molecular Structure, – 1997. –vol. 435, pp. 193–198.
23. J. Shanelova. Kinetics of crystal growth of germanium disulfide in Ge<sub>42</sub>S<sub>58</sub> chalcogenide glass/ J. Shanelova, J. Malek, M. Alcala, J.Criado. // Journal of Non-Crystalline Solids, –2005. – vol. 351, pp. 557-567.
24. K. Inoue. Raman spectra of tetrahedral vibrations in crystalline germanium dichalcogenides, GeS<sub>2</sub> and GeSe<sub>2</sub>, in high and low temperature forms/ K. Inoue, O. Matsuda, K. Murase. // Solid State Commun., – 1991. – vol. 79, pp. 905–910.
25. I.P. Kotsalas. Structural Raman studies of Ge<sub>x</sub>S<sub>1-x</sub> chalcogenide glasses/ I.P. Kotsalas, C. Raptis. // Journal of Optoelectronics and Advanced Materials, – 2001. – vol. 3, pp. 675–684.
26. Salmon P.S., Martin R.A., Mason P.E. Topological versus chemical ordering in network glasses at intermediate and extended length scales // Nature. – 2005. – Vol.435. – P. 75–78.

27. V. Petkov. Atomic-scale structure of GeSe<sub>2</sub> glass revisited: a continuous or broken network of Ge-(Se<sub>1/2</sub>)<sub>4</sub> tetrahedra?// V. Petkov, D. Le Messurier. // J. Phys.: Condens. Matter., – 2010. – vol. 22, pp.115402-115408.
28. S.Le Roux. Influence of the cooling-rate on the glass transitiontemperature and the structural properties of glassy GeS<sub>2</sub>:an ab initio molecular dynamics study/ S.Le Roux, P.Jund //Journal of Physics: Condensed Matter. -2007. -Vol 19. –Pp. 196102-196112.
29. I.D.Bletskan. Raman and photoluminescence spectra of crystalline and glassy GeS<sub>2x</sub>Se<sub>2 - 2x</sub> solid solutions/ I.D.Bletskan, E. M. Hryha, V. N. Kabatsii.// Inorganic Materials, -2007. Vol. 43, No. 2. - Pp. 105–111.
30. K.Arai. Photoluminescence in Ge-S glasses/ K.Arai, U.Itoh, H.Hamikawa. // Jap. J. Appl. Phys, –1974. – vol.13, pp.1305-1306.
31. V. A.Vasil'Ev. Radiative recombination in the vitreous semiconductors Ge<sub>2</sub>S<sub>3</sub>, Ge<sub>2</sub>Se<sub>3</sub>, and Ge-Pb-S /V. A.Vasil'ev, B. T. Kolomiets, T. N.Mamontova, I. G. Khr.// ZhETF, Pisma v Redaktsiiu, –1975. – Vol. 21, p.183-185.
32. K.Murayama. Radiative recombination in crystalline As<sub>2</sub>S<sub>3</sub>/ K.Murayama, M. A.Bösch. // Physical Review B, –1981. – vol. 23, pp.6810-6812.
33. S.G. Bishop. Comperison of optically induced localized states in chalcogenide glasses and their crystalline counterparts/ S.G. Bishop, B.V. Shanabrook, U. Strom, P.C. Taylor, J. De Phisique E. // – 1981. –vol.42, pp.C4-383-C4-386.
34. V.Mitsa. Photoluminescence in Ge<sub>x</sub>As<sub>y</sub>S<sub>1-x-y</sub> glasses by varying the average coordination number. J. of Non-Crystalline Solids/ V.Mitsa, Y.Babinets, Y.Gvardionov and I.Yermolovich. // –1991. – vol.137&138, pp.959-962.
35. Kastner M. Compositional trends in the optical properties of amorphous lone-pair semiconductors/ Kastner M. // Phys. Rev. B. – 1973. – Vol.7, №12. – P. 5237-5252.
36. Street R. A. States in the gap in glassy semiconductors/ Street R. A., Mott N. F. // Phys. Rev. Lett. – 1975. – Vol.35, №19. – P. 1293-1296.

37. Mott N.F. States in the gap and recombination in amorphous semiconductors/ Mott N.F., Davis E.A., Street R.A. // Phil. Mag. – 1975. – Vol.32, №5. – P. 961-996.
38. Kastner M. Valence-Alternation Model for Localized Gap States in Lone-Pair Semiconductors/ Kastner M., Adler D, and Fritzsche H. // Phys. Rev. Lett. – 1976. – Vol.37, №22. – P. 1504-1507.
39. B. A. Wilson. Super-band gap radiation in a-Si/ B. A. Wilson // AIP Conf. Proc. – 1981. – 73, pp. 273-277.
40. T.Nakanishi. Temperature dependence of the photoinduced fatigue-recovery phenomena of photoluminescence under prolonged irradiation in GeS<sub>2</sub> chalcogenide glass/ T.Nakanishi, Y. Tomii, K.Hachiya. // J. of Non-Crystalline Solids, –2008. – vol.354, pp.1627-1632.
41. Mingfa Peng. Electronic Structure and Photoluminescence Origin of Single-Crystalline Germanium Oxide Nanowires with Green Light Emission/ Mingfa Peng, Yang Li, Jing Gao, Duo Zhang, Zheng Jiang, Xuhui Sun. // J. Phys. Chem. C, –2011. –vol.115, pp.11420–11426.
42. S.Ko. Phase transformation and optical characteristics of porous germanium thin films/ S.Ko, J.Shiel, M.C.Yang, T.C.Lu, H.C.Kuo, S.C.Wang. // This Solid Films, –2008. – vol.516, pp. 2934-2938.
43. K.W.Sun. Visible luminescence from Ge quantum dots/ K.W.Sun, S.H.Sue, C.W.Liu. // Physica E, –2005. – vol.28,pp.525-530.
44. Y. Batra. Development of Ge nanoparticles embedded in GeO<sub>2</sub> matrix/ Y Batra, D Kabiraj, D Kanjilal. // J. Nanosciens Nanotechnol, – 2008. – vol.2,pp.4081-4085.
45. G.Kartopu. On the origin of the 2.2-2.3 photoluminescence from chemically etched germanium/ G.Kartopu, S.C.Bayliss, V.A.Karavanskii, R.J.Curry, R.Turan, A.V.Sapelkin. // J. of Luminescence, –2003. – vol.101, pp.275-283.
46. E.Nogales. Visible cathodoluminescence from mechanically milled germanium/ E.Nogales, A.Montone, F.Cardellini, B.Mendez, J. Piqueras. // Semicond. Sci. Technol, – 2002. – vol.17, pp. 1267-1271.

47. T.S.Ko. Phase transformation and optical characteristics of porous germanium thin films/ T.S.Ko, J.Shiel, M.C.Yang, T.C.Lu, H.C.Kuo, S.C.Wang. // This Solid Films, –2008. – vol.516, pp. 2934-2938.
48. K.W.Sun. Visible luminescence from Ge quantum dots/ K.W.Sun, S.H.Sue, C.W.Liu. // Physica E, –2005. – vol.28, pp.525-530.
49. A. S. Zyubin. Photoluminescence of oxygen-deficient defects in germanium oxides: A quantum chemical study/ A. S. Zyubin, A. M.Mebel, S.H.Lin. // The Journal of Chemical Physics, – 2006. – vol. 125, pp. 064701-0647011.
50. Rudolf Frerichs. New optical glasses with good transparency in the infrared, J. Opt. Soc. Amer. 43, 1153-1156 (1953) .
51. V. A. Fraser and J . Jerger, Jr. , Arsenic trisulfide: A new infrared transmitting glass. J. Opt. Soc. Amer. 43,322 A-325A (1953);
52. Francis W. Glaze. Properties of Arsenic Sulfide Glass / Francis W. Glaze, Douglas H. Blackburn, Jerome S. Osmalov, Donald Hubbard Mason // Journal of Research of the National Bureau of Standard. – 1957. – vol. 59, No.2. – P. 2774-2776.
53. C. T. Moynihan. Intrinsic and impurity infrared absorption in  $\text{As}_2\text{Se}_3$  glass / C. T. Moynihan, P. B. Macedo, M. S. Maklad, R. K. Mohr, and R. E. Howard // J. Non-Cryst. Solids. – 1975. – vol. 17, No.3. – P. 369-358.
54. V. Mitsa. Optical parameters of modulation elements based on glassy Hg-As-S system / V. Mitsa, V. Gerasimenko, I. Oleksejuk, F. Sopko, M. Dovhoshej, L. Kesler, L. Lohina // J. Quantum electronics. – 1977. – vol. 13. – P. 96-99.
55. R. Fairman. Applications of chalcogenide glasses / R. Fairman, B. Ushkov. – Oxford // Elsevier. – 2004. – P. 258.
56. Kavetskyy T. On the compositional trends in ir impurity absorption of Ge–As(Sb)–S glasses Journal of Optoelectronics and Advanced Materials // T. Kavetskyy, R. Golovchak, O. Shpotyuk, J. Filipecki, J. Swiatek. – 2004. – vol. 6. – P. 1141-1146.
57. Sylvain Danto. A Comparative Study of Purification Routes for  $\text{As}_2\text{Se}_3$  Chalcogenide Glass / Sylvain Danto, Daniel Thompson, Peter Wachtel,

- Jonathan D. Musgraves, Kathleen Richardson // International Journal of Applied Glass Science. – 2013. – vol. 4. – P. 31-41.
58. Devyatikh G.G. Recent developments in As-S glass fibers / Devyatikh G.G., Dianov E.M., Plotnichenko V.G., Churbanov M.F., Snopatin G.E. Scripachev I.V. // Journal of Non-Cryst. Sol. – 1999. – vol. 256-257. – P. 318-322.
59. Snopatin G. E. High-Purity Arsenic-Sulfide Glasses and Optical Fibers with Minimum Attenuation of 12 dB/km. / G. E. Snopatin, M. F. Churbanov, A. A Pushkin, V. V. Gerasimenko, E. M. Dianov, V. G. Plotnichenko // J. of Optoelectronics and Advanced Materials. – 2009. – vol. 3. – No. 7. – P. 889-671.
60. Yi-Fan Niu. Durability of an  $\text{As}_2\text{S}_3$  chalcogenide glass: Optical properties and dissolution kinetics / Yi-Fan Niu, Jean-Pierre Guin, Abdesselam Abdelouas, Tanguy Rouxel, Johann Troles // Journal of Non-Crystalline Solids – 2011. – vol. 357. – P. 932-938.
61. R. Holomb. New ring-like models and ab initio DFT study of the medium-range structures, energy and electronic properties of  $\text{GeSe}_2$  glass / R. Holomb, V. Mitsa, S. Akyuz, E. Akalin // Philosophical Magazine. – 2013. – vol. 93, No. 19. – P. 2549-2562.
62. Holomb R. Local structure of technologically modified g- $\text{GeS}_2$ : resonant Raman and absorption edge spectroscopy combined with ab initio calculations / R. Holomb, P. Johansson, V. Mitsa and Rosola I. // Phil. Mag. – 2005. – Vol. 85. – No. 25. – P. 2947-2960.
63. Фельц А. Аморфные и стеклообразные неорганические твердые тела / А. Фельц. – М.: Мир, – 1986. – 556 с.
64. Holomb R. Localized states model of  $\text{GeS}_2$  glasses based on electronic states of  $\text{Ge}_n\text{S}_m$  clusters calculated by using TD-DFT method / R. Holomb, V. Mitsa, P. Johansson // J. Optoel. Adv. Mat. – 2005. – Vol. 7. – P. 1881-1888.
65. З.Ю. Готра. Фізичні основи електронної техніки: Підручник / З.Ю. Готра, І.Є. Лопатинський, Б.А. Лукіянець, З.М. Микитюк, І.В. Петрович; за ред. З.Ю. Готри // Львів: Бескид Біт. – 2004. – 880 с.

66. Wilk, G.D. High- $k$  gate dielectrics: Current status and materials properties considerations / G.D. Wilk, R.M. Wallace, J.M. Anthony // *J. Appl. Phys.* – 2001. – Vol. 89, No. 10. – P. 5243-5275.
67. Z. Jiang. GeO<sub>2</sub> nanotubes and nanorods synthesized by vapor phase reactions/ Z. Jiang, T. Xie, G.Z. Wang, X.Y. Yuan, C.H. Ye, W.P. Cai, G.W. Meng, G.H. Li, L.D. Zhang . // *Materials Letters* . – 2005. – Vol. 59. – P. 416-419.
68. Satish Laxman Shindea. Thermal oxidation strategy for the synthesis of phase-controlled GeO<sub>2</sub> and photoluminescence characterization / Satish Laxman Shindea, Karuna Kar Nanda // *CrystEngComm.* – 2013. – Vol. 15. – P. 1043-1046.
69. S. Takeoka. Size-dependent near-infrared photoluminescence from Ge nanocrystals embedded in SiO<sub>2</sub> matrices / S. Takeoka, M. Fujii, S. Hayashi, K. Yamamoto // *Phys. Rev. B.* – 1998. – Vol. 58, No. 12. – P. 7921-7925.
70. A.K. Dutta. Visible photoluminescence from Ge nanocrystal embedded into a SiO<sub>2</sub> matrix fabricated by atmospheric pressure chemical vapor deposition / A.K. Dutta // *Appl. Phys. Lett.* – 1996. – Vol. 68. – No. 9. – P. 1189-1191.
71. M. Zacharias. Blue luminescence in films containing Ge and GeO<sub>2</sub> nanocrystals: The role of defects / M. Zacharias, P.M. Fauchet // *Appl. Phys. Lett.* – 1997. – Vol. 71, No. 3. – P. 380-382.
72. M. Zacharias. A comparative study of Ge nanocrystals in Si<sub>x</sub>Ge<sub>y</sub>O<sub>z</sub> alloys and SiO<sub>x</sub>/GeO<sub>y</sub> multilayers / M. Zacharias, R. Weigand, B. Dietrich, F. Stolze, J. Blasing, P. Veit, T. Drusdau, J. Christen // *J.Appl. Phys.* – 1997. – Vol. 81. – No. 5. – P. 2384-2390.
73. J.G. Zhu. Growth of Ge, Si, and SiGe nanocrystals in SiO<sub>2</sub> matrices / J.G. Zhu, C.W. White, J.D.Budai, S.P. Withrow, Y. Chen // *J. Appl. Phys.* – 1995. – Vol. 78. – No. 7. – P. 4386-4389.
74. J.-Y. Zhang. Blue and red photoluminescence from Ge+ implanted SiO<sub>2</sub> films and its multiplex mechanism / J.-Y. Zhang, X.-M. Bao, Y.-H. Ye, X.-L. Tan // *Appl. Phys. Lett.* – 1998. – Vol. 73. № 13. – P. 1790-1792.

75. Y. Kanemitsu. Resonantly excited photoluminescence from porous silicon: Effects of surface oxidation on resonant luminescence spectra / Y. Kanemitsu, S. Okamoto // Phys. Rev. B. – 1997. – Vol. 56. – No. 4. – P.R1696-R1699.
76. S. Takeoka. Size-dependent near-infrared photoluminescence from Ge nanocrystals embedded in SiO<sub>2</sub> matrices / S. Takeoka, M. Fujii, S. Hayashi, K. Yamamoto // Phys. Rev. B. – 1998. – Vol. 58. – No. 12. – P. 7921-7925.
77. J. Zhao. High-efficiency optical emission, detection, and coupling using silicon diodes / J.Zhao, M. A. Green, A. Wang // J. Appl. Phys. – 2002. – Vol. 92, No. 6. – P. 2977-2979.
78. T. Trupke. Optical gain in materials with indirect transitions / T. Trupke, M.A. Green, P.Wurfel // J. Appl. Phys. – 2003. – Vol. 93, No. 11. – P. 9058-9061.
79. Wai Lek Ng. An efficient room-temperature silicon-based light-emitting diode / Wai Lek Ng, M. A. Lourenco, R. M. Gwilliam, S. Ledain, G. Shao, K. P. Homewood // Nature. – 2001. – Vol. 410. – P. 192-194.
80. Jun Xu. Role of surface defect states in visible luminescence from oxidized hydrogenated amorphous Si/hydrogenated amorphous Ge multilayers/ Jun Xu, Zhen Hong He, Kunji Chen, Xinfan Huang, Duan Feng Hexiang Han, Zhaoping Wang, Guohua Li. //Applied Physics Letters . – 1999. – Vol.74, No. 25, P. 3773-3776.
81. M. Zacharias. Blue luminescence in films containing Ge and GeO<sub>2</sub> nanocrystals: The role of defects / M. Zacharias, P. M. Fauchet // Appl. Phys. Lett. – 1997. – Vol. 71, No. 3. – P. 380-382.
82. M. Zacharias. A comparative study of Ge nanocrystals in SixGeyOz alloys and SiOx/GeOy multilayers / M. Zacharias, R. Weigand, B. Dietrich, F. Stolze, J. Blasing, P. Veit, T. Drusdau, J. Christen // J. Appl. Phys. – 1997. – Vol. 81, No. 5. – P. 2384-2390.
83. H.-J. Squja. Cathodoluminescence of crystalline and amorphous SiO<sub>2</sub> and GeO<sub>2</sub> / Squja H.-J. Fitting, T. Barfels, A.N. Trukhin, B. Schmidt // Journal of Non-Crystalline Solids. – 2001. – Vol. 279, – P. 51-59.

84. N.Terakado. Photo-induced phenomena in GeO<sub>2</sub> glass / N.Terakado, K. Tanaka // Journal of Non-Crystalline Solids. – 2005. – Vol. 352. – P. 3815-3822.
85. M. Micoulaut. The structure of amorphous, crystalline and liquid GeO<sub>2</sub> / M. Micoulaut, L. Cormier , G.S. Henderson. // Journal of Physics: Condensed Matter. – 2006. – Vol. 18, – PP. R785. R753-R784.
86. A. Prakash. Characteristics of Ge/GeOx nanowires and evidence of oxygen ion migration / Amit Prakash, Siddheswar Maikap, Sheikh Ziaur Rahaman, Sandip Majumdar, Santanu Manna, Samit K Ray // Nanoscale Research Letters. – 2013. – Vol. 8, – P. 220-225.
87. J. Al-Sadah. Pressure effect on the growth of oxide layers on germanium / J. Al-Sadah, N. Tabet, M. Salim // Journal of Electron Spectroscopy and Related Phenomena. – 2001. – Vol. 114-116. – P. 409-414.
88. Д. В. Манойлов. Низькорозмірні структури кремнію та германію: екситонні стани, способи формування та фотолюмінесцентні властивості / Д. В. Манойлов, А. В. Саченко, О.М. Среселі // Фізика і хімія твердого тіла. – 2009. – Т. 10. № 3. – С. 547-554.
89. T. S. Ko. Phase transformation and optical characteristics of porous germanium thin film / T. S. Ko , J. Shieh , M. C. Yang , T. C. Lu , H. C. Kuo, S. C. Wang // Thin Solid Films. – 2008.– Vol. 516. – P.2934-2938.
90. L. Armelao. Visible Emission from GeO<sub>2</sub> Nanowires: Site-Specific Insights via X-ray Excited Optical Luminescence / Lidia Armelao, Franziskus Heigl, Pil-Sook Grace Kim, Richard A. Rosenberg, Tom Z. Regier, and Tsun-Kong Sham // J. Phys. Chem. C. – 2012. – Vol. 116, No.26. – P. 14163-14169.
91. F. Heigl. XANES and photoluminescence studies of crystalline GeO<sub>2</sub> (Tb) nanowires / Franziskus Heigl, Lidia Armelao, X H Jeff Sun, Candice Didychuk, Xing-Tai Zhou, Tom Regier, Robert I R Blyth, P S Grace Kim, Richard A Rosenberg, Tsun-Kong Sham // J. Phys.: Conf. Ser. – 2009. – Vol. 190. P. 012130-012134.

92. S. Petreckiy. Structural studies of flash eBaporated a- $\text{Ge}_2\text{S}_3$  thin film nanolayers by high resolution X-ray- and synchrotron radiation photoelectron spectroscopy / S. Petreckiy, R. Holomb, V. Mitsa, O. Kondrat, N. Popovych, G. Lovas, V. Loja. // Uzhhorod University Scientific Herald. Series Physics. – Issue 35. – 201. – P. 80-85.
93. Mitsa V. Synchrotron XPS studies of illuminated and annealed flash eBaporated a- $\text{Ge}_2\text{S}_3$  films / Vladimir Mitsa, Roman Holomb, Oleksandr Kondrat, Nataliya Popovych, Nataliya Tsud, Vladimír Matolín, Kevin C. Prince, Gabor Lovas, Stepan Petretskiy, Sára Tóth // Journal of Non-Crystalline Solids. – 2014. – Vol. 401 – P. 258-262.
94. Mitsa V. Spectroscopic evidence of Coexistence of Clusters Based on Low ( $\alpha$ ) and High Temperature ( $\beta$ ) GeS<sub>2</sub> Crystalline Phases in Glassy Germanium Disulfide Matrix / V. Mitsa, R. Holomb, G. Lovas, M. Veres, M. Ivanda, T. Kovach // Proceedings of the 37th International convention on information and communication technology. Electronics and microelectronics. – 2014. – P. 13-16.
95. Голомб Р.М. Квантово-хімічні розрахунки частотного спектру кластерів  $\text{Ge}_n\text{S}_m$  ( $n=2, m=3,5-7$ ;  $n=4, m=3$ ) / Р.М. Голомб // Фізика і хімія твердого тіла. – 2003. – Т. 4. № 4. – С. 711-715.
96. Lukman B. Calculations on molecular systems with the Hartree – Fock – Bogoliubov self-consistent-field method / B. Lukman, J. Koller, B. Boršnik, A. Ažman // Molecular Physics. – 1970. – Vol. 18. – No. 6. – P. 857-859.
97. Staroverov V. N. Optimization of density matrix functionals by the Hartree – Fock – Bogoliubov method / V. N. Staroverov, G. E. Scuseria // Journal of Chemical Physics. – 2002. – Vol. 117. – No. 24. – P. 11107-11112.
98. Yamaki D. Formulation of unrestricted and restricted Hartree–Fock–Bogoliubov equations / D. Yamaki, T. Ohsaku, H. Nagao, K. Yamaguchi // International Journal of Quantum Chemistry. – 2003. – Vol. 96. – No. 1. – P. 10-16.

99. S. Munetoshi. Photoluminescence excitation process and optical absorption in Ge–S chalcogenide glasses / Munetoshi Seki, Kan Hachiya, Katsukuni Yoshida // Journal of Non-Crystalline Solids. – 2003. – Vol. 324. – P. 127-132.
100. Блецкан Д.И. Полиморфизм дисульфида германия/ Блецкан Д.И., Стефанович В.А., Поторий М.В., Ворошилов Ю.В., Сливка В.Ю. // Кристаллография. – 1987. – Т. 32. № 2. – С. 385-393.
101. Petreckiy S. Structural studies on nanolevel of flash eBaporated a- $\text{Ge}_2\text{S}_3$  films by high resolution synchrotron XPS / S. Petreckiy, R. Holomb, V. Mitsa, O. Kondrat, N. Popovych, G. Lovas, V. Loja // Матеріали Міжнародної конференції молодих учених і аспірантів. – Ужгород. – 2013. – 20-23 травня. – С. 240-241.
102. Mitsa V. Effect of fragments of low-and high-temperature crystalline phases in germanium disulfide formation of mixed middle order in the technologically modified glassy c- $\text{GeS}_2$ : difference Raman spectra and first principle calculations (Ukrainian) / Mitsa V., Golomb R., Lovas G., Veresh M., Borkach E., Kovacs T., Rigo I. // Science and Education a New Dimension: Natural and Technical Sciences. – 2013. – Issue 15. – P. 62-66.
103. Lovász G. Effect of fragments of low- and high-temperature germanium disulfide crystalline phases in formation of structural matrix in the technologically modified glassy  $\text{GeS}_2$  / Lovász G. // Proc. Int. Conference of young scientists of the Carpathian region – 2014. – P. 131-140.
104. G. Lovas. The room temperature visible photoluminescence in g- $\text{As}_2\text{S}_3$  and Ge-based glasses / G. Lovas, V. Mitsa, R. Holomb, I. Rosola, E. Borkach // Uzhhorod University Scientific Herald Series Physics. – 2013. – Issue 34. – P. 54-58.
105. Mitsa V.M. Room temperature visible luminescence in wide band gap chalcogenide glasses / V.M. Mitsa, R.M. Holomb, G.J. Lovas, G.Yu. Rudyko, E.G. Gule and I.V. Fekeshgazi // Proc. 35<sup>th</sup> Jubilee international convention on information and communication technology. Electronics and

microelectronics, Proceedings of the 35<sup>th</sup> International Convention. – 2012. – P. 21-22.

106. Mitsa V. Photoluminescence, Raman and synchrotron XPS study of amorphous Ge<sub>2</sub>S<sub>3</sub> based films / V. Mitsa, M.Ivanda, O. Gamulin, R. Holomb, O. Kondlhgdrat, N. Popovych, G. Lovas, S. Petreckiy, N. Tsud, V. Matolín, K.C. Prince // 36<sup>th</sup> International convention on information and communication technology. Electronics and microelectronics, Proceedings of the 36<sup>th</sup> International Convention. – 2013. – P. 34-39.
107. Mitsa V. Visible Luminescence in nanostructured chalcogenide glasses at ambient condition / Mitsa V., Holomb R., Rosola I., Lovas G., Rygo I., Rudyko G., Gule E., Fekeshgazi I. // Clasters and nanostructured materials. – Uzhgorod. – 2012, October 14-17. – P. 61.
108. Mitsa V. Synchrotron XPS studies of illuminated and annealed flash eBaporated a-Ge<sub>2</sub>S<sub>3</sub> films / Vladimir Mitsa, Roman Holomb, Alexander Kondrat, Nataliya Popovych, Nataliya Tsud, Vladimir Matolín, Kavin Prince, Gabor Lovas, Stapan Petreckiy, Sara Tóth / Materials of 12<sup>th</sup> International Conference on the Structure of Non-Crystalline Materials, Riva-del-Garda-Trento, Italy. – 2013. – July 7-12. – P. 16.
109. Mitsa V. Oxidized surfaces studied by energy dependent luminescence in graphen-like two dimentional GeS,  $\beta$ -GeS<sub>2</sub> crystals and glassy GeS<sub>2</sub> after long-term ageing / V. Mitsa, R. Holomb, M. Veres, G. Lovas, S. Tóth, L. Himics. // 7<sup>th</sup> International Conference on Amorphous and Nanostructured Chalcogenides. Abstract Book, Cluj – Napoca, Romania. – 2015, July 5-10. – P.19.
110. Shindea S. Towards the understanding of formation of micro/nano holes of Ge/GeO<sub>2</sub> through phase mapping / Satish Laxman Shindea, Karuna Kar Nanda // Cryst. Eng. Comm. – 2013. – Vol.15 – P. 4049-4053.
111. Mitsa V. Different behavior of energy dependent luminescence in graphen-like two dimentional GeS and  $\beta$ -GeS<sub>2</sub> crystals surface after long-term ageing / Mitsa V., Holomb R., Veres M., Rigo I., Lovas G., Toth S., Himics L. //

Матеріали 6-ї Міжнародної науково-технічної конференції «Сенсорна електроніка та мікросистемні технології». – Одеса. – 2014. – 29 вересня - 4 жовтня. – С. 242.

112. Pokrovski S. Thermodynamic Properties of Aqueous Ge(IV) Hydroxide Complexes from 25 to 350 °C: Implications for the Behavior of Germanium and the Ge/Si Ratio in Hydrothermal Fluids / S. Pokrovski and J. Schott // Geochim. Cosmochim Acta. – 1998. – Vol. 62. – P. 1631-1642.
113. V. Vorlíček. Raman scattering in GeS single crystals at low temperatures. Physica status solidi (b) / V. Vorlíček, I. Gregora, D. Chvostová // Journal Physica Status Solidi. – 1996. – P. 639–643.
114. A.M. Elkorashy. The indirect forbidden fundamental absorption edge in single-crystal germanium sulphide / Elkorashy A.M. // J. Phys. C: Solid State Phys. – 1988. – Vol. 21. – P. 2595-607.
115. Xiao-Liang Xu. Optical transitions in germanium dioxide / Xiao-Liang Xu, Li-Xin Zhu, T.P. Chen, S. Fung, Shu-Min Li // Thin Solid Films. – 1996. – Vol. 283. – P. 290-298.
116. G. Lovas, V. Mitsa, R. Holomb, M. Veres, S. Toth, L. Himics. Energy dependent IR, visible and UV luminescence from aged and freshly fractured surfaces of g-GeS<sub>2</sub> // Proceedings of the International Conference of young scientist and post-graduates (IEP-2015), Uzhhorod, Ukraine, 18-22 May 2015. – P. 109-110.
117. Mitsa V. Surface characterization of wide band non-crystalline semiconductors with high resolution synchrotron photoelectron spectroscopy (SRPES) and surface enhanced Raman spectroscopy (SERS) / Mitsa V., Holomb R., Veres M., Kondrat O., Popovych N., Lovas G., Petreckiy S., Tsud N. // Матеріали VI Української наукової конференція з фізики напівпровідників. – Чернівці. – 2013. – 30 вересня - 4 жовтня. – С. 23-24.
118. Lovas G. Energy dependent IR, visible and UV luminescence from aged and freshly fractured surfaces of g-GeS<sub>2</sub> / G. Lovas, V. Mitsa, R. Holomb, M.

- Veres, S. Toth, L. Himics. // Proceedings of the International Conference of young scientist and post-graduates (IEP-2015), Uzhhorod. – 2015. – P. 50.
119. The visible photoluminescence from aged and freshly fractured surfaces of chalcogenide glasses / Mitsa V., Borkach E., Lovas G., Holomb R., Rosola I., Rudyko G., Gule E., Fekeshgazi I. // Science and Education a New Dimension: Natural and Technical Science. – 2013. – Vol. 8. – P. 61-64.
120. Fekeshgazi I. V. Near UV excited the room temperature visible photoluminescence in aged Ge(As)-based sulfide glasses / I. V. Fekeshgazi, V. Mitsa, R. Holomb, G. Lovas, H. Rudko, E. Gule, A. Stronski // Materials of VI Ukrainian scientific conference on physics of semiconductors (USCPS-6), September 30 - October 4, 2013. – Chernivtsi, Ukraine. – P. 199-200.
121. V. Mitsa. Investigation of atmospheric corrosion by photon energy dependent luminescence and Raman spectroscopy in aged and freshly fractured g-,c-As<sub>2</sub>S<sub>3</sub> with photosensitive realgar inclusions / V. Mitsa, R. Holomb, A. Marton, M. Veres, S. Tóth, L. Himics, A. Lorinczi, M. Popescu // J. Non-Cryst. Sol. – 2016. – Vol. 453. – P. 23–27.
122. R. Holomb. Super-bandgap light stimulated reversible transformation and laser-driven mass transport at the surface of As<sub>2</sub>S<sub>3</sub> chalcogenide nanolayers studied in-situ / R. Holomb, O. Kondrat, V. Mitsa, M. Veres, A. Czitrovszky, A. Feher, N. Tsud, M. Vondráček, K. Veltruská, V. Matolín, K.C. Prince. // The Journal of Chemical Physics. – 2018. – Vol. 149. – Issue 21. – P. 214702.
123. O.B. Kondrat. Reversible structural changes of in situ prepared As<sub>40</sub>Se<sub>60</sub> nanolayers studied by XPS spectroscopy / O.B. Kondrat, R. M. Holomb, A. Csik, V. Takats, M. Veres, A. Feher, T. Duchon, K. Veltruska, M. Vondráček, N. Tsud, V. Matolin, K. C. Prince, V. M. Mitsa // Applied Nanoscience. – 2019. – Vol. 9 – Issue 5. – P. 917–924.
124. O. Kondrat. Reversible laser-assisted structural modification of the surface of As-rich nanolayers for active photonics media / O. Kondrat, R. Holomb,

- A. Mitsa, V. Mitsa, V. Matolín, et al. // Applied Surface Science. – 2020.  
– Vol. 518. – P. 146240.
125. R. Holomb. Gold nanoparticle assisted synthesis and characterization of As–S  
crystallites: Scanning electron microscopy, X-ray diffraction, energy-  
dispersive X-ray and Raman spectroscopy combined with DFT calculations /  
R. Holomb, O. Kondrat, V. Mitsa, et al. // Journal of Alloys and Compounds.  
– 2022. – Vol. 894. – P. 16246715.

Наукове видання

Міца В., Голомб Р., Ловас Г., Кондрат О.,  
Вереш М., Цитровський А., Химіч Л., Чік А.

## **АТМОСФЕРНА КОРОЗІЯ ТЕЛЕКОМУНІКАЦІЙНИХ ОПТИЧНИХ СЕРЕДОВИЩ ДЛЯ ХАЛЬКОГЕНІДНОЇ ФОТОНІКИ**



Формат 60\*84/16. Папір офс. Гарнітура Times New Roman.

Друк циф. Ум.друк.арк.: 11,63. Обл.-вид. арк.: 9,56.

Наклад 200 прим.

Видавництво «ФОП Сабов А.М.».

м. Ужгород, вул. Університетська, 21/220.

Свідоцтво суб'єкта видавничої справи ДК № 4855 від 25.02.2015 р.

Друк: ФОП Сабов А.М., тел. 099-315-00-93